



รายงานการวิจัยฉบับสมบูรณ์

การออกแบบวงจรกรองสัญญาณแอนะล็อกและวงจรรอสซิลเลเตอร์โดยใช้วงจร CFTA

Design of Analog Filter and Oscillator Using CFTAs



นายวรพงศ์ ตั้งศรีรัตน์

ได้รับทุนสนับสนุนงานวิจัยจากเงินงบประมาณเงินรายได้ ประจำปีงบประมาณ 2555

คณะวิศวกรรมศาสตร์

สถาบันเทคโนโลยีพระจอมเกล้าเจ้าคุณทหารลาดกระบัง

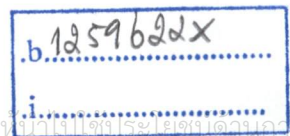
RCH

TK

6565

TK

จ223ก



เอกสารนี้เป็นเอกสารที่สงวนลิขสิทธิ์ไว้เพื่อใช้ในการศึกษาเท่านั้น ไม่อนุญาตให้ทำเป็นเชิงพาณิชย์โดยเด็ดขาด
ไม่ว่ากรณีใดๆทั้งสิ้น อีกทั้งยังมีหน้าที่ต้องสงวนเนื้อหาและข้อมูลอ้างอิงถึงเจ้าของเอกสารทุกครั้งที่มีการนำไปใช้
เลขหมู่.....131043
เลขทะเบียน.....
วัน,เดือน,ปี.2.1.11ค.2557

ชื่อโครงการ (ภาษาไทย) การออกแบบวงจรกรองสัญญาณแอนะล็อกและวงจรรออสซิลเลเตอร์
โดยใช้วงจรถ่าย CFTA

แหล่งเงิน งบประมาณเงินรายได้

ประจำปีงบประมาณ 2555 จำนวนเงินที่ได้รับการสนับสนุน 72,000 บาท

ระยะเวลาทำการวิจัย 1 ปี ตั้งแต่ ตุลาคม พ.ศ. 2554 ถึง กันยายน พ.ศ. 2555 /

ชื่อ-สกุล หัวหน้าโครงการ นาย วรพงษ์ ตั้งศรีรัตน์

สาขาวิชา วิศวกรรมการวัดและควบคุม

คณะวิศวกรรมศาสตร์

สถาบันเทคโนโลยีพระจอมเกล้าเจ้าคุณทหารลาดกระบัง

โทร. 02-326-4205 E-mail : ktworapo@kmitl.ac.th

บทคัดย่อ

โครงการวิจัยฉบับนี้นำเสนอการออกแบบและสังเคราะห์วงจรกรองสัญญาณไปควอดราติก และวงจรรออสซิลเลเตอร์โดยใช้วงจรถ่าย CFTA (current follower transconductance amplifier) เป็นอุปกรณ์แอกทีฟหลัก ซึ่งแบ่งการนำเสนอออกเป็นสองวงจร คือ วงจรแรกนำเสนอวงจรรองสัญญาณไปควอดราติกอเนกประสงค์ โหมดกระแสแบบหนึ่งอินพุต สามเอาต์พุต ที่ปรับค่าคุณสมบัติ ω_c และ Q ได้ด้วยวิธีการทางอิเล็กทรอนิกส์ โดยประกอบด้วยวงจรถ่าย CFTA จำนวนสี่ตัวและตัวเก็บประจุแบบเทียบกราวด์สองตัว และสามารถสังเคราะห์ฟังก์ชันการกรองสัญญาณแบบไปควอดราติกมาตรฐานได้ครบทุกรูปแบบ โดยไม่ต้องอาศัยเงื่อนไขค่าความเท่ากันของอุปกรณ์ในวงจร อีกทั้งยังมีค่าอิมพีแดนซ์อินพุตที่ต่ำมากและอิมพีแดนซ์เอาต์พุตที่สูงมาก วงจรที่สองเป็นนำเสนอวงจรรออสซิลเลเตอร์แบบควอดราเจอร์โหมดผสมที่สามารถปรับเงื่อนไขในการออสซิลเลต และ ค่าความถี่ในการออสซิลเลตของวงจรถ่ายได้ด้วยวิธีการอิเล็กทรอนิกส์ โดยประกอบด้วยวงจรถ่าย ZC-CFTA จำนวนสี่ตัวและตัวเก็บประจุแบบเทียบกราวด์จำนวนสองตัว และสามารถกำเนิดสัญญาณเอาต์พุตแบบควอดราเจอร์ได้ทั้งโหมดแรงดันและโหมดกระแส คุณสมบัติในการทำงานของวงจรถ่ายที่ออกแบบขึ้นได้ศึกษาและยืนยันผลด้วยการจำลองการทำงานโดยใช้โปรแกรม PSPICE และผลการต่อวงจรจริงทดสอบโดยใช้ไอซี CFOA (current feedback operational amplifier) เบอร์ AD844 และ OTA (operational transconductance amplifier) เบอร์ CA3080

คำสำคัญ : CFTA (Current Follower Transconductance Amplifier) วงจรรองสัญญาณ วงจรรออสซิลเลเตอร์

Research Title: Design of Analog Filter and Oscillator Using CFTAs

Researcher: Assoc. Prof. Dr. Worapong Tangsrirat

Faculty: Engineering **Department:** Instrumentation and Control Engineering

ABSTRACT

In this research, the design and realization of electronically tunable universal filter and sinusoidal oscillator using current follower transconductance amplifiers (CFTAs) as active components are proposed. The universal current-mode biquadratic filter with one input and three outputs using four CFTAs and two grounded capacitors is presented as a first circuit configuration. The circuit can realize all the five standard biquadratic filter functions from the same circuit topology, and is suitable for current-mode cascading by possessing low-input and high-output impedances. It also provides an orthogonal electronic adjustment of the natural angular frequency (ω_p) and the quality factor (Q) through the transconductance gain (g_m) of the CFTA. As a second proposed circuit, the mixed-mode quadrature oscillator containing only four z-copy current follower transconductance amplifiers (ZC-CFTAs) as active components together with two grounded capacitors as passive components is presented. The circuit is capable of generating two explicit quadrature current outputs and two quadrature voltage outputs, simultaneously. Moreover, the realized oscillator also provides the advantage of orthogonal electronic control of the oscillation condition and oscillation frequency, which makes it suitable as variable frequency oscillator. The performances of the presented circuits are studied and verified by using PSPICE simulation program and experimentally tested using commercially available IC current feedback operational amplifier (CFOA) AD844 and operational transconductance amplifier (OTA) CA3080.

Keywords : CFTA (Current Follower Transconductance Amplifier) Filter Oscillator

กิตติกรรมประกาศ

โครงการวิจัยนี้ได้รับทุนสนับสนุนการวิจัยจากสถาบันเทคโนโลยีพระจอมเกล้าเจ้าคุณทหารลาดกระบัง จากงบประมาณเงินรายได้ ประจำปีงบประมาณ พ.ศ. 2555

วรพงศ์ ตั้งศรีรัตน์



เอกสารนี้เป็นเอกสารที่สงวนไว้สำหรับการใช้งานเพื่อการศึกษาเท่านั้น ไม่อนุญาตให้นำไปใช้ประโยชน์ด้านการค้า ไม่ว่าจะกรณีใดๆทั้งสิ้น อีกทั้งห้ามมิให้ดัดแปลงเนื้อหา และต้องอ้างอิงถึงเจ้าของเอกสารทุกครั้งที่มีการนำไปใช้

สารบัญ

| | หน้า |
|---|----------|
| บทคัดย่อภาษาไทย | ก |
| บทคัดย่อภาษาอังกฤษ | ข |
| กิตติกรรมประกาศ | ค |
| สารบัญ | ง |
| สารบัญรูป | ฉ |
| บทที่ 1 บทนำ | 1 |
| 1.1 ความเป็นมาและความสำคัญของปัญหา | 1 |
| 1.2 วัตถุประสงค์ของโครงการวิจัย | 3 |
| 1.3 ขอบเขตของโครงการวิจัย | 3 |
| 1.4 รายละเอียดของโครงการวิจัย | 3 |
| 1.5 เอกสารอ้างอิงบทที่ 1 | 4 |
| บทที่ 2 วงจร CFTA | 7 |
| 2.1 กล่าวนำ | 7 |
| 2.2 การทำงานพื้นฐานของวงจร CFTA | 7 |
| 2.2.1 คุณสมบัติวงจร CFTA ในทางอุดมคติ | 8 |
| 2.2.2 คุณสมบัติวงจร CFTA ในทางปฏิบัติ | 8 |
| 2.3 การสังเคราะห์วงจร CFTA โดยใช้เทคโนโลยีทรานซิสเตอร์แบบไบโพลาร์ | 9 |
| 2.3.1 วงจรตามกระแส | 9 |
| 2.3.2 วงจรขยายค่าความนำ | 11 |
| 2.4 วงจร CFTA แบบใช้เทคโนโลยีทรานซิสเตอร์ไบโพลาร์ | 14 |
| 2.4.1 สมรรถนะทางความถี่ของวงจร | 15 |
| 2.4.2 ค่าความคลาดเคลื่อนในการส่งผ่านกระแส | 17 |
| 2.5 ผลการจำลองการทำงานของวงจร CFTA | 18 |
| 2.6 ผลการทดลองต่อวงจรจริง | 20 |

เอกสารนี้เป็นเอกสารที่สงวนไว้สำหรับการใช้งานเพื่อการศึกษาเท่านั้น ไม่อนุญาตให้นำไปใช้ประโยชน์ด้านการค้า
ไม่ว่ากรณีใดๆทั้งสิ้น อีกทั้งห้ามมิให้ดัดแปลงเนื้อหา และต้องอ้างอิงถึงเจ้าของเอกสารทุกครั้งที่มีการนำไปใช้

สารบัญ (ต่อ)

| | หน้า |
|--|------|
| 2.7 สรุป | 24 |
| 2.8 เอกสารอ้างอิงบทที่ 2 | 24 |
| บทที่ 3 วงจรกรองสัญญาณอนุกรมแบบหนึ่งอินพุต สามเอาต์พุตที่ปรับค่าได้ด้วย วิธีการทางอิเล็กทรอนิกส์โดยใช้วงจร CFTA และตัวเก็บประจุเทียบกราวด์ | 27 |
| 3.1 กล่าวนำ | 27 |
| 3.2 วงจรกรองสัญญาณโหมดกระแสที่นำเสนอ | 28 |
| 3.3 ค่าความไวของวงจร | 31 |
| 3.4 ตัวอย่างการออกแบบวงจร และผลการจำลองโดยใช้โปรแกรม PSPICE | 32 |
| 3.5 สรุป | 36 |
| 3.6 เอกสารอ้างอิงบทที่ 3 | 36 |
| บทที่ 4 วงจรออสซิลเลเตอร์แบบควอดราเจอร์โหมดผสม โดยใช้วงจร ZC-CFTA และตัวเก็บประจุเทียบกราวด์ | 38 |
| 4.1 กล่าวนำ | 38 |
| 4.2 หลักการทำงานพื้นฐานของวงจร ZC-CFTA | 38 |
| 4.3 วงจรกรองผ่านทุกความถี่อันดับหนึ่งโดยใช้วงจร ZC-CFTA | 40 |
| 4.4 วงจรออสซิลเลเตอร์แบบควอดราเจอร์โหมดผสมที่นำเสนอ | 41 |
| 4.5 ผลการจำลองการทำงานของวงจรโดยใช้โปรแกรม PSPICE | 42 |
| 4.6 สรุป | 43 |
| 4.7 เอกสารอ้างอิงบทที่ 4 | 47 |
| บทที่ 5 บทสรุป | 49 |
| ภาคผนวก บททวามวิจัยที่ตีพิมพ์ในวารสารวิชาการระดับนานาชาติ | 51 |

สารบัญรูป

| รูปที่ | หน้า |
|---|------|
| 1.1 วงจร CDTA ในทางอุดมคติ | 1 |
| 1.2 วงจร CFTA ในทางอุดมคติ | 2 |
| 2.1 วงจร CFTA ในทางอุดมคติ | 8 |
| 2.2 สัญลักษณ์ทางไฟฟ้าของวงจร CFTA ในทางปฏิบัติ | 9 |
| 2.3 วงจรตามกระแส | 10 |
| 2.4 วงจรขยายสัญญาณผลต่าง | 11 |
| 2.5 วงจรสะท้อนกระแสแบบวิลสัน | 12 |
| 2.6 วงจรขยายค่าความนำ | 13 |
| 2.7 วงจร CFTA แบบใช้เทคโนโลยีทรานซิสเตอร์ไบโพลาร์ | 14 |
| 2.8 ผลการจำลองคุณสมบัติในการส่งผ่านกระแสไฟตรง I_f ไปยัง I_z | 18 |
| 2.9 ผลการจำลองผลตอบสนองทางความถี่ของค่าความต้านทานอินพุตที่ขั้ว f, z และ x | 19 |
| 2.10 ผลการจำลองผลตอบสนองทางความถี่ของ i_z / i_f | 20 |
| 2.11 ผลการจำลองผลตอบสนองทางความถี่ของ i_x / i_z เมื่อทำการแปรค่ากระแสไบอัส I_o | 20 |
| 2.12 รายละเอียดการต่อวงจร CFTA โดยใช้ไอซีเบอร์ AD844 คู่ร่วมกับ CA3080 | 21 |
| 2.13 ภาพถ่ายวงจร CFTA ที่ใช้ทำการต่อทดลองจริง | 21 |
| 2.14 ผลการทดลองคุณสมบัติในการส่งผ่านกระแสไฟสลับ i_f ไปยัง i_z | 22 |
| 2.15 ผลการทดลองคุณสมบัติในการส่งผ่านกระแสไฟตรง I_f ไปยัง I_z | 23 |
| 2.16 ผลการทดลองผลตอบสนองทางความถี่ของ i_z / i_f | 23 |
| 2.17 ผลการทดลองผลตอบสนองทางความถี่ของ i_x / i_z เมื่อทำการแปรค่ากระแสไบอัส I_o | 23 |
| 3.1 วงจรกรองสัญญาณไบควอดราติกโหมดกระแสที่นำเสนอ | 29 |
| 3.2 ผลการจำลองผลตอบสนองทางความถี่แบบ LP, BP และ HP ของวงจรกรองสัญญาณไบควอดราติกโหมดกระแสที่นำเสนอในรูปแบบที่ 3.1 | 32 |
| 3.3 ผลการจำลองผลตอบสนองทางความถี่แบบ BS ของวงจรกรองสัญญาณไบควอดราติกโหมดกระแสที่นำเสนอในรูปแบบที่ 3.1 | 33 |

สารบัญรูป (ต่อ)

| รูปที่ | หน้า |
|--|------|
| 3.4 ผลการจำลองผลตอบสนองทางความถี่แบบ AP ของวงจรกรองสัญญาณไบควอดราติกโหมคระแสที่นำเสนอในรูปที่ 3.1 | 33 |
| 3.5 ผลการจำลองผลตอบสนองทางความถี่แบบ BP เมื่อทำการแปรค่า I_{O1} | 34 |
| 3.6 ผลการจำลองผลตอบสนองทางความถี่แบบ BP เมื่อทำการแปรค่า I_{O3} | 35 |
| 3.7 ความสัมพันธ์ของเปอร์เซ็นต์ THD ของวงจร เมื่อทำการแปรค่าขนาดของกระแสอินพุต | 35 |
| 4.1 วงจร ZC-CFTA ในทางอุดมคติ | 39 |
| 4.2 โครงสร้างภายในของวงจร ZC-CFTA แบบใช้เทคโนโลยีทรานซิสเตอร์ไบโพลาร์ | 40 |
| 4.3 วงจรกรองผ่านทุกความถี่อันดับหนึ่งที่สังเคราะห์โดยใช้วงจร ZC-CFTA หนึ่งตัว | 41 |
| 4.4 วงจรออสซิลเลเตอร์แบบควอดราเจอร์โหมคผสมโดยใช้วงจร ZC-CFTA ที่นำเสนอ | 41 |
| 4.5 ผลตอบสนองทางความถี่ของวงจรกรองผ่านทุกความถี่อันดับหนึ่งในรูปที่ 4.3 | 43 |
| 4.6 ผลตอบสนองทางเวลาของวงจรออสซิลเลเตอร์แบบควอดราเจอร์ที่นำเสนอในรูปที่ 4.4 | 44 |
| 4.7 สเปกตรัมความถี่ของวงจรออสซิลเลเตอร์แบบควอดราเจอร์ที่นำเสนอในรูปที่ 4.4 | 45 |
| 4.8 แผนภาพลิวชาจิวของวงจรออสซิลเลเตอร์แบบควอดราเจอร์ที่นำเสนอในรูปที่ 4.4 | 46 |

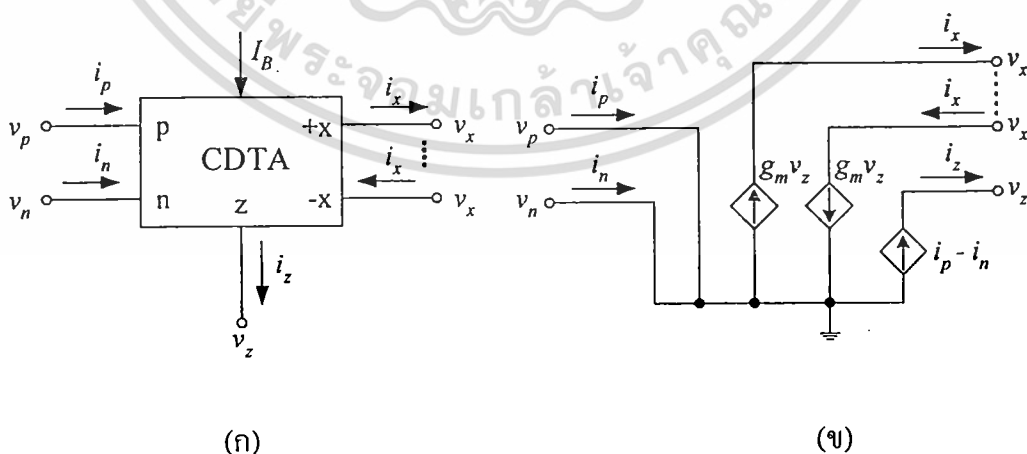
บทที่ 1

บทนำ

1.1 ความเป็นมาและความสำคัญของปัญหา

วงจรกรองสัญญาณ (filter) และวงจรออสซิลเลเตอร์ (oscillator) จัดเป็นกลุ่มวงจรพื้นฐานที่มีความสำคัญมากวงจรหนึ่งในระบบสื่อสาร ระบบประมวลผลสัญญาณ และระบบเครื่องมือวัด กล่าวคือเป็นวงจรที่ออกแบบขึ้นเพื่อทำหน้าที่ส่งผ่านสัญญาณที่มีความถี่ในช่วงที่ต้องการ โดยจะทำการลดทอนสัญญาณที่มีความถี่นอกเหนือจากที่กำหนดไว้ [1] ดังนั้นในปัจจุบันการออกแบบวงจรกรองสัญญาณและวงจรออสซิลเลเตอร์โดยใช้อุปกรณ์แอกทีฟประสิทธิภาพสูง เช่น วงจร CFA (current feedback amplifier) [2]-[3] วงจร CCII (second-generation current conveyor) [4]-[6] วงจร OTA (operational buffered amplifier) [7]-[8] และวงจร CDBA (current differencing buffered amplifier) [9]-[13] จึงได้รับความนิยมออกแบบและพัฒนาขึ้นอย่างแพร่หลาย

ดังนั้น D. Biolek จึงได้นำเสนออุปกรณ์แอกทีฟโทมคระแสชื่อว่า วงจร CDTA (current differencing transconductance amplifier) ขึ้นเป็นครั้งแรกในราวปี ค.ศ. 2003 [14] โดยประกอบด้วยวงจรภายในสำคัญสองส่วนคือ วงจรผลต่างกระแส (current differencing circuit) และวงจรขยายค่าความนำ (transconductance amplifier) ดังรูปที่ 1.1 เมื่อ ขั้ว p และขั้ว n คือ ขั้วอินพุต และขั้ว z และขั้ว x คือขั้วเอาต์พุตตามลำดับ วงจร CDTA มีคุณสมบัติเด่นคือ สามารถแปรค่าอัตราการส่งผ่านกระแสของวงจรได้ด้วยวิธีการทางอิเล็กทรอนิกส์ โดยการแปรค่ากระแสไบอัสจากภายนอก จึงสามารถนำไปสังเคราะห์และออกแบบวงจรประมวลผลสัญญาณแอนะล็อกได้โดยไม่จำเป็นต้องใช้ตัวต้านทานจากภายนอก ด้วยเหตุนี้จึงทำให้วงจร CDTA ได้รับความนิยมออกแบบและพัฒนาขึ้นในรูปแบบต่าง ๆ มากมาย [14]-[21]



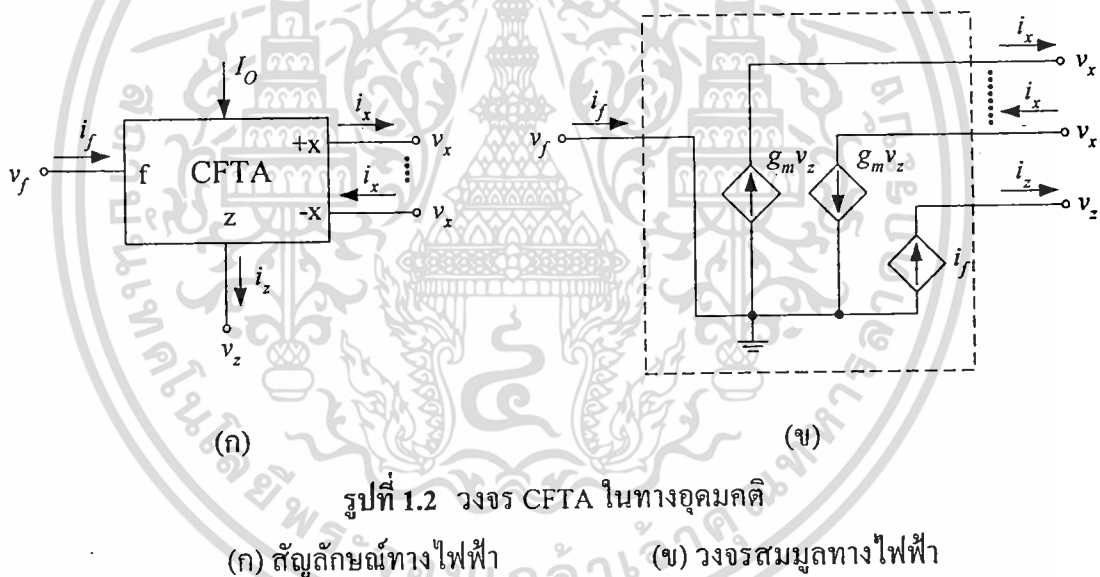
รูปที่ 1.1 วงจร CDTA ในทางอุดมคติ

(ก) สัญลักษณ์ทางไฟฟ้า

(ข) วงจรสมมูลทางไฟฟ้า

เอกสารนี้เป็นเอกสารที่สงวนไว้สำหรับการใช้งานเพื่อการศึกษาเท่านั้น ไม่อนุญาตให้นำไปใช้ประโยชน์ด้านการค้า ไม่ว่ากรณีใดๆทั้งสิ้น อีกทั้งห้ามมิให้ดัดแปลงเนื้อหา และต้องอ้างอิงถึงเจ้าของเอกสารทุกครั้งที่มีการนำไปใช้

แต่เนื่องจากการติดตามตรวจสอบงานวิจัยในอดีตบางชิ้นนั้นพบว่าขั้วอินพุต p หรือ n ของวงจร CDTA บางขั้วไม่ถูกต้องใช้งาน หรือไม่ได้ใช้ประโยชน์ของวงจร CDTA อย่างเต็มที่ ซึ่งอาจเป็นสาเหตุให้เกิดสัญญาณรบกวนในวงจรได้ ยิ่งไปกว่านั้นคุณสมบัติผลต่างกระแสในภาคอินพุต สามารถทำได้โดยการป้อนกลับกระแสผ่านทางขั้ว $\pm x$ ซึ่งหมายความว่าขั้วอินพุต p หรือ n ไม่มีความจำเป็นสำหรับการประยุกต์ใช้งานบางอย่าง ดังนั้นเพื่อลดผลกระทบดังกล่าว N. Herencsar และคณะ จึงได้มีการนำเสนอวงจร CFTA (current follower transconductance amplifier) ขึ้น [22] ซึ่งปรับปรุงจากวงจร CDTA โดยปรับเปลี่ยนโครงสร้างเดิมของวงจร CDTA ที่ภาคอินพุตจากวงจรผลต่างกระแสเป็นวงจรตามกระแส แทน ดังแสดงในรูปที่ 1.2 ดังนั้นวงจร CFTA จึงประกอบไปด้วยวงจรภายในที่สำคัญสองส่วน คือ วงจรตามกระแส (current follower) และวงจรขยายค่าความนำ ซึ่งส่งผลให้โครงสร้างของวงจรไม่ซับซ้อน พื้นที่วงจรมีขนาดเล็กกลง และสิ้นเปลืองกำลังไฟฟ้าต่ำ ด้วยเหตุนี้ทำให้มีงานวิจัยจำนวนมากที่สนใจในการสังเคราะห์และออกแบบวงจรประมวลผลสัญญาณแอนะล็อกโดยใช้วงจร CFTA เป็นอุปกรณ์แอคทีฟหลักเพิ่มขึ้นเป็นลำดับ [22]-[28]



จากเหตุผลดังกล่าวข้างต้นใน โครงการวิจัยนี้จึงมีแนวคิดในการออกแบบวงจรกรองสัญญาณแอนะล็อกและวงจรออสซิลเลเตอร์โดยใช้วงจร CFTA คู่ร่วมกับตัวเก็บประจุแบบเทียบกราวด์ โดยมีจุดประสงค์หลักเพื่อให้ได้วงจรที่มีโครงสร้างเรียบง่าย (simple) ปราศจากการใช้ตัวต้านทานพาสซีฟจากภายนอก (resistor-less) ซึ่งทำให้การสังเคราะห์วงจรใช้จำนวนอุปกรณ์แอคทีฟและพาสซีฟจำนวนน้อย (canonical form) และสามารถปรับค่าคุณสมบัติของวงจรได้ด้วยวิธีการทางอิเล็กทรอนิกส์ (electronically tunable) โดยการควบคุมอัตราขยายค่าความนำ (g_m) ของวงจร CFTA

เอกสารนี้เป็นเอกสารที่สงวนไว้สำหรับการใช้งานเพื่อการศึกษาเท่านั้น ไม่อนุญาตให้นำไปใช้ประโยชน์ด้านการค้า ไม่ว่าจะกรณีใดๆทั้งสิ้น อีกทั้งห้ามมิให้ดัดแปลงเนื้อหา และต้องอ้างอิงถึงเจ้าของเอกสารทุกครั้งที่มีการนำไปใช้

1.2 วัตถุประสงค์ของโครงการวิจัย

โครงการวิจัยนี้มุ่งเน้นแนวคิดในการออกแบบและสังเคราะห์วงจรกรองสัญญาณและวงจรถอดสวิตเตอร์โดยใช้วงจร CFTA เป็นอุปกรณ์แอกทีฟหลัก ซึ่งมีวัตถุประสงค์หลัก ดังต่อไปนี้

- 1) เพื่อผลิตบทความวิจัยที่มีคุณภาพสามารถตีพิมพ์ในวารสารนานาชาติที่อยู่ในฐานข้อมูล ISI Journal publication
- 2) เพื่อยกระดับ Ranking ของสถาบันฯ ให้สอดคล้องกับสถานะการวิจัยทางวิศวกรรมศาสตร์ที่ยั่งยืนอย่างแท้จริง
- 3) เพื่อพัฒนาศักยภาพของนักศึกษาระดับปริญญาเอกให้สามารถสร้างองค์ความรู้ใหม่ ให้เป็นที่ยอมรับในระดับนานาชาติได้
- 4) พัฒนาองค์ความรู้ และติดตามเทคโนโลยีสมัยใหม่ ทางด้านการออกแบบวงจรรวมสำหรับระบบประมวลผลสัญญาณ คิดค้นวงจรพื้นฐานหลัก ให้เหมาะสมกับเทคโนโลยีวงจรรวมที่มีอยู่ มุ่งวิจัยและพัฒนาการศึกษา ค้นคว้า และออกแบบ โครงสร้างวงจรถอดสวิตเตอร์เพื่อการประมวลผลสัญญาณในรูปสัญญาณแอนะล็อก (analog signal)

1.3 ขอบเขตของโครงการวิจัย

ขอบเขตของโครงการวิจัยชิ้นนี้ ประกอบไปด้วยเป้าหมายสำคัญสามประการ คือ

- 1) ออกแบบและสังเคราะห์วงจรกรองสัญญาณ โดยใช้วงจร CFTA เป็นอุปกรณ์แอกทีฟหลัก และตัวเก็บประจุไฟฟ้าเป็นอุปกรณ์พาสซีฟ ปราศจากการใช้ตัวต้านทานพาสซีฟจากภายนอกในการสังเคราะห์วงจร
- 2) ออกแบบและสังเคราะห์วงจรถอดสวิตเตอร์โดยใช้วงจร CFTA เป็นอุปกรณ์แอกทีฟหลัก และตัวเก็บประจุไฟฟ้าเป็นอุปกรณ์พาสซีฟ ปราศจากการใช้ตัวต้านทานพาสซีฟจากภายนอกในการสังเคราะห์วงจร
- 3) ขอบเขตของโครงการวิจัยนี้มีเป้าหมายหลัก คือ นำผลงานวิจัยที่ได้จากข้อ 1 และ 2 ไปนำเสนอและตีพิมพ์เผยแพร่ในวารสารวิชาการระดับนานาชาติ

1.4 รายละเอียดของโครงการวิจัย

การดำเนินเนื้อหาของโครงการวิจัยฉบับนี้แบ่งออกเป็น 5 บท และภาคผนวก 1 ภาค โดยแต่ละบทมีรายละเอียดดังต่อไปนี้

บทที่ 1 เป็นบทนำเพื่อกล่าวถึงความเป็นมาและความสำคัญของปัญหา วัตถุประสงค์และขอบเขตของโครงการวิจัย และรายละเอียดเนื้อหาแต่ละบท

บทที่ 2 จะได้กล่าวอธิบายถึงหลักการทำงานพื้นฐานของวงจร CFTA และการวิเคราะห์สมรรถนะของวงจร CFTA พร้อมทั้งทดสอบด้วยผลการจำลองและผลการวัดจากการต่อวงจรจริง

เอกสารนี้เป็นเอกสารที่สงวนลิขสิทธิ์ไว้เพื่อใช้ในการศึกษาเท่านั้น เมื่อผู้ใดเห็นไปใช้ประโยชน์ด้านการค้าไม่ว่ากรณีใดๆทั้งสิ้น อีกทั้งห้ามมิให้ดัดแปลงเนื้อหา และต้องอ้างอิงถึงเจ้าของเอกสารทุกครั้งที่มีการนำไปใช้

บทที่ 3 จะกล่าวถึงการออกแบบวงจรกรองสัญญาณไบควอดราติกอเนกประสงค์โหมดกระแสที่สามารถปรับค่าได้ด้วยวิธีการทางอิเล็กทรอนิกส์ โดยใช้เพียงวงจร CFTA ต่อร่วมกับตัวเก็บประจุแบบเทียบกราวด์เท่านั้น ซึ่งได้ทำการยืนยันด้วยผลการจำลองการทำงานของวงจรโดยใช้โปรแกรม PSPICE

บทที่ 4 เป็นแนวทางการออกแบบและสังเคราะห์วงจรออสซิลเลเตอร์แบบควอดราเจอร์โหมดผสมที่ปราศจากตัวต้านทานพาสซีฟจากภายนอกและสามารถปรับค่าได้ด้วยวิธีการอิเล็กทรอนิกส์ โดยใช้วงจร วงจร ZC-CFTA และตัวเก็บประจุแบบเทียบกราวด์

บทที่ 5 เป็นบทสรุปผลงานวิจัยที่ได้นำเสนอทั้งหมด

ส่วนท้ายของโครงการวิจัยฉบับนี้จะเป็นภาคผนวก ซึ่งได้รวบรวมบทความวิจัยซึ่งเป็นส่วนหนึ่งของผลงานที่เกิดจากโครงการวิจัยชิ้นนี้ ที่ได้รับการตีพิมพ์ในวารสารวิชาการทางวิศวกรรมไฟฟ้าและอิเล็กทรอนิกส์ระดับนานาชาติที่อยู่ในฐานข้อมูล ISI Journal publication

1.5 เอกสารอ้างอิงบทที่ 1

- [1] วรพงศ์ ตั้งศรีรัตน์. การออกแบบและสังเคราะห์วงจรกรองสัญญาณแอนะล็อกและวงจรออสซิลเลเตอร์. คณะวิศวกรรมศาสตร์ สถาบันเทคโนโลยีพระจอมเกล้าเจ้าคุณทหารลาดกระบัง. 2554.
- [2] J. W. Horng, "New configuration for realizing universal voltage-mode filter using two CFAs", **IEEE Transactions on Instrumentation and Measurement**, vol.49, pp.1043-1045, 2000.
- [3] W. Tangsrirat and W. Surakamponorn, "Single-resistance-controlled quadrature oscillator and universal biquad filter using CFOAs", **International Journal of Electronics and Communications (AEU)**, vol.63, pp.1080-1086, 2009.
- [4] A. Toker and S. Ozoguz, "Insensitive current-mode universal filter using dual output current conveyors", **International Journal of Electronics**, vol.87, no.6, pp.667-674, 2000.
- [5] A. U. Keskin and U. Cam, "Insensitive high-output impedance minimum configuration SITO-type current-mode biquad using dual-output current conveyors and grounded passive components", **International Journal of Electronics and Communications (AEU)**, vol.61, pp.341-344, 2007.
- [6] E. Yuce, "Current-mode electronically tunable biquadratic filters consisting of only CCCII and grounded capacitors", **Microelectronics Journal**, vol.40, pp.1719-1725, 2009.
- [7] D. R. Bhaskar, R. K. Sharma, A. K. Singh and R. Senani, "New dual-mode biquads using OTAs", **Frequenz**, vol.60, pp.246-252, 2006.

เอกสารนี้เป็นเอกสารที่สงวนไว้สำหรับการใช้งานเพื่อการศึกษาเท่านั้น ไม่อนุญาตให้นำไปใช้ประโยชน์ด้านการค้า ไม่ว่าจะกรณีใดๆทั้งสิ้น อีกทั้งห้ามมิให้ดัดแปลงเนื้อหา และต้องอ้างอิงถึงเจ้าของเอกสารทุกครั้งที่มีการนำไปใช้

- [8] W. Chunhua, Z. Ling and L. Tao, "A new OTA-C current-mode biquad filter with single input and multiple outputs", **International Journal of Electronics and Communications (AEU)**, vol.62, pp.232-234, 2007.
- [9] C. Acar and S. Ozoguz, "A new versatile building block: current differencing buffered amplifiers suitable for analog signal-processing filters", **Microelectronics Journal**, vol.30, pp.157-160, 1999.
- [10] S. Ozoguz, A. Toker and C. Acar, "Current-mode continuous-time fully-integrated universal filter using CDBAs", **Electronics Letters**, vol.35, no.2, pp.97-98, 1999.
- [11] W. Tangsrirat, N. Fujii and W. Surakamponorn, "Current-mode leapfrog ladder filters using CDBAs", **Proceedings of IEEE International Symposium Circuits and Systems (ISCAS)**, Scottsdale, Arizona, vol.5, pp.v.57-v.60, 2002.
- [12] A. U. Kekin and E. Hancioglu, "Current mode multifunction filter using two CDBAs", **International Journal of Electronics and Communications (AEU)**, vol.59, pp.495-498, 2005.
- [13] W. Tangsrirat, D. Prasertsom and W. Surakamponorn, "Low-voltage digitally controlled current differencing buffered amplifiers and its application", **International Journal of Electronics and Communications (AEU)**, vol.63, pp.249-258, 2009.
- [14] D. Birolek, "CDTA-building block for current-mode analog signal processing", **Proceedings of the 16th IEEE European Conference on Circuits Theory and Design (ECCTD 2003)**, Krakow, Poland, vol.3, pp.397-400, 2003.
- [15] A. U. Keskin, and D. Birolek, "Current mode quadrature oscillator using current differencing transconductance amplifiers (CDTA)", **IEE Proceedings Circuits, Devices and Systems**, vol.153, pp.214-218, 2006.
- [16] W. Tangsrirat and W. Surakamponorn, "Systematic realization of cascadable current-mode filters using current differencing transconductance amplifiers", **Frequenz**, vol.60, pp.241-245, 2006.
- [17] W. Tangsrirat, T. Dumawipata and W. Surakamponorn, "Multiple-input single-output current-mode multifunction filter using current differencing transconductance amplifiers", **International Journal of Electronics and Communications (AEU)**, vol.61, pp.209-214, 2007.
- [18] N. A. Shah, M. Quadri and S. Z. Iqbal, "CDTA based universal transadmittance filter" **Analog Integrated Circuits and Signal Processing**, vol.52, pp.65-69, 2007.

- [19] W. Tangsrirat and W. Tanjaroen, "Current-mode multiphase sinusoidal oscillator using current differencing transconductance amplifiers", **Circuits, Systems, and Signal Processing**, vol.27, no.1, pp.81-93, 2008.
- [20] A. Lahiri, "Novel voltage/current-mode quadrature oscillators using current differencing transconductance amplifier", **Analog Integrated Circuits and Signal Processing**, vol.61, no.2, pp.199-203, 2009.
- [21] W. Tangsrirat, T. Pukkalanun and W. Surakamponorn, "Resistorless realization of current-mode first-order allpass filter using current differencing transconductance amplifiers", **Microelectronics Journal**, vol.41, pp.178-183, 2010.
- [22] N. Herencsar, J. Koton, K. Vrba, and I. Lattenberg, "Current follower transconductance amplifier (CFTA) - a useful building block for analog signal processing", **Journal of Active and Passive Electronic Devices**, vol.6, no. 3-4, pp. 217-229, 2011.
- [23] N. Herencsar, J. Koton, and K. Vrba, "Realization of current-mode KHN-equivalent biquad using current follower transconductance amplifiers (CFTAs)", **IEICE Fundamentals**, vol.E93-A, no.10, pp.1816-1819, 2010.
- [24] A. Lahiri, "Resistor-less mixed-mode quadrature sinusoidal oscillator", **International Journal of Computer and Electrical Engineering**, vol.2, no.1, pp.63-66, 2010.
- [25] W. Tangsrirat, "Novel current-mode and voltage-mode universal biquad filters using single CFTA", **Indian Journal of Engineering & Materials Sciences**, vol.17, pp.99-104, 2010.
- [26] W. Tangsrirat, "Single-input three-output electronically tunable universal current-mode filter using current follower transconductance amplifiers", **International Journal of Electronics and Communications (AEU)**, vol.65, Issue.10, pp.783-787, 2011.
- [27] Jetsdaporn Satansup and Worapong Tangsrirat, "Realization of current-mode KHN-equivalent biquad filter using ZC-CFTAs and grounded capacitors", **Indian Journal of Pure & Applied Physics**, vol.49, no.12, pp.841-846, 2011.
- [28] Worapong Tangsrirat, Praty Mongkolwai and Tattaya Pukkalanun, "Current-mode high-Q bandpass filter and mixed-mode quadrature oscillator using ZC-CFTAs and grounded capacitors", **Indian Journal of Pure & Applied Physics**, vol.50, no.8, pp.600-607, 2012.

บทที่ 2

วงจร CFTA

2.1 กล่าวนำ

วงจร CFTA (current follower transconductance amplifier) เป็นบล็อกวงจรแอกทีฟชนิดหนึ่ง (active circuit building block) ที่มีความน่าสนใจสำหรับการออกแบบและสังเคราะห์วงจรประมวลผลสัญญาณต่าง ๆ เป็นอย่างมาก เนื่องจากมีคุณสมบัติเด่นคือ สามารถแปรค่าอัตราการส่งผ่านกระแสของวงจรได้ด้วยวิธีการทางอิเล็กทรอนิกส์ โดยการแปรค่ากระแสไบอัสจากภายนอกจึงทำให้วงจรแอกทีฟต่าง ๆ ที่สังเคราะห์โดยใช้วงจร CFTA มีความเหมาะสมต่อแนวทางในการสร้างเป็นวงจรรวม [1]-[2] เนื่องจากวงจร CFTA เป็นวงจรที่พัฒนามาจากวงจร CDTA ดังนั้นจึงมีคุณสมบัติของวงจรที่คล้ายคลึงกัน แต่ต่างกันตรงที่โครงสร้างที่ภาคอินพุตของวงจร CFTA เป็นวงจรตามกระแสซึ่งส่งผลให้โครงสร้างของวงจรไม่ซับซ้อน พื้นที่วงจรมีขนาดเล็ก และสิ้นเปลืองกำลังไฟฟ้าต่ำ จากเหตุผลดังกล่าวทำให้วงจร CFTA ได้รับความนิยมและถูกออกแบบและสังเคราะห์ในรูปแบบต่าง ๆ มากมาย [3]-[20]

เนื่องจากโครงการวิจัยฉบับนี้มีจุดมุ่งหมายในการศึกษาค้นคว้าและวิจัยออกแบบวงจรกรองสัญญาณ ไบควอดราติก โดยใช้วงจร CFTA เป็นอุปกรณ์แอกทีฟหลัก ดังนั้นในบทนี้จะกล่าวถึงหลักการดำเนินงานพื้นฐานของวงจร CFTA แบบใช้เทคโนโลยีทรานซิสเตอร์ไบโพลาร์ โดยจะกล่าวถึง การทำงานพื้นฐานของวงจร CFTA คุณสมบัติและโครงสร้างของวงจร สำหรับคุณสมบัติในการทำงานของวงจรที่นำเสนอได้ถูกตรวจสอบความถูกต้องด้วยการจำลองการทำงานโดยใช้โปรแกรม PSPICE และผลการต่อวงจรจริงทดสอบโดยใช้วงจร CFOA (current feedback operational amplifier) เบอร์ AD844 ของบริษัท Analog Devices และวงจร OTA (operational transconductance amplifier) เบอร์ CA3080 ของบริษัท Intercell Corporation ซึ่งเป็นไอซีที่มีขายตามท้องตลาดและที่นิยมใช้กันอย่างแพร่หลาย

2.2 การทำงานพื้นฐานของวงจร CFTA

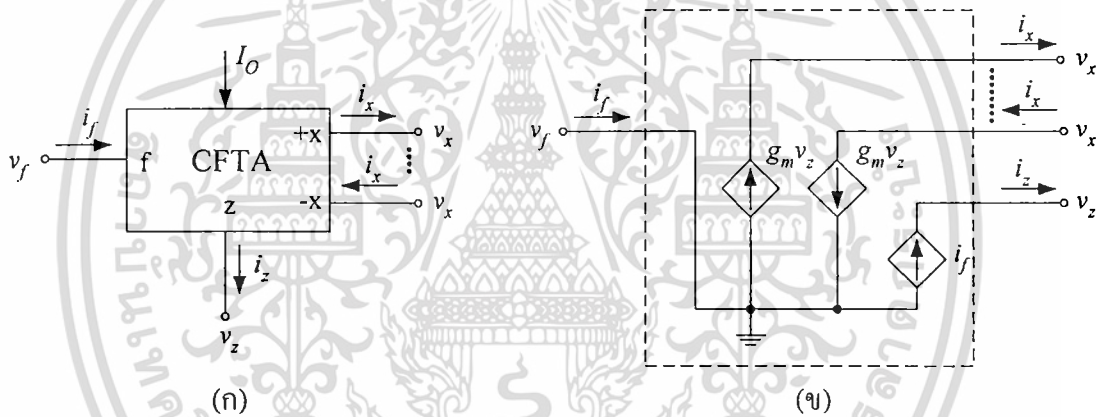
วงจร CFTA เป็นอุปกรณ์แอกทีฟที่ในปัจจุบันมีผู้นิยมนำมาใช้ออกแบบและสังเคราะห์เป็นวงจรแอกทีฟฟังก์ชันต่าง ๆ มากมาย ทั้งนี้เนื่องจากเป็นวงจรที่ทำงานในโหมดกระแส อีกทั้งวงจรยังมีคุณสมบัติเด่น คือ สามารถแปรค่าอัตราการส่งผ่านกระแสของวงจรด้วยวิธีการทางอิเล็กทรอนิกส์โดยการแปรค่ากระแสไบอัสจากภายนอก นอกจากนี้ โครงสร้างของวงจรยังมีคุณสมบัติค่าอิมพีแดนซ์อินพุตต่ำ และค่าอิมพีแดนซ์เอาต์พุตสูง จึงทำให้เหมาะสมกับรูปแบบการต่อคาสเคด (cascade) ในโหมดกระแสเป็นอย่างดี

2.2.1 คุณสมบัติวงจร CFTA ในทางอุดมคติ

วงจร CFTA ในทางอุดมคติ สามารถเขียนแสดงสัญลักษณ์ทางไฟฟ้าได้ดังรูปที่ 2.1(ก) โดยที่ความสัมพันธ์ระหว่างกระแสกับแรงดันของวงจร CFTA อธิบายได้ดังนี้ [19]-[20]

$$v_f = 0, \quad i_z = i_f \quad \text{และ} \quad i_x = g_m v_z = g_m Z_z i_z \quad (2.1)$$

เมื่อ g_m คือ อัตราขยายค่าความนำ (transconductance gain) ของวงจร CFTA และ z คือ ค่าอิมพีแดนซ์ที่ขั้ว z จากสมการ (2.1) แสดงให้เห็นว่ากระแสอินพุต (i_f) จะถูกส่งผ่านไปเป็นกระแสเอาต์พุตที่ขั้ว z (i_z) และแรงดันที่ขั้ว z (v_z) จะถูกเปลี่ยนเป็นกระแสเอาต์พุตที่ขั้ว x (i_x) ด้วยอัตราขยายค่าความนำ (g_m) ของวงจร ซึ่งทั่วไปสามารถควบคุมได้ด้วยวิธีการทางอิเล็กทรอนิกส์จากกระแสไบอัส I_O ดังนั้นจากคุณสมบัติในการทำงานข้างต้น จึงสามารถนำมาเขียนอธิบายเป็นวงจรสมมูลทางไฟฟ้าได้ดังรูปที่ 2.1(ข)



รูปที่ 2.1 วงจร CFTA ในทางอุดมคติ
(ก) สัญลักษณ์ทางไฟฟ้า (ข) วงจรสมมูลทางไฟฟ้า

2.2.2 คุณสมบัติวงจร CFTA ในทางปฏิบัติ

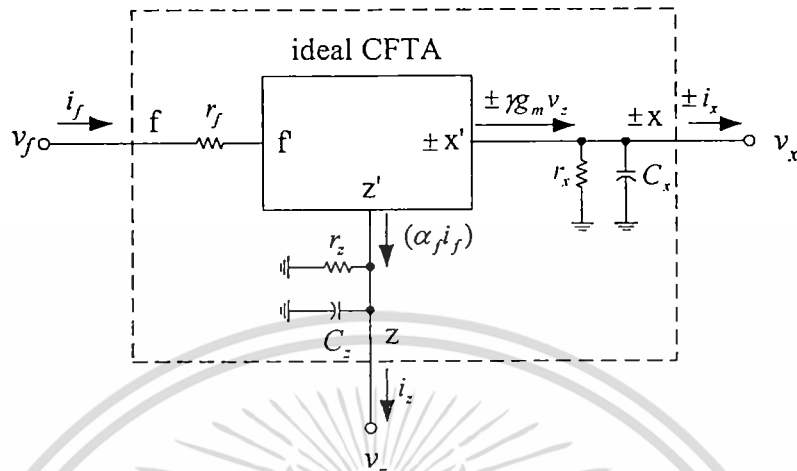
เมื่อพิจารณาถึงคุณสมบัติในการทำงานที่ไม่เป็นอุดมคติของวงจร CFTA ทำให้ความสัมพันธ์ระหว่างแรงดันกับกระแสจากสมการ (2.1) สามารถเขียนใหม่ได้เป็น [19]-[20]

$$v_f = 0, \quad i_z = \alpha i_f \quad \text{และ} \quad i_x = \beta g_m Z_z i_z \quad (2.2)$$

เมื่อ $\alpha = 1 - \varepsilon_i$ และ ε_i ($\varepsilon_i \ll 1$) คือ ค่าผิดพลาดในการส่งผ่านกระแสระหว่างขั้ว f กับขั้ว z และ β คือ ค่าความเบี่ยงเบนในการส่งผ่านค่าความนำระหว่างขั้ว z กับขั้ว x โดยที่ r_f คือ ค่าความต้านทานแฝง

เอกสารนี้เป็นเอกสารที่สงวนไว้สำหรับการใช้งานเพื่อการศึกษาเท่านั้น ไม่อนุญาตให้นำไปใช้ประโยชน์ด้านการค้า ไม่ว่าจะกรณีใดๆทั้งสิ้น อีกทั้งห้ามมิให้ดัดแปลงเนื้อหา และต้องอ้างอิงถึงเจ้าของเอกสารทุกครั้งที่มีการนำไปใช้

ที่ขั้ว f สำหรับ r_z , C_z และ r_x , C_x คือ ค่าความต้านทานและค่าตัวเก็บประจุแฝงที่ขั้ว z และขั้ว x ของ วงจร CFTA ซึ่งสามารถเขียนแสดงสัญลักษณ์ทางไฟฟ้าได้ดังรูปที่ 2.2



รูปที่ 2.2 สัญลักษณ์ทางไฟฟ้าของวงจร CFTA ในทางปฏิบัติ

2.3 การสังเคราะห์วงจร CFTA โดยใช้เทคโนโลยีทรานซิสเตอร์แบบไบโพลาร์

วงจร CFTA ที่นำเสนอประกอบด้วยวงจรภายในที่สำคัญสองส่วนหลักคือ วงจรตามกระแส (current follower) และ วงจรขยายค่าความนำ (differential amplifier) ซึ่งมีรายละเอียดของกลุ่มวงจรรย่อยทั้งสองดังนี้

2.3.1 วงจรตามกระแส

วงจรตามกระแส Q_1 - Q_6 เป็นภาคอินพุตของวงจรซึ่งส่งผลให้ค่าความต้านทานอินพุตขั้ว f ต่ำมาก โดยมี I_B เป็นกระแสไบอัสของวงจร และหากประมาณว่าทรานซิสเตอร์ทุกตัวมีความสมพียงกันทุกประการ จะได้ความสัมพันธ์ดังต่อไปนี้

$$v_{in} = r_{e1}i_{in} + r_{e2}i_{e2} \quad (2.3)$$

และ

$$i_{e2} = \frac{\alpha i_{in}}{\beta_1} - \alpha i_{in} \quad (2.4)$$

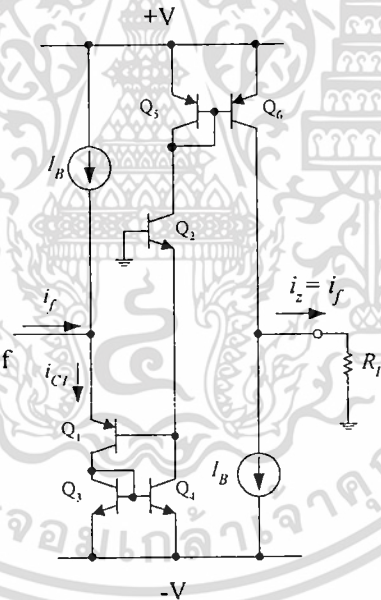
เมื่อ r_{ei} คือ ค่าความต้านทานอิมิตเตอร์กรณีสัญญาณขนาดเล็กน้อยของทรานซิสเตอร์ Q_i ซึ่งมีค่าเท่ากับ V_T/I_B เมื่อ V_T คือ แรงดันความร้อน (thermal voltage) มีค่าประมาณ 26 mV ที่อุณหภูมิห้อง และ α คือ ค่าอัตราขยายกระแสแบบเบสรวม และ β_1 คือ ค่าอัตราขยายกระแสแบบอิมิตเตอร์รวมของ

ทรานซิสเตอร์ Q_1 จากความสัมพันธ์ในสมการ (2.3) และ (2.4) ทำให้ได้ค่าความต้านทานอินพุตของวงจร (r_{in}) มีค่าเท่ากับ

$$r_f = r_{in} = \frac{v_{in}}{i_{in}} \cong \frac{r_{e2}}{\beta_1} \quad (2.5)$$

สมการ (2.5) แสดงให้เห็นว่าด้วยคุณสมบัติของการป้อนกลับแบบลบที่มีแฟกเตอร์ป้อนกลับ เท่ากับ β_1 เป็นผลให้ค่าความต้านทานอินพุตของวงจรมีค่าต่ำมาก ตัวอย่างเช่น ถ้า $\beta_1 = 50$ และ $I_B = 100 \mu A$ จะได้ $r_{in} = 5 \Omega$ ดังนั้นในการออกแบบวงจรตามกระแสซึ่งต้องมีค่าความต้านทานอินพุตต่ำมาก จึงได้นำเอาวงจรในรูปที่ 2.3 ไปทำหน้าที่เป็นวงจรภาคอินพุตเพื่อรับสัญญาณกระแสต่อไป ดังนั้นเมื่อกำหนดให้ $\beta_1 \gg 1$ แล้วจะได้กระแสคอลเลกเตอร์ของ Q_1 มีค่าเท่ากับ

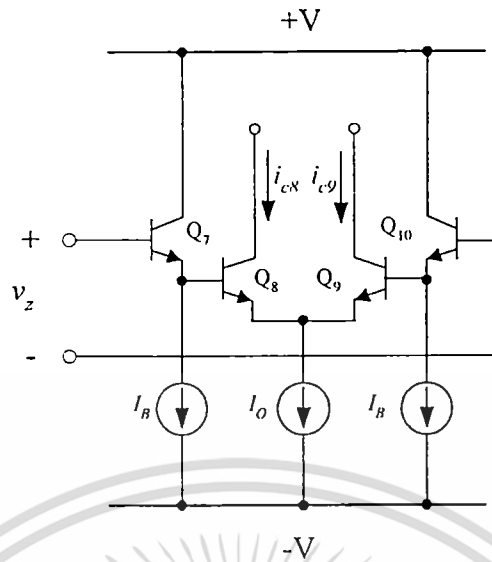
$$i_{C1} = I_B + i_f \quad (2.6)$$



รูปที่ 2.3 วงจรตามกระแส

สำหรับวงจรสะท้อนกระแสแบบพื้นฐาน Q_3 - Q_4 และ Q_5 - Q_6 จะทำหน้าที่ส่งผ่านหรือสำเนากระแส I_{C1} จากภาคอินพุตไปยังขั้ว z เพื่อกำจัดผลของกระแสไบอัส I_B และทำให้กระแสเอาต์พุตที่ขั้ว z (i_z) มีค่าเท่ากับ กระแสอินพุตที่ขั้ว f (i_f) โดยกระแส i_z นี้จะถูกเปลี่ยนเป็นแรงดัน (v_z) ด้วยอิมพีแดนซ์ซึ่งตั้งอยู่ที่ขั้ว z ดังนั้นกระแสเอาต์พุตของวงจรในกรณีนี้มีค่าเท่ากับ

เอกสารนี้เป็นเอกสารที่สงวนไว้สำหรับการใช้งานเพื่อการศึกษาเท่านั้น ไม่อนุญาตให้นำไปใช้ประโยชน์ด้านการค้า
 (2.7)
 ไม่ว่ากรณีใดๆทั้งสิ้น อีกทั้งห้ามมิให้ดัดแปลงเนื้อหา และต้องอ้างอิงถึงเจ้าของเอกสารทุกครั้งที่มีการนำไปใช้



รูปที่ 2.4 วงจรขยายสัญญาณผลต่าง

2.3.2 วงจรขยายค่าความนำ

วงจรถ่ายค่าความนำ Q_7 - Q_{10} เป็นภาคเอาต์พุตของวงจรถ่าย โดยวงจรถ่ายสัญญาณผลต่าง (differential amplifier) เป็นวงจรถ่ายอินพุตของวงจรถ่ายค่าความนำ มีวงจรถ่ายสัญญาณแบบตามอีมิเตอร์ (emitter follower) Q_7 และ Q_{10} ต่อภาคเอาต์พุตเพื่อเพิ่มค่าอิมพีแดนซ์อินพุตของวงจรถ่ายให้มีค่าสูงมากขึ้น ดังนั้นจากลำดับขั้นการวิเคราะห์วงจรหาค่าความต้านทานอินพุตของวงจรถ่าย (r_z) เมื่อกำหนดให้ $\beta = \beta_7 = \beta_{10} \gg 1$ พบว่ามีค่าเท่ากับ สำหรับค่าความต้านทานอินพุตที่มองเข้าไปยังขั้ว z และขั้ว x มีค่าเท่ากับ

$$r_z \cong 2\beta r_\pi \quad (2.8)$$

เมื่อ $r_\pi = r_{\pi 7} = r_{\pi 8} = r_{\pi 9} = r_{\pi 10}$ และ r_π คือ ค่าความต้านทานระหว่างขาเบสกับขาอีมิเตอร์ของทรานซิสเตอร์ และในกรณีนี้จะได้กระแสคอลเลกเตอร์ของทรานซิสเตอร์ Q_8 และ Q_9 มีค่าเท่ากับ

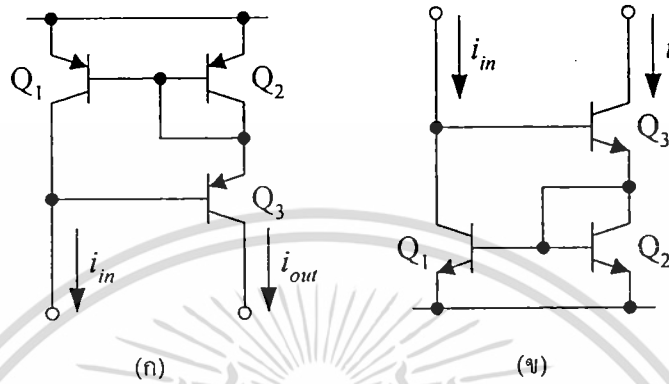
$$i_{C8} = -i_{C9} = g_{m8} \left(\frac{v_z}{4} \right) = -g_{m9} \left(\frac{v_z}{4} \right) \quad (2.9)$$

เมื่อ
$$g_{m8} = g_{m9} = \frac{I_O}{2V_T} \quad (2.10)$$

โดยที่ g_{m8} และ g_{m9} คืออัตราขยายค่าความนำของทรานซิสเตอร์ Q_8 และ Q_9 ตามลำดับ ซึ่งถูกควบคุม

โดยกระแสไบอัสจากภายนอก I_O ใช้งานเพื่อการศึกษาเท่านั้น ไม่อนุญาตให้นำไปใช้ประโยชน์ด้านการค้า ไม่ว่าจะกรณีใดๆทั้งสิ้น อีกทั้งห้ามมิให้ดัดแปลงเนื้อหา และต้องอ้างอิงถึงเจ้าของเอกสารทุกครั้งที่มีการนำไปใช้

รูปที่ 2.5 แสดงวงจรสะท้อนกระแสแบบวิลสัน (wilson current mirror) ซึ่งเป็นกลุ่มวงจรย่อยที่สำคัญอีกวงจรหนึ่งในวงจรขยายค่าความนำ โดยทำหน้าที่ส่งผ่านกระแสไปยังจุดอื่นๆของวงจร โดยในรูปที่ 2.5(ก) แสดงวงจรสะท้อนกระแสแบบบวกทำหน้าที่ในการจ่ายกระแส (source current) ส่วนรูปที่ 2.5(ข) แสดงวงจรสะท้อนกระแสแบบลบทำหน้าที่ในการดึงกระแส (sink current)



รูปที่ 2.5 วงจรสะท้อนกระแสแบบวิลสัน

(ก) แบบบวก

(ข) แบบลบ

สำหรับคุณสมบัติของวงจรสะท้อนกระแสแบบวิลสันมีความต้านทานเอาต์พุตของวงจรมีค่าเท่ากับ

$$r_o = \frac{\beta r_{ce}}{2} \quad (2.11)$$

โดยที่ r_{ce} คือ ค่าความต้านทานระหว่างขาคอลเลคเตอร์กับขาคีมิตเตอร์ของทรานซิสเตอร์ ซึ่งมีค่าเท่ากับ V_A / I_{out} และ V_A คือค่าแรงดันจุดเริ่ม (early voltage) ส่วนค่าความต้านทานอินพุตของวงจรมีค่าเท่ากับ

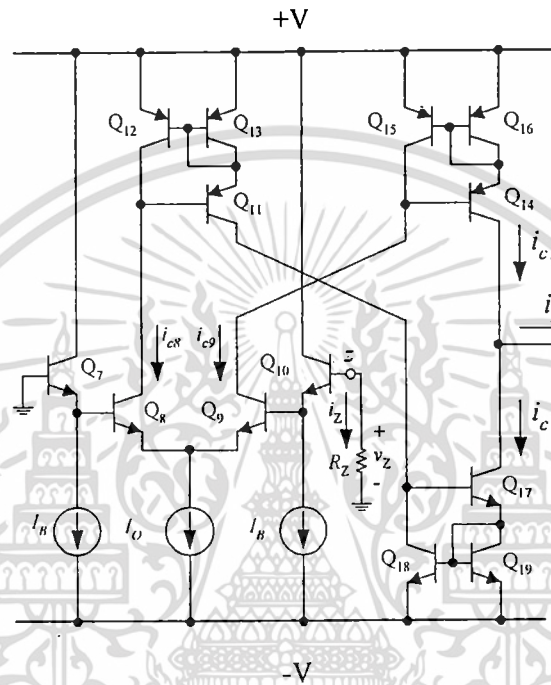
$$r_{in} = \frac{2V_T}{I_{in}} \quad (2.12)$$

ค่าความคลาดเคลื่อนในการส่งผ่านกระแส (error) มีค่าเท่ากับ

$$error = \frac{2}{\beta^2 + 2\beta + 2} \quad (2.13)$$

ตัวอย่างเช่น เมื่อกำหนดให้ $\beta=100$ ดังนั้นเปอร์เซ็นต์ของค่าความคลาดเคลื่อนในการส่งผ่านกระแสของวงจรจะมีค่าเท่ากับ 0.0196 % จะเห็นได้ว่าหาก $\beta \gg 1$ แล้ว กระแสเอาต์พุตของวงจรสามารถประมาณได้เป็น

$$I_{out} \cong I_{in} \quad (2.14)$$



รูปที่ 2.6 วงจรขยายค่าความนำ

รูปที่ 2.6 แสดงวงจรขยายค่าความนำซึ่งประกอบด้วยวงจรขยายสัญญาณผลต่างดังรูปที่ 2.4 และวงจรสะท้อนกระแสแบบวิลสันดังรูปที่ 2.5 ดังนั้นจากลำดับขั้นการวิเคราะห์ห้วงจรหาค่าความต้านทานเอาต์พุตของวงจรที่มองเข้าไปที่ขั้ว x (r_x) โดยประมาณว่าทรานซิสเตอร์ทุกตัวมีความสมพจน์กันทุกประการ เมื่อ $\beta = \beta_{14} = \beta_{15} = \beta_{16} = \beta_{17} = \beta_{18} = \beta_{19} \gg 1$ และ $r_{ce} = r_{ce14} = r_{ce15} = r_{ce16} = r_{ce17} = r_{ce18} = r_{ce19}$ พบว่ามีค่าเท่ากับ

$$r_x \cong \frac{\beta r_{ce}}{4} \quad (2.15)$$

จากสมการ (2.9) และ (2.10) ถ้ากำหนดให้ $g_m = (g_{m8}/2) = (g_{m9}/2)$ และจากผลของการส่งผ่านกระแสด้วยวงจรสะท้อนกระแส (Q_{11}, Q_{13}), (Q_{14}, Q_{16}, Q_{17}) และ (Q_{19}, Q_{21}, Q_{22}) มีค่าเท่ากับ

เอกสารนี้เป็นเอกสารที่สงวนไว้สำหรับการใช้งานเพื่อการศึกษาเท่านั้น ไม่นอนุญาตให้นำไปใช้ประโยชน์ด้านการค้า ไม่ว่าจะกรณีใดๆทั้งสิ้น อีกทั้งห้ามมิให้ดัดแปลงเนื้อหา และต้องอ้างอิงถึงเจ้าของเอกสารทุกครั้งที่มีการนำไปใช้

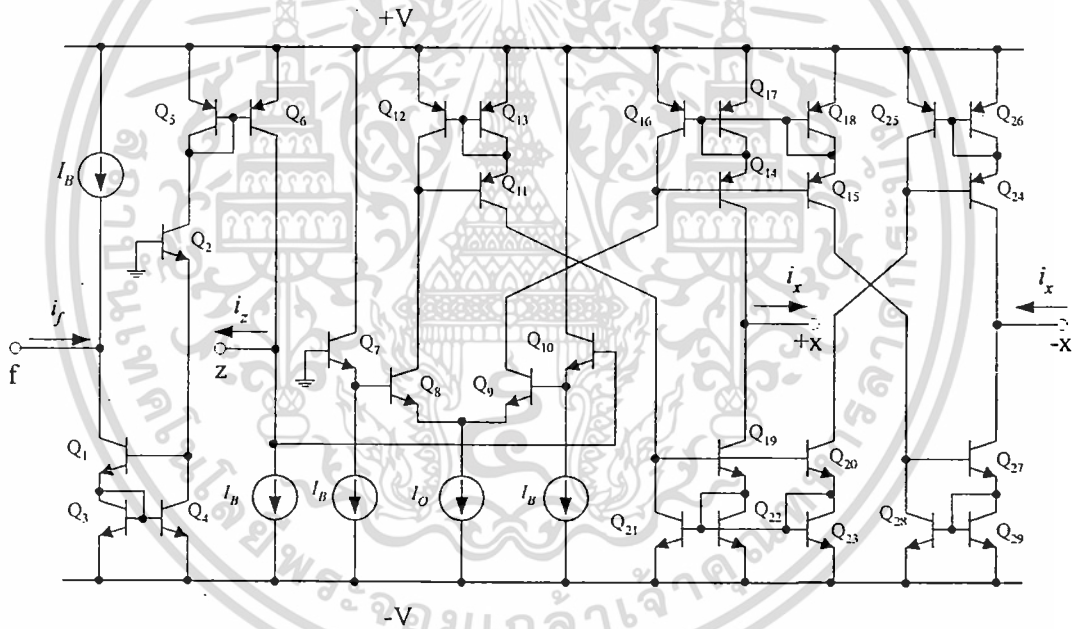
$$i_x = i_{C14} - i_{C17} = i_{C9} - i_{C8} = g_m v_z \tag{2.16}$$

หรือ
$$i_x = g_m R_z i_z \tag{2.17}$$

โดยที่ R_z คือ ตัวต้านทานที่ต่อระหว่างขั้ว z กับกราวด์ จากรูปที่ 2.6 จะพบว่าโครงสร้างวงจร CFTA ที่ใช้เทคโนโลยีทรานซิสเตอร์แบบไบโพลาร์มีอัตราขยายค่าความนำของวงจรหรือ g_m เท่ากับ

$$g_m = \frac{I_O}{2V_T} \tag{2.18}$$

เมื่อ I_O คือ กระแสไบอัสจากภายนอกที่จ่ายให้แก่วงจร และ V_T คือ ค่าแรงดันความร้อน (thermal voltage) ซึ่งมีค่าประมาณ 26 mV ที่อุณหภูมิ 27°C



รูปที่ 2.7 วงจร CFTA แบบใช้เทคโนโลยีทรานซิสเตอร์ไบโพลาร์

2.4 วงจร CFTA แบบใช้เทคโนโลยีทรานซิสเตอร์ไบโพลาร์

รูปที่ 2.7 แสดงวงจร CFTA ที่สังเคราะห์ขึ้นจากทรานซิสเตอร์ไบโพลาร์ ซึ่งถูกนำเสนอขึ้นโดย W. Tangsrirat ในปี ค.ศ. 2009 [19] ภายในวงจรประกอบไปด้วยสองส่วนหลักคือ วงจรตามกระแส (current follower) แสดงดังรูปที่ 2.4 และวงจรขยายค่าความนำหลายเอาต์พุต (multi-output transconductance amplifier) โดยมีคุณสมบัติเช่นเดียวกับวงจรขยายค่าความนำ ซึ่งประกอบด้วยส่วนรับแรงดันอินพุต ส่วนกระแสไบอัส แต่ในส่วนกระแสเอาต์พุตของวงจรขยายค่าความนำหลายเอาต์พุตจะประกอบไปด้วยขั้วกระแสเอาต์พุตมากกว่าหนึ่งขั้ว ดังรูปที่ 2.7 ดังนั้น เห็นได้ว่าคุณสมบัติพื้นฐานของ

เอกสารนี้เป็นเอกสารที่สงวนไว้สำหรับการใช้งานเพื่อการศึกษาเท่านั้น เมื่อผู้ใดเห็นไปเผยแพร่โดยไม่ได้รับอนุญาต
ไม่ว่ากรณีใดๆทั้งสิ้น อีกทั้งห้ามมิให้ตัดแปลงเนื้อหา และต้องอ้างอิงถึงเจ้าของเอกสารทุกครั้งที่มีการนำไปใช้

วงจรที่นำเสนอสอดคล้องกับสมการ (2.1) และสามารถแปรค่าอัตราส่งผ่านกระแสของวงจรได้โดยการแปรค่ากระแสไบอัสจากภายนอก (I_0)

2.4.1 สมรรถนะทางความถี่ของวงจร

การวิเคราะห์สมรรถนะทางความถี่ของวงจร CFTA ทำได้โดยการวิเคราะห์ในกรณีสัญญาณขนาดเล็ก (small-signal circuit analysis) โดยใช้วงจรสมมูลแบบไฮบริดพาย (hybrid-pi model) [22] และกำหนดให้ทรานซิสเตอร์ที่ใช้ในวงจรทุกตัวสมพงษ์กันทุกประการ จะได้ฟังก์ชันถ่ายโอนกระแสระหว่างขั้ว z กับขั้ว f หรือ i_z/i_f มีค่าเท่ากับ

$$\frac{i_z}{i_f} \cong \frac{H_1 N_1(s)}{(1+b_1s)(1+b_2s)} \quad (2.19)$$

โดยที่

$$H_1 = \frac{g_{mn}(g_{mp} + g_{\pi p}) - g_{\pi p}(g_{mn} + 2g_{\pi n})}{(g_{mn} + 2g_{\pi n})(g_{mp} + 2g_{\pi p})}$$

$$N_1(s) = \left(1 + \frac{g_{mn}C_{\pi p} - g_{\pi p}(2C_{\pi n} + C_{\mu n} + C_{\mu p})}{g_{mn}(g_{mp} + g_{\pi p}) - g_{\pi p}(g_{mn} + 2g_{\pi n})} s \right)$$

$$a_1 = \frac{2C_{\pi n} + C_{\mu n} + C_{\mu p}}{g_{mn} + 2g_{\pi n}}$$

และ

$$a_2 = \frac{2C_{\pi p} + C_{\mu p} - C_{\mu n}}{g_{mp} + 2g_{\pi p}} \quad (2.20)$$

เมื่อ g_{mn} (g_{mp}) และ $g_{\pi n}$ ($g_{\pi p}$) คือ ค่าอัตราขยายค่าความนำ และค่าความนำระหว่างขาเบสกับขาอีมีตเตอร์ของทรานซิสเตอร์ชนิด npn (ชนิด pnp) ตามลำดับ และ $C_{\pi n}$ ($C_{\pi p}$) และ $C_{\mu n}$ ($C_{\mu p}$) คือ ค่าความจุไฟฟ้าระหว่างขาเบสกับขาอีมีตเตอร์ (base-emitter capacitance) และค่าความจุไฟฟ้าระหว่างขาเบสกับขาคอลเลกเตอร์ (base-collector capacitance) ของทรานซิสเตอร์ชนิด npn (ชนิด pnp) ตามลำดับ หากพิจารณาสมการ (2.20) พบว่าจะได้ค่าความถี่คัทออฟ (cutoff frequency) ทั้งสอง มีค่าเท่ากับ

$$f_{a1} = \frac{\omega_{b1}}{2\pi} = \frac{g_{mn} + 2g_{\pi n}}{2\pi(2C_{\pi n} + C_{\mu n} + C_{\mu p})} \quad (2.21)$$

เอกสารนี้เป็นเอกสารที่สงวนไว้สำหรับการใช้งานเพื่อการศึกษาเท่านั้น ไม่อนุญาตให้นำไปใช้ประโยชน์ด้านการค้า ไม่ว่าจะกรณีใดๆทั้งสิ้น อีกทั้งห้ามมิให้ดัดแปลงเนื้อหา และต้องอ้างอิงถึงเจ้าของเอกสารทุกครั้งที่มีการนำไปใช้

และ
$$f_{a2} = \frac{\omega_{b2}}{2\pi} = \frac{g_{mn} + 2g_{\pi n}}{2\pi(2C_{\pi n} + C_{\mu p} - C_{\mu n})} \quad (2.22)$$

โดยทั่วไปพบว่า $g_{mn}(g_{mp}) = g_m \gg g_{\pi n}(g_{\pi p}) = g_\pi$ และ $C_{\pi n}(C_{\pi p}) = C_\pi > C_{\mu n}(C_{\mu p}) = C_\mu$ ดังนั้นจากสมการ (2.21) และ (2.22) จะได้

$$f_{a1} \ll f_{a2} \quad (2.23)$$

ทำให้สามารถสรุปได้ว่า f_{a1} คือ ค่าความถี่ซึ่งเป็นขีดจำกัดของฟังก์ชันถ่ายโอนกระแสระหว่างขั้ว z กับขั้ว $f(i/i)$

สำหรับอัตราขยายค่าความนำของวงจรถอดเอาต์พุตมีค่าเท่ากับ

$$G_m = \frac{i_x}{v_z} \cong \frac{H_3 N_2(s)}{(1 + c_1 s)(1 + c_2 s)} \quad (2.24)$$

โดยที่

$$H_3 = g_{mn}$$

$$N_2(s) = \left(1 + \frac{2C_{\mu n}}{g_{mn} + 2g_{\pi n}} s \right)$$

$$b_1 = \frac{2(C_{\pi n} + 2C_{\mu n})}{g_{mn} + 2g_{\pi n}}$$

$$b_2 = \frac{2(C_{\pi p} + 2C_{\mu p})}{g_{mp} + 2g_{\pi p}} \quad (2.25)$$

และ

หากพิจารณาสมการ (2.25) พบว่าจะได้ค่าความถี่คutoffทั้งสอง มีค่าเท่ากับ

$$f_{b1} = \frac{\omega_{c1}}{2\pi} = \frac{g_{mn} + 2g_{\pi n}}{4\pi(C_{\pi n} + 2C_{\mu n})} \quad (2.26)$$

และ

$$f_{b2} = \frac{\omega_{c2}}{2\pi} = \frac{g_{mp} + 2g_{\pi p}}{4\pi(C_{\pi p} + 2C_{\mu p})} \quad (2.27)$$

เอกสารเช่นเดียวกัน จากสมการ (2.26) และ (2.27) จะได้ศึกษาเท่านั้น ไม่อนุญาตให้นำไปใช้ประโยชน์ด้านการค้า ไม่ว่าจะกรณีใดๆทั้งสิ้น อีกทั้งห้ามมิให้ดัดแปลงเนื้อหา และต้องอ้างอิงถึงเจ้าของเอกสารทุกครั้งที่มีการนำไปใช้

$$f_{b1} \gg f_{b2} \tag{2.28}$$

หรือนั่นคือ ตำแหน่งโพล f_{b2} เป็นขั้วจำกัดความถี่ของฟังก์ชันอัตราขยายค่าความนำ G_m

ดังนั้นเมื่อทำการเปรียบเทียบตำแหน่งความถี่ทั้งสอง คือ f_{a1} จากสมการ (2.23) และ f_{b2} จากสมการ (2.28) โดยอาศัยวิธีการประมาณค่าเช่นเดียวกัน ทำให้พบว่า

$$f_{b2} \ll f_{a1} \tag{2.29}$$

ดังนั้นจากสมการ (2.25) จึงสามารถสรุปได้ว่าตำแหน่งโพล f_{b2} คือ ตำแหน่งโพลโดมิแนนซ์ (dominant pole) ซึ่งเป็นขั้วจำกัดทางด้านความถี่ในการปฏิบัติงานสูงสุดของวงจร CFTA ที่นำเสนอในรูปแบบที่ 2.8

2.4.2 ค่าความคลาดเคลื่อนในการส่งผ่านกระแส

จากสมการ (2.19) จะเห็นว่า H_1 แทนถึงอัตราขยายกระแสและอัตราขยายค่าความนำของวงจร CFTA ที่นำเสนอ หากประมาณว่า $g_{mn} \gg g_{\pi n}$ และ $g_{mp} \gg g_{\pi p}$ จะได้ $H_1 = 1$ แต่ในทางปฏิบัติหากพารามิเตอร์ g_{mn} และ g_{mp} มีค่าไม่มากพอเมื่อเทียบกับค่า $g_{\pi n}$ และ $g_{\pi p}$ แล้ว ผลก็คือจะทำให้เกิดค่าความคลาดเคลื่อนในการส่งผ่านกระแสที่เกิดขึ้นในวงจร โดยที่คุณสมบัติในการส่งผ่านกระแสของวงจรผลต่างกระแสสามารถเขียนอธิบายได้ด้วยสมการรูปแบบทั่วไปดังนี้

$$\frac{i_z}{i_f} = \frac{1}{1 + \varepsilon_{if}} \tag{2.30}$$

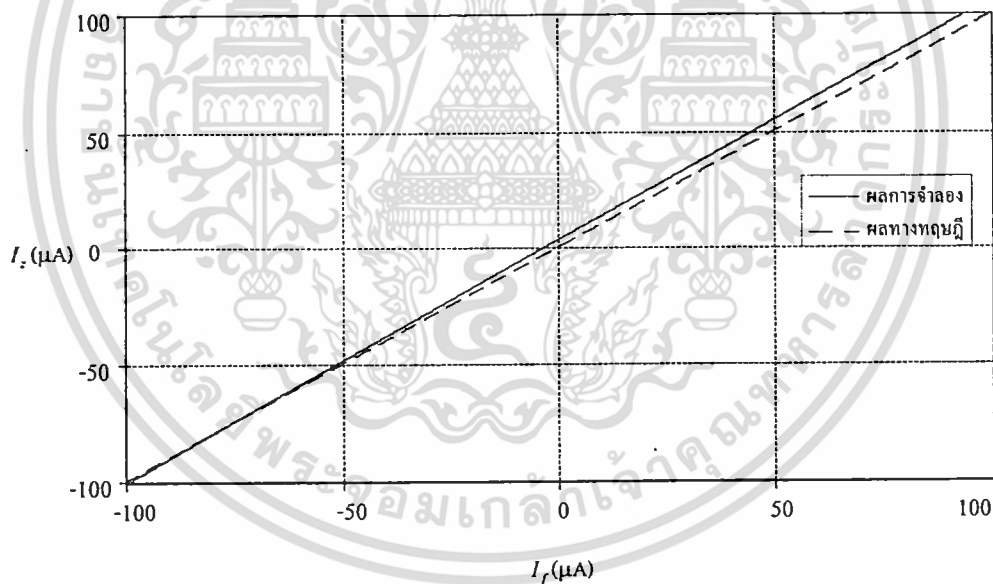
เมื่อ ε_{if} คือ ค่าความคลาดเคลื่อนในการส่งผ่านกระแสจากขั้ว f ไปยังขั้ว z ดังนั้นจากค่า H_1 ในสมการ (2.19) สามารถคำนวณหา ε_{if} ที่เกิดขึ้น มีค่าเท่ากับ

$$\varepsilon_{if} = \left\{ \frac{(g_{mn} + 2g_{\pi n})(g_{mp} + 2g_{\pi p}) + g_{\pi p}(g_{mn} + 2g_{\pi p}) - g_{mn}(g_{mp} + g_{\pi p})}{g_{mn}(g_{mp} + g_{\pi p}) - g_{\pi p}(g_{mn} + 2g_{\pi p})} \right\} \tag{2.31}$$

2.5 ผลการจำลองการทำงานของวงจร CFTA

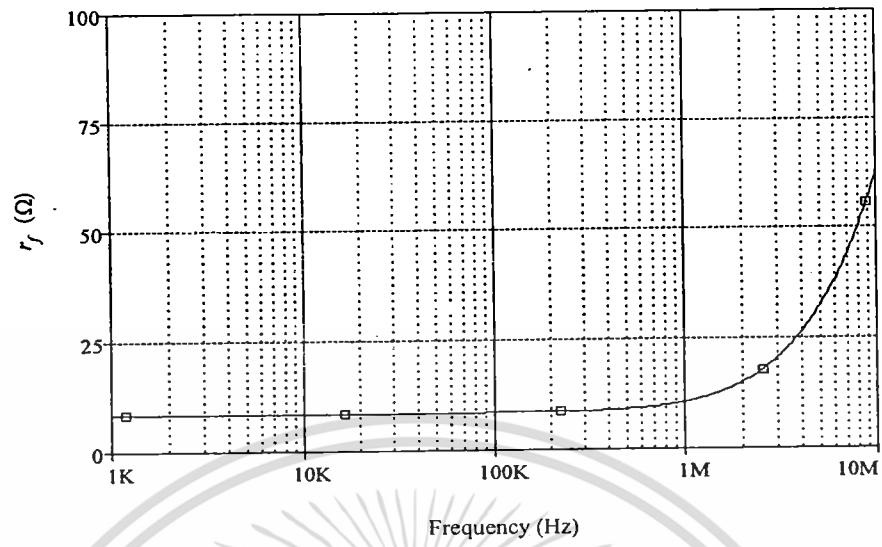
เนื่องจากโครงการวิจัยฉบับนี้มุ่งเน้นที่จะนำเสนอวงจรกรองสัญญาณโดยใช้เทคโนโลยีในการสังเคราะห์วงจร CFTA แบบไบโพลาร์ จึงได้เลือกตรวจสอบคุณสมบัติของวงจร CFTA แบบไบโพลาร์ที่นำเสนอในรูปแบบที่ 2.7 ด้วยโปรแกรม PSPICE โดยได้เลือกใช้เทคโนโลยีทรานซิสเตอร์แบบ ALA400 เบอร์ PR100N ชนิด PNP และเบอร์ NP100N ชนิด NPN จากบริษัท AT&T [21] เมื่อกำหนดให้แหล่งจ่ายไฟเลี้ยงที่ใช้มีค่าเท่ากับ $\pm 5V$, $I_B = 100 \mu A$, $I_O = 100 \mu A$ และ $R_Z = R_X = 1 k\Omega$ จากผลการจำลองผลตอบสนองต่อสัญญาณไฟตรงพบว่าวงจร CFTA ที่นำเสนอมีค่ากระแสออฟเซตสูงสุดเท่ากับ $6.76 \mu A$ และสิ้นเปลืองกำลังงานไฟฟ้าเท่ากับ $6.01 mW$

รูปที่ 2.8 แสดงผลการจำลองคุณสมบัติการส่งผ่านกระแสไฟตรงของขั้ว f ไปยังขั้ว z เปรียบเทียบกับค่าในอุดมคติพบว่าความคลาดเคลื่อนในการส่งผ่านกระแสสูงสุดของวงจรมีค่าประมาณ $6.76 \mu A$ รูปที่ 2.9(ก) แสดงผลการจำลองผลตอบสนองทางความถี่ของค่าความต้านทานอินพุตที่มองเข้าไปยังขั้ว f ซึ่งพบว่ามีค่าประมาณ $r_f \cong 9 \Omega$ และรูปที่ 2.9(ข) แสดงผลการจำลองผลตอบสนองทางความถี่ของค่าความต้านทานอินพุตที่มองเข้าไปยังขั้ว z และ x ซึ่งพบว่า $r_z \cong 506 k\Omega$ และ $r_x \cong 629 k\Omega$ ตามลำดับ

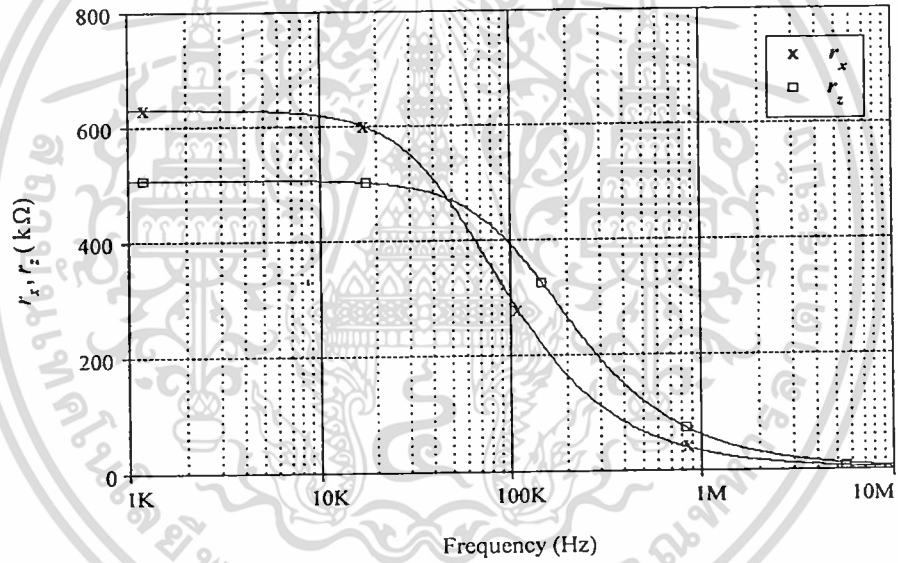


รูปที่ 2.8 ผลการจำลองคุณสมบัติในการส่งผ่านกระแสไฟตรง I_f ไปยัง I_z

รูปที่ 2.10 แสดงผลตอบสนองทางความถี่ของ i_z/i_f ซึ่งพบว่าความถี่คัทออฟ มีค่าประมาณ $f_c \cong 59 MHz$ ส่วนรูปที่ 2.11 นั้นแสดงผลตอบสนองทางความถี่ของ i_x/i_z เมื่อทำการแปรค่ากระแสไบอัส I_O เป็น $50 \mu A$, $100 \mu A$, $150 \mu A$ และ $200 \mu A$ ตามลำดับ ในกรณีนี้พบว่าอัตราการส่งผ่านกระแส i_x/i_z เพิ่มขึ้นตามการแปรค่าของกระแสไบอัส I_O โดยพบว่า f_c มีค่าประมาณ $24 MHz$, $40 MHz$, $51 MHz$ และ $57 MHz$ ตามลำดับ ซึ่งแสดงให้เห็นว่าวงจรที่นำเสนอสามารถปรับค่ากระแสเอาต์พุต i_x ได้โดยการแปรค่ากระแสไบอัส I_O สำหรับการใช้งานเพื่อการศึกษาเท่านั้น ไม่อนุญาตให้นำไปใช้ประโยชน์ด้านการค้า ไม่ว่าจะกรณีใดๆทั้งสิ้น อีกทั้งห้ามมิให้ดัดแปลงเนื้อหา และต้องอ้างอิงถึงเจ้าของเอกสารทุกครั้งที่มีการนำไปใช้



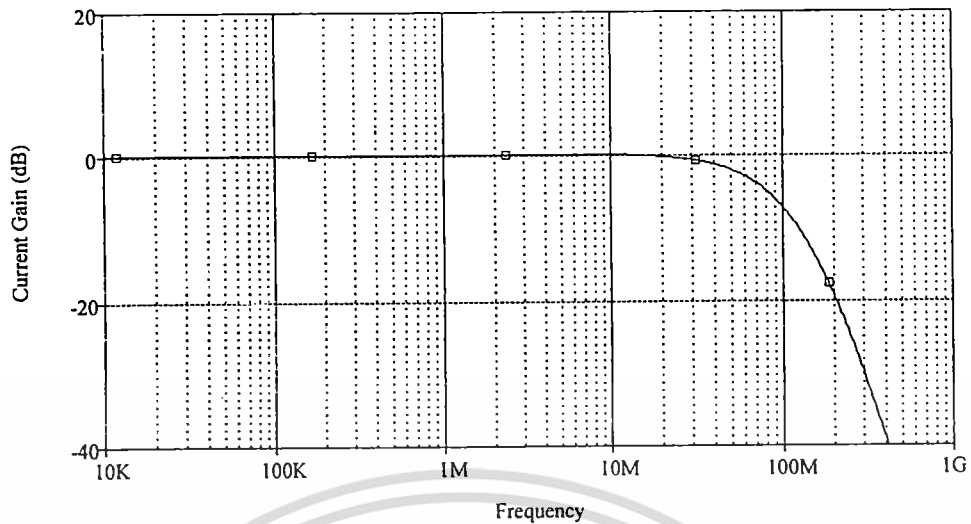
(ก)



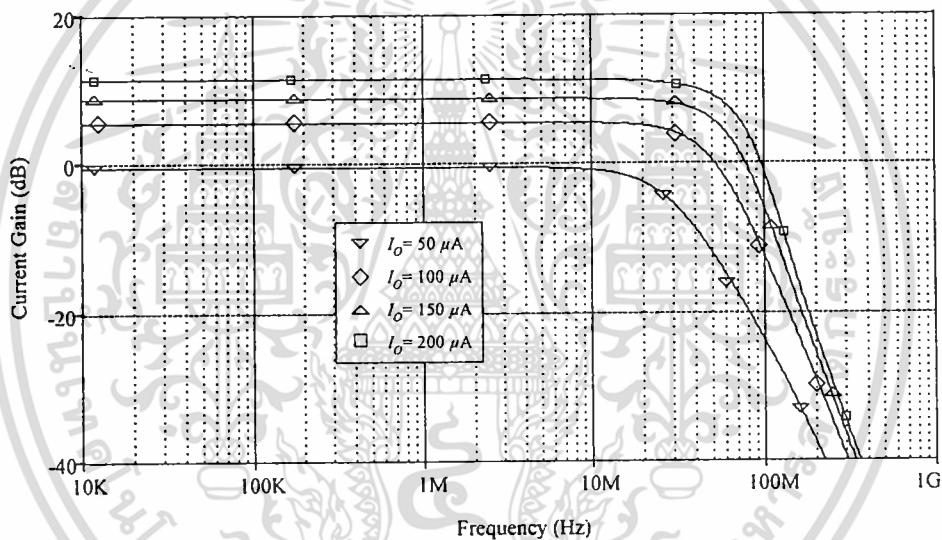
(ข)

รูปที่ 2.9 ผลการจำลองผลตอบสนองทางความถี่ของค่าความต้านทานอินพุตที่ขั้ว f, z และ x
 (ก) ขั้ว f (r_f) (ข) ขั้ว z (r_z) และ x (r_x)

เอกสารนี้เป็นเอกสารที่สงวนไว้สำหรับการใช้งานเพื่อการศึกษาเท่านั้น ไม่อนุญาตให้นำไปใช้ประโยชน์ด้านการค้า ไม่ว่ากรณีใดๆทั้งสิ้น อีกทั้งห้ามมิให้ดัดแปลงเนื้อหา และต้องอ้างอิงถึงเจ้าของเอกสารทุกครั้งที่มีการนำไปใช้



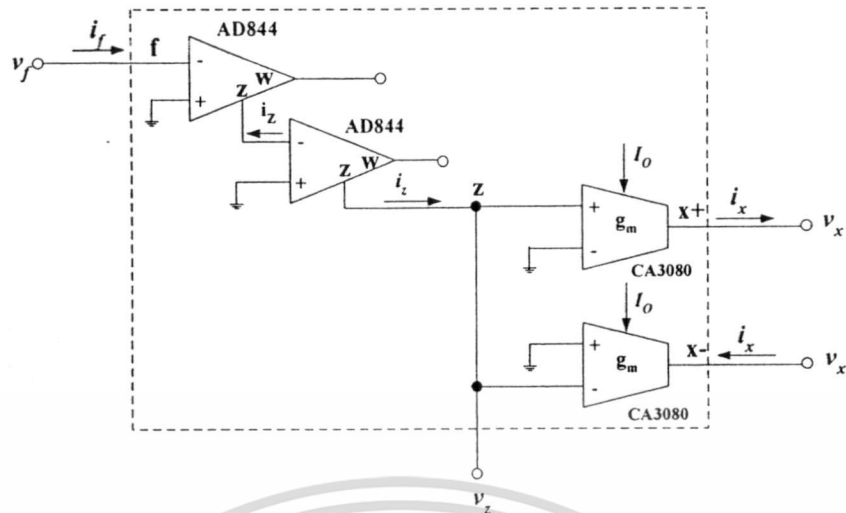
รูปที่ 2.10 ผลการจำลองผลตอบสนองทางความถี่ของ i_z / i_f



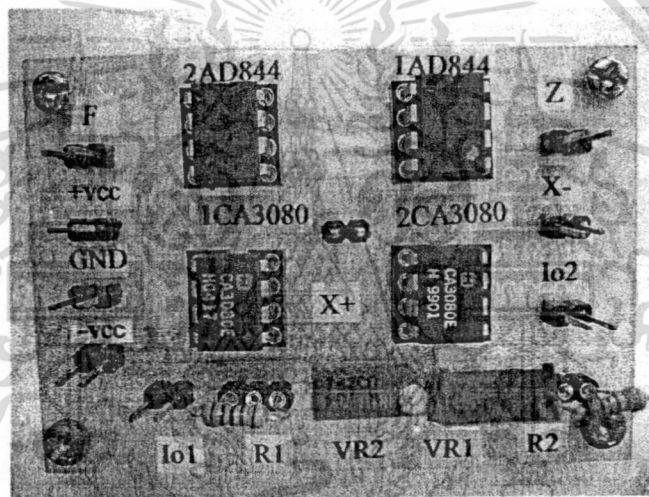
รูปที่ 2.11 ผลการจำลองผลตอบสนองทางความถี่ของ i_x / i_z เมื่อทำการแปรค่ากระแสไบอัส I_o

2.6 ผลการทดลองต่อวงจรจริง

เพื่อแสดงให้เห็นว่าวงจร CFTA ที่นำเสนอในรูปที่ 2.7 มีคุณสมบัติที่สอดคล้องกับทฤษฎีและการจำลองการทำงานโดยใช้โปรแกรม PSPICE ที่ได้นำเสนอมานั้น จึงได้ทำการต่อวงจรดังรูปที่ 2.12 และทดสอบการทำงานของวงจร CFTA โดยใช้ไอซีเบอร์ AD844 ต่อกับไอซีเบอร์ CA3080 ซึ่งภายในเป็นทรานซิสเตอร์ไบโพลาร์ เมื่อกำหนดให้แหล่งจ่ายไฟเลี้ยงมีค่าเท่ากับ $\pm 5 V$ $I_o = 100 \mu A$ และ $R_z = R_x = 1 k\Omega$ ซึ่งวงจรที่ทำการต่อทดลองจริง สามารถแสดงได้ดังรูปที่ 2.13



รูปที่ 2.12 รายละเอียดการต่อวงจร CFTA โดยใช้ไอซีเบอร์ AD844 คู่ร่วมกับ CA3080

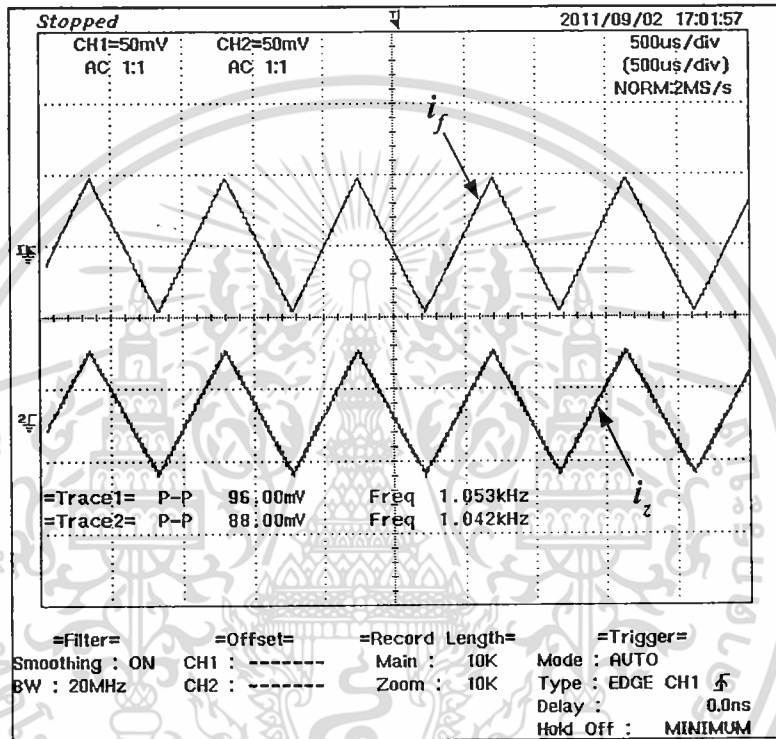


รูปที่ 2.13 ภาพถ่ายวงจร CFTA ที่ใช้ทำการต่อทดลองจริง

วิธีการสังเคราะห์วงจร CFTA โดยใช้ไอซีเบอร์ AD844 ทำหน้าที่เป็นภาครับสัญญาณอินพุตกระแสของวงจร และ ไอซีเบอร์ CA3080 มาทำหน้าที่เป็นภาคขยายค่าความนำของวงจร แสดงได้ดังรูปที่ 2.12 ซึ่งสามารถทำได้โดยต่อขั้วบวก ที่มีค่าความต้านทานอินพุตสูงของไอซี เบอร์ AD844 ทั้งสองตัวลงกราวด์เพื่อทำให้ค่าแรงดันที่ส่งไปยังขั้วลบมีค่าเท่ากับศูนย์ ส่งผลให้ค่าความต้านทานด้านอินพุตของวงจร CFTA มีค่าเท่ากับศูนย์หรือใกล้เคียงอุดมคติมากที่สุด ดังนั้นจึงใช้ขาลบของไอซีเบอร์ 1AD844 (ไอซีเบอร์ AD844 ตัวที่หนึ่ง) ทำหน้าที่เป็นภาครับสัญญาณอินพุตกระแสของวงจร แล้วส่งกระแสที่ขั้ว z ไปยังไอซีเบอร์ 2AD844 (ไอซีเบอร์ AD844 ตัวที่สอง) เพื่อทำหน้าที่กลับทิศทางกระแสที่ขั้ว z ในส่วนของกระแสที่ขั้ว z ของไอซีเบอร์ 2AD844 จะถูกส่งไปยังส่วนภาคขยายความนำ โดยขึ้นอยู่กับค่าไบอัสของไอซีเบอร์ CA3080 ซึ่งจะได้สัญญาณเอาต์พุตที่สามารถต่อใช้งานได้โดยตรง

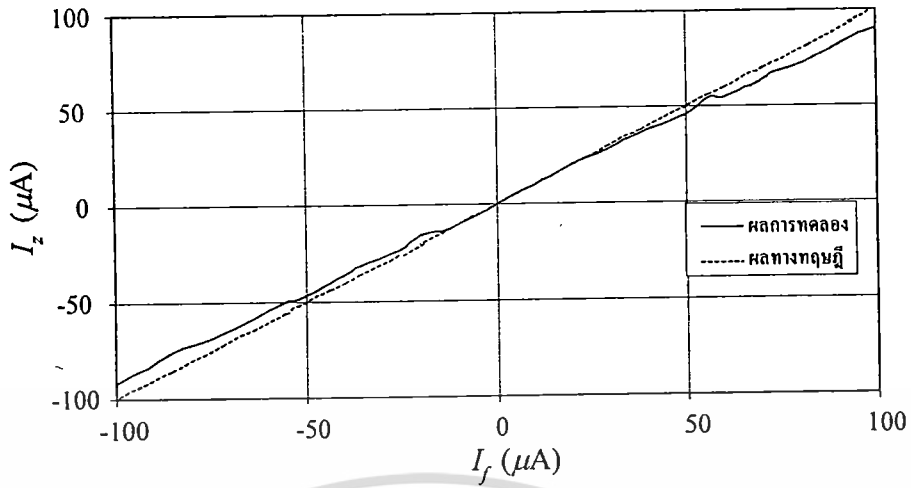
เอกสารนี้เป็นเอกสารที่สงวนไว้สำหรับการใช้งานเพื่อการศึกษาเท่านั้น ไม่อนุญาตให้นำไปใช้ประโยชน์ด้านการค้า ไม่ว่ากรณีใดๆทั้งสิ้น อีกทั้งห้ามมิให้ดัดแปลงเนื้อหา และต้องอ้างอิงถึงเจ้าของเอกสารทุกครั้งที่มีการนำไปใช้

เพื่อทดสอบคุณสมบัติในการส่งผ่านกระแสในที่นี้ได้ทำการป้อนแรงดันอินพุตสามเหลี่ยมขนาด 100 mV มีความถี่ 1 kHz ผ่านตัวต้านทานขนาด 1 k Ω เข้าที่ขั้วอินพุต f เพื่อเปลี่ยนแรงดันให้เป็นกระแสจ่ายเข้าอินพุตของวงจร CFTA ที่ต่อทดลองจริง โดยมีตัวต้านทานต่อที่ขั้วเอาต์พุตขั้ว z มีค่าเท่ากับ 1k Ω รูปที่ 2.14 แสดงคุณสมบัติในการส่งผ่านกระแส i_z / i_f จะเห็นได้ว่าทิศทางของสัญญาณที่ขั้ว f และขั้ว z มีทิศทางเดียวกัน สอดคล้องตามหลักการที่ได้มีการนำเสนอทางทฤษฎี และจากผลการทดลองจะพบว่าค่าความคลาดเคลื่อนในการส่งผ่านกระแสมีค่าประมาณ 8 %

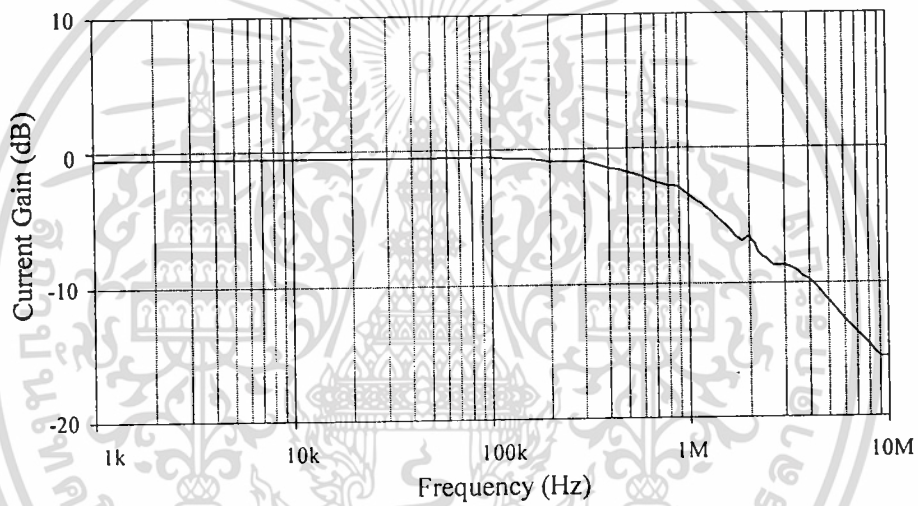


รูปที่ 2.14 ผลการทดลองคุณสมบัติในการส่งผ่านกระแสไฟสลับ i_f ไปยัง i_z

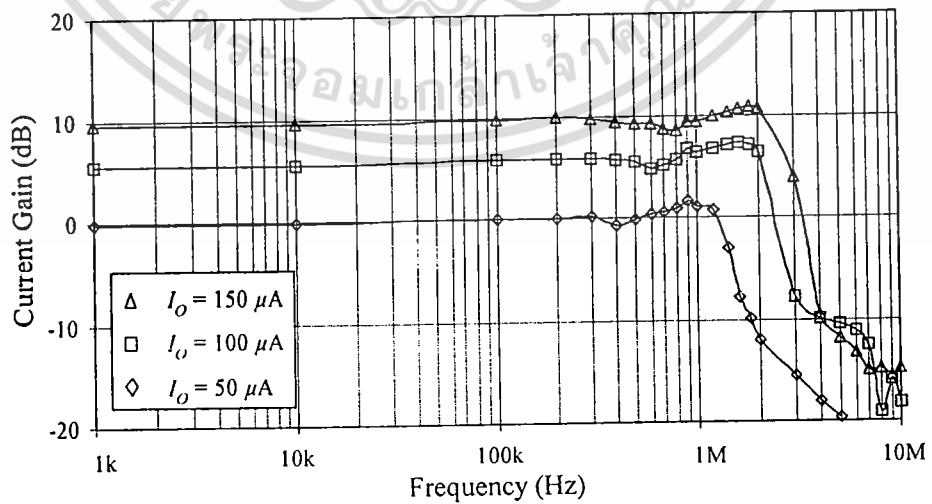
รูปที่ 2.15 แสดงผลการทดสอบคุณสมบัติการส่งผ่านกระแสไฟตรงของขั้ว f ไปยังขั้ว z เปรียบเทียบกับค่าในอุดมคติพบว่าค่าความคลาดเคลื่อนในการส่งผ่านกระแสสูงสุดของวงจรมีค่าประมาณ 10 μ A รูปที่ 2.16 แสดงสมรรถนะทางความถี่ของวงจรที่ทำการต่อทดลองจริงของ i_z / i_f ซึ่งพบว่าความถี่คัทออฟ มีค่าประมาณ $f_c \cong 1$ MHz ส่วนรูปที่ 2.17 นั้นแสดงสมรรถนะทางความถี่ของวงจรของ i_x / i_z เมื่อทำการแปรค่ากระแสไบอัส I_o เป็น 50 μ A, 100 μ A และ 150 μ A ตามลำดับ ในกรณีนี้พบว่าอัตราการส่งผ่านกระแส i_x / i_z เพิ่มขึ้นตามการแปรค่าของกระแสไบอัส I_o โดยมีค่า f_c ประมาณ 1.4 MHz, 2.2 MHz และ 2.6 MHz ตามลำดับ ซึ่งแสดงให้เห็นว่าวงจรที่นำเสนอสามารถปรับค่ากระแสเอาต์พุต i_x ได้ โดยการแปรค่ากระแสไบอัส I_o



รูปที่ 2.15 ผลการทดลองคุณสมบัติในการส่งผ่านกระแสไฟตรง I_f ไปยัง I_z



รูปที่ 2.16 ผลการทดลองผลตอบสนองทางความถี่ของ i_z/i_f



รูปที่ 2.17 ผลการทดลองผลตอบสนองทางความถี่ของ i_x/i_z เมื่อทำการแปรค่ากระแสไบอัส I_O

เอกสารนี้เป็นเอกสารที่สงวนไว้สำหรับการใช้งานเพื่อการศึกษาเท่านั้น ไม่อนุญาตให้นำไปใช้ประโยชน์ด้านการค้า ไม่ว่าจะกรณีใดๆทั้งสิ้น อีกทั้งห้ามมิให้ดัดแปลงเนื้อหา และต้องอ้างอิงถึงเจ้าของเอกสารทุกครั้งที่มีการนำไปใช้

2.7 สรุป

บทนี้ได้นำเสนอการสังเคราะห์และออกแบบวงจร CFTA ภายใต้พื้นฐานวงจรรวมโดยใช้ทรานซิสเตอร์ไบโพลาร์เป็นอุปกรณ์หลัก ซึ่งวงจรภายในประกอบด้วยวงจรหลักสองวงจร คือ วงจรตามกระแสและวงจรขยายค่าความนำ ซึ่งมีข้อดีคือ ใช้จำนวนอุปกรณ์น้อย มีความเป็นเชิงเส้น และมีความเหมาะสมในการนำไปสังเคราะห์เป็นวงจรรวม จากผลการจำลองการทำงานของวงจรโดยใช้โปรแกรม PSPICE และผลการทดลองที่ได้จากการต่อวงจรทดลองจริงนั้นแสดงให้เห็นว่าคุณสมบัติของวงจรมันสอดคล้องเป็นไปตามหลักการทางทฤษฎีที่ได้นำเสนอ

2.8 เอกสารอ้างอิงบทที่ 2

- [1] M. Bhusan and R.W. Newcomb, "Grounding of capacitors in integrated circuits", **Electronics Letters**, vol.3, pp.148-149, 1967.
- [2] K. Pal and R. Singh, "Inductorless current conveyor allpass filter using grounded capacitors", **Electronics Letters**, vol.18, p.47, 1982.
- [3] N. Herencsar, J. Koton, K. Vrba, and I. Lattenberg, "Current follower transconductance amplifier (CFTA) - a useful building block for analog signal processing", **Journal of Active and Passive Electronic Devices**, vol.6, no. 3-4, pp. 217-229, 2011.
- [4] N. Herencsar, J. Koton, K. Vrba, and I. Lattenberg, "Voltage-Controlled Current-Mode Multifunction Filter Employing CFTAs and PCAs", **Journal of Active and Passive Electronic Devices**, accepted in 2008, to be published. ISSN: 1555-0281.
- [5] N. Herencsar, K. Vrba, and J. Koton, "A novel current-mode KHN-equivalent biquad using three CFTAs", **Journal of Active and Passive Electronic Devices**, accepted in 2008, to be published. ISSN: 1555-0281.
- [6] N. Herencsar, J. Koton, K. Vrba and J. Misurec, "A novel current-mode SIMO type universal filter using CFTAs", **Journal of Contemporary Engineering, Sciences**, vol.2, no.2, pp.59-66, 2009.
- [7] R. Sotner, J. Petrzela and J. Slezak, "Current mode tunable KHN filter based on controlled MO-CFTAs", **Proceedings of the 3rd International Conference on Signals, Circuits and Systems (SCS)**, Djerba, Tunisia, pp. 1-4, 2009.
- [8] N. Herencsar, "Generalized design method for voltage-controlled current-mode multifunction filters", **Journal of Telecommunications Forum**, vol.1, no.2, pp.49-52, 2009.

เอกสารนี้เป็นเอกสารที่สงวนไว้สำหรับการใช้งานเพื่อการศึกษาเท่านั้น ไม่อนุญาตให้นำไปใช้ประโยชน์ด้านการค้าไม่ว่ากรณีใดๆทั้งสิ้น อีกทั้งห้ามมิให้ดัดแปลงเนื้อหา และต้องอ้างอิงถึงเจ้าของเอกสารทุกครั้งที่มีการนำไปใช้

- [9] N. Herencsar, J. Koton, and K. Vrba, "Electronically tunable phase shifter employing current-controlled current follower transconductance amplifiers (CCCFTAs)", **Proceedings of the 32nd International Conference on Telecommunications and Signal Processing (TSP)**, Dunakiliti, Hungary, pp. 54-57, 2009.
- [10] N. Herencsar, J. Koton, and K. Vrba, "A modified CFTA (MCFTA) and its application to SITO-type current-mode universal active-C filter", **Journal of Active and Passive Electronic Devices**, pp.1-9, 2012.
- [11] N. Herencsar, J. Koton, K. Vrba, A. Lahiri, and O. Cicekoglu, "Current-controlled CFTA-based current-mode SITO universal filter and quadrature oscillator", **Proceedings of the International Conference on Applied Electronics (APPEL)**, Pilsen, Czech Republic, pp.121-124, 2010.
- [12] N. Herencsar, J. Koton and K. Vrba, "CFTA-based active-C grounded positive inductance simulator and its application", **Journal of Electrotechnics Magazine**, vol.1, no.1, pp. 24-27, 2010.
- [13] N. Herencsar, J. Koton, K. Vrba and A. Lahiri, "Floating simulators based on current follower transconductance amplifiers (CFTAs)", **Proceedings of the European Conference of Circuits Technology and Devices (ECCTD)**, Tenerife, Spain, pp.23-26, 2010.
- [14] N. Herencsar, J. Koton, K. Vrba, and A. Lahiri, "Novel mixed-mode KHN-equivalent filter using Z-copy CFTAs and grounded capacitors", **Proceedings of the 4th International Conference on Circuits, Systems and Signals (CSS)**, Corfu Island, Greece, pp.87-90, 2010.
- [15] N. Herencsar, J. Koton, and K. Vrba, "Realization of current-mode KHN-equivalent biquad using current follower transconductance amplifiers (CFTAs)", **Journal of The Institute of Electronics, Information and Communication Engineers (IEICE), Fundamentals of Electronics, Communications and Computer Sciences**, vol.E93-A, no.10, pp.1816-1819, 2010.
- [16] A. Lahiri, "Resistor-less mixed-mode quadrature sinusoidal oscillator", **International Journal of Computer and Electrical Engineering**, vol.2, no.1, pp.63-66, 2010.
- [17] N. Herencsar, J. Koton, K. Vrba, and O. Cicekoglu, "New active-C grounded positive inductance simulator based on CFTAs", **Proceedings of the 33rd International Conference on Telecommunications and Signal Processing (TSP)**, Baden, Austria, pp.35-37, 2010.

- [18] N. Herencsar, "Novel Active Function Blocks and Their Applications in Frequency Filter and Quadrature Oscillators.", Doctoral Thesis, Department of Telecommunications, Faculty of Electrical Engineering and Communication, Brno University of Technology, Czech Republic, 2010.
- [19] W. Tangsirrat, "Novel current-mode and voltage-mode universal biquad filters using single CFTA", *Indian Journal of Engineering & Materials Sciences*, vol.17, pp.99-104, 2010.
- [20] W. Tangsirrat, "Single-input three-output electronically tunable universal current-mode filter using current follower transconductance amplifiers", *International Journal of Electronics and Communications (AEU)*, vol.65, Issue.10, pp.783-787, 2011
- [21] D. R. Frey, "Log-domain filtering : an approach to current-mode filtering", *IEE Proceeding-Circuits Devices and Systems*, vol.140, pp.406-416, 1993.
- [22] P.R. Gray, and R.G. Meyer, "Analysis and design of analog integrated circuits", *Third Edition*. John Wiley & Sons, Inc, 1993.

บทที่ 3

วงจรกรองสัญญาณอนกประสงค์แบบหนึ่งอินพุต ตามเอาต์พุตที่ปรับค่าได้ด้วย วิธีการทางอิเล็กทรอนิกส์โดยใช้วงจร CFTA และตัวเก็บประจุเทียบกราวด์

3.1 กล่าวนำ

ในช่วงสองทศวรรษที่ผ่านมา พบว่าแนวทางการออกแบบและสังเคราะห์วงจรประมวลผลสัญญาณแอนะล็อก (analog signal processing circuit) โดยเฉพาะอย่างยิ่ง วงจรกรองสัญญาณ (filter) และวงจรออสซิลเลเตอร์ (oscillator) ให้มีโครงสร้างวงจรประกอบเพียงอุปกรณ์แอคทีฟต่อร่วมกับอุปกรณ์พาสซีฟที่เป็นตัวเก็บประจุแบบเทียบกราวด์ (grounded capacitor) ปราศจากการใช้ตัวต้านทานพาสซีฟภายนอก และให้สามารถควบคุมคุณสมบัติการทำงานของวงจรปรับค่าได้ด้วยวิธีการทางอิเล็กทรอนิกส์นั้น เป็นอีกแนวทางหนึ่งที่มีความนิยมอย่างสูงและมีการคิดค้นพัฒนาอย่างต่อเนื่องมาจนถึงปัจจุบัน ดังจะเห็นได้จากผลงานวิจัยระดับนานาชาติที่ตีพิมพ์เกี่ยวกับประเด็นดังกล่าวเป็นจำนวนมาก

นับจาก D. Biolek ได้ออกแบบและนำเสนออุปกรณ์แอคทีฟแนวใหม่ชื่อว่า วงจร CDTA ขึ้นเป็นครั้งแรกในปี ค.ศ. 2003 [1] ทำให้อุปกรณ์แอคทีฟดังกล่าวเป็นที่ยอมรับและถูกนำไปประยุกต์ใช้ในการออกแบบวงจรประมวลผลสัญญาณแอนะล็อกต่างๆ เป็นจำนวนมาก [1]-[10] แต่อย่างไรก็ตาม โครงสร้างวงจรที่นำเสนอขึ้นใน [6]-[10] นั้น ไม่ได้ใช้คุณสมบัติการทำงานของวงจร CDTA อย่างเต็มรูปแบบ เนื่องจากขั้วอินพุต p หรือ n ของวงจร CDTA ถูกต่อใช้งานเพียงขั้วใดขั้วหนึ่งเท่านั้น ซึ่งเป็นสาเหตุสำคัญที่ทำให้เกิดสัญญาณรบกวนขึ้นในวงจรที่ได้ออกแบบ [11] นอกจากนี้คุณสมบัติผลต่างกระแสทางดักอินพุตของวงจร CDTA ยังสามารถกระทำได้โดยอาศัยการป้อนกลับกระแสเป็นลบผ่านทางขั้วเอาต์พุต - x อีกด้วย ซึ่งหมายความว่าขั้วอินพุต n นั้นไม่จำเป็นต้องต่อใช้ในวงจรประยุกต์ใช้งานบางวงจร จากเหตุผลดังกล่าวจึงทำให้ N. Herencsar และคณะ ทำการปรับปรุงวงจร CDTA และตั้งชื่ออุปกรณ์แอคทีฟที่ได้พัฒนาขึ้นใหม่ว่า วงจร CFTA [12] หลังจากนั้นเป็นต้นมาจึงพบว่าในปัจจุบันได้มีนักวิจัยให้ความสนใจนำวงจร CDTA และวงจร CFTA ไปคิดค้นพัฒนาออกแบบวงจรประมวลผลสัญญาณแอนะล็อก โดยเฉพาะวงจรกรองสัญญาณโหมคกระแสกันอย่างแพร่หลายและนำเสนอขึ้นอย่างต่อเนื่อง [1], [3]-[9], [12] แต่อย่างไรก็ตามพบว่าวงจรกรองสัญญาณที่ได้มีการออกแบบพัฒนาและนำเสนอขึ้นก่อนหน้านี้นี้ยังคงมีข้อด้อยดังต่อไปนี้

- ก) ไม่สามารถปรับค่าความถี่เชิงมุมธรรมชาติ (natural angular frequency, ω_0) และค่าตัวประกอบคุณภาพ (quality factor, Q) ของวงจรได้อย่างอิสระ [3]-[5], [7]-[9], [12].
- ข) ไม่สามารถสังเคราะห์ฟังก์ชันกรองสัญญาณไปควอดราติกมาตรฐานซึ่งประกอบด้วย ฟังก์ชันกรองผ่านความถี่ต่ำ (lowpass, LP) ฟังก์ชันกรองผ่านแถบความถี่ (bandpass, BP) ฟังก์ชัน

กรองผ่านความถี่สูง (highpass, HP) ฟังก์ชันตัดแถบความถี่ (bandstop, BS) และฟังก์ชันกรองผ่านทุกความถี่ (allpass, AP) ได้พร้อมกัน [1], [4], [6]-[8]

- ค) จำเป็นต้องใช้ตัวต้านทานพาสซีฟจากภายนอกในการสังเคราะห์วงจร [1], [4], [6], [8], [9], [12]
- ง) ใช้อุปกรณ์พาสซีฟที่ต่อแบบลอยตัว (floating) ในการสังเคราะห์วงจร ซึ่งไม่เหมาะสมกับรูปแบบการออกแบบวงจรรวม [1], [4], [8]
- จ) คุณสมบัติอิมพีแดนซ์ทางขั้วอินพุตมีค่าไม่ต่ำ และอิมพีแดนซ์ทางขั้วเอาต์พุตมีค่าไม่สูง [3], [4], [7]-[9] ซึ่งไม่สอดคล้องกับคุณสมบัติที่ดีของวงจรที่ทำงานในโหมดกระแส ทำให้ไม่สามารถนำวงจรดังกล่าวไปต่อкасцепกับวงจรอื่นได้โดยตรง

ดังนั้นในงานวิจัยบทนี้จึงได้นำเสนอการออกแบบวงจรกรองสัญญาณโหมดกระแสแบบหนึ่งขั้วอินพุต สามขั้วเอาต์พุตที่สามารถปรับค่าได้ด้วยวิธีการทางอิเล็กทรอนิกส์ โดยคุณสมบัติของวงจรสามารถจัดคุณสมบัติด้วยทั้งห้าประการที่ได้กล่าวมาข้างต้นได้ในเวลาเดียวกัน โครงสร้างวงจรกรองสัญญาณที่ได้นำเสนอขึ้นในบทนี้ ประกอบด้วยวงจร CFTA จำนวนสี่ตัวต่อทำงานร่วมกับตัวเก็บประจุเทียบกราวด์จำนวนสองตัว ปราศจากการใช้ตัวต้านทานพาสซีฟจากภายนอก โดยสามารถสังเคราะห์ฟังก์ชันกรองสัญญาณไปควอดราติกได้ครบทั้งห้ารูปแบบโดยไม่ต้องเปลี่ยนแปลงรูปแบบของวงจรและเงื่อนไขค่าเท่ากันของอุปกรณ์ในวงจร (component-matching conditions) แต่อย่างไรก็ตาม คุณสมบัติประจำตัววงจรที่สำคัญ คือ ω_c และ Q สามารถควบคุมได้อย่างอิสระผ่านการควบคุมกระแสไบอัสของวงจร CFTA โดยไม่ส่งผลกระทบต่อกัน นอกจากนี้อิมพีแดนซ์ทางขั้วอินพุตของวงจรยังมีค่าต่ำมาก ในขณะที่อิมพีแดนซ์ทางขั้วเอาต์พุตทุกขั้วของวงจรมีค่าสูงมากอีกด้วย

3.2 วงจรกรองสัญญาณโหมดกระแสที่นำเสนอ

รูปที่ 3.1 แสดงวงจรกรองสัญญาณไปควอดราติกโหมดกระแสแบบหนึ่งขั้วอินพุต สามขั้วเอาต์พุตที่นำเสนอ ซึ่งประกอบด้วยวงจร CFTA จำนวนสี่ตัวและตัวเก็บประจุเทียบกราวด์จำนวนสองตัวเท่านั้น ดังนั้นจึงกล่าวได้ว่าโครงสร้างของวงจรที่นำเสนอมีความเหมาะสมอย่างมากกับแนวทางการออกแบบในรูปของวงจรรวม [13]-[14] เมื่อทำการวิเคราะห์สังเคราะห์วงจรกรองสัญญาณในรูปที่ 3.1 โดยอาศัยคุณสมบัติของวงจร CFTA ดังสมการ (2.1) จะได้กระแสเอาต์พุต I_{o2} และ I_{o3} ของวงจร ดังนี้

$$I_{o2}(s) = I_{BP}(s) = -\frac{\left(\frac{sC_2g_{m3}}{g_{m1}g_{m2}}\right)I_{in}(s)}{D(s)} \quad (3.1)$$

และ

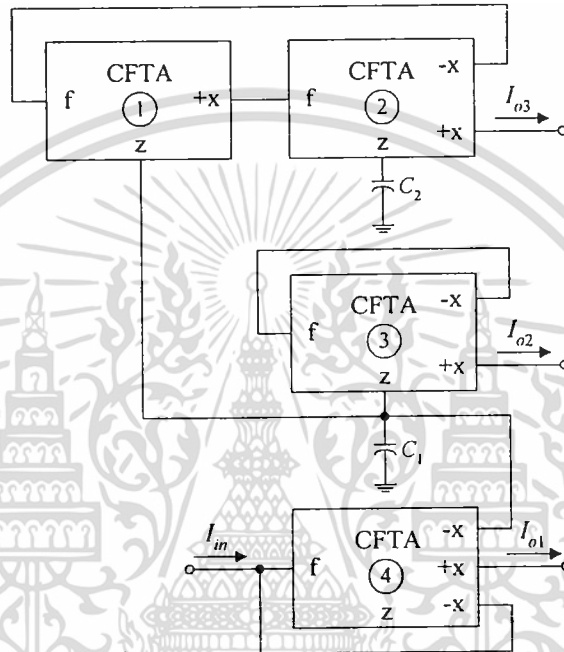
$$I_{o3}(s) = I_{LP}(s) = -\frac{I_{in}(s)}{D(s)} \quad (3.2)$$

เอกสารนี้เป็นเอกสารที่สงวนไว้สำหรับการใช้งานเพื่อการศึกษาเท่านั้น ไม่อนุญาตให้นำไปใช้ประโยชน์ด้านการค้าไม่ว่ากรณีใดๆทั้งสิ้น อีกทั้งห้ามมิให้ตัดแปลงเนื้อหา และต้องอ้างอิงถึงเจ้าของเอกสารทุกครั้งที่มีการนำไปใช้

โดยที่

$$D(s) = \left(\frac{s^2 C_1 C_2}{g_{m1} g_{m2}} \right) + \left(\frac{s C_2 g_{m3}}{g_{m1} g_{m2}} \right) + 1 \quad (3.3)$$

และ $g_{mi} (= I_{oi}/2V_T)$ และ I_{oi} คือ อัตราขยายค่าความนำ g_m และกระแสไบอัส I_o ของวงจร CFTA ตัวที่ i ($i = 1, 2, 3, 4$) ตามลำดับ



รูปที่ 3.1 วงจรกรองสัญญาณ ไบควอดราติก โหมดกระแสที่นำเสนอ

สมการ (3.1) ถึง (3.3) แสดงให้เห็นว่าวงจรกรองสัญญาณในรูปที่ 3.1 นั้น สามารถสังเคราะห์ที่กระแสเอาต์พุตในรูปของฟังก์ชันแบบ BP (I_{BP}) ได้จาก I_{o2} แลฟังก์ชันแบบ LP (I_{LP}) ได้จาก I_{o3} นอกจากนี้ยังพบว่าหากเลือกใช้ขั้วเอาต์พุตของวงจรอย่างเหมาะสมแล้ว วงจรที่นำเสนอยังสามารถสังเคราะห์ที่กระแสเอาต์พุตในรูปของฟังก์ชันแบบ HP (I_{HP}) แบบ BS (I_{BS}) และแบบ AP (I_{AP}) ได้ดังความสัมพันธ์ต่อไปนี้

$$I_{HP}(s) = I_{o1}(s) + I_{o2}(s) + I_{o3}(s) = \frac{\left(\frac{s^2 C_1 C_2}{g_{m1} g_{m2}} \right) I_{in}(s)}{D(s)} \quad (3.4)$$

เอกสารนี้เป็นเอกสารที่สงวนไว้สำหรับการใช้งานเพื่อการศึกษาเท่านั้น ไม่อนุญาตให้นำไปใช้ประโยชน์ด้านการค้า ไม่ว่าจะกรณีใดๆทั้งสิ้น อีกทั้งห้ามมิให้ดัดแปลงเนื้อหา และต้องอ้างอิงถึงเจ้าของเอกสารทุกครั้งที่มีการนำไปใช้

$$I_{BS}(s) = I_{o1}(s) + I_{o2}(s) = \frac{\left[\left(\frac{s^2 C_1 C_2}{g_{m1} g_{m2}} \right) + 1 \right] I_{in}(s)}{D(s)} \quad (3.5)$$

และ

$$I_{AP}(s) = I_{o2}(s) + I_{BS}(s) = \frac{\left[\left(\frac{s^2 C_1 C_2}{g_{m1} g_{m2}} \right) - \left(\frac{s C_2 g_{m3}}{g_{m1} g_{m2}} \right) + 1 \right] I_{in}(s)}{D(s)} \quad (3.6)$$

โดยที่คุณสมบัติ ω_o และ Q ของวงจร มีค่าเท่ากับ

$$\omega_o = \sqrt{\frac{g_{m1} g_{m2}}{C_1 C_2}} \quad (3.7)$$

และ

$$Q = \frac{1}{g_{m3}} \sqrt{\frac{g_{m1} g_{m2} C_1}{C_2}} \quad (3.8)$$

นอกจากนี้หากทำการแทนค่า g_{mi} จากสมการ (2.18) ลงในสมการ (3.7) และ (3.8) โดยการกำหนดให้ $I_{o1} = I_{o2} = I_o$ และ $C_1 = C_2 = C$ จะทำให้สมการ (3.7) และ (3.8) เขียนได้ใหม่กลายเป็น

$$\omega_o = \frac{I_o}{2V_T C} \quad (3.9)$$

และ

$$Q = \frac{I_o}{I_{o3}} \quad (3.10)$$

สมการ (3.9) แสดงให้เห็นว่าค่าของ ω_o นั้น สามารถควบคุมได้อย่างเป็นเชิงเส้นด้วยวิธีการทางอิเล็กทรอนิกส์โดยการแปรค่ากระแสไบอัส I_o ในขณะที่สมการ (3.10) แสดงให้เห็นว่าค่า Q ของวงจรมานั้น สามารถแปรค่าได้โดยไม่ส่งผลกระทบต่อค่าของ ω_o โดยการปรับค่ากระแสไบอัส I_{o3} และสามารถแปรค่าให้สูงขึ้นได้ด้วยการควบคุมอัตราส่วนระหว่าง I_o กับ I_{o3} ให้เหมาะสม อีกทั้งค่า Q ของวงจรมีคุณสมบัติที่ไม่ขึ้นกับอุณหภูมิรอบข้างอีกด้วย (temperature insensitive)

3.3 ค่าความไวของวงจร

เมื่อพิจารณาถึงคุณสมบัติในการทำงานที่ไม่เป็นอุดมคติของวงจร CFTA ดังความสัมพันธ์ที่อธิบายในสมการ (2.2) แล้ว จะทำให้คุณสมบัติ ω_o และ Q ของวงจร เปลี่ยนแปลงเป็น

$$\omega_o = \sqrt{\frac{\beta_1 \beta_2 g_{m1} g_{m2}}{C_1 C_2}} \quad (3.11)$$

และ

$$Q = \left(\frac{1}{\alpha_3 \beta_3 g_{m3}} \right) \sqrt{\frac{\beta_1 \beta_2 g_{m1} g_{m2} C_1}{C_2}} \quad (3.12)$$

จากสมการ (3.11) และ (3.12) สังเกตได้ว่าคุณสมบัติ ω_o และ Q ของวงจร มีค่าเปลี่ยนแปลงไปเนื่องจากผลกระทบของคุณสมบัติในการทำงานที่ไม่เป็นอุดมคติของวงจร CFTA แต่อย่างไรก็ตามเราสามารถลดผลกระทบของค่าผิดพลาดเล็กน้อยที่เกิดขึ้นนี้ได้โดยการปรับค่ากระแสไบอัส I_{O1} ของวงจร CFTA ขดเซยเข้าไป

และจากสมการ (3.11) และ (3.12) เมื่อทำการวิเคราะห์หาค่าความไวของ ω_o และ Q ของวงจรต่อการแปรค่าอุปกรณ์แอกทีฟและพาสซีฟที่เกิดขึ้นในวงจรแล้ว พบว่ามีค่าเท่ากับ

$$S_{\beta_1}^{\omega_o} = S_{\beta_2}^{\omega_o} = S_{g_{m1}}^{\omega_o} = S_{g_{m2}}^{\omega_o} = \frac{1}{2} \quad (3.13)$$

$$S_{C_1}^{\omega_o} = S_{C_2}^{\omega_o} = -\frac{1}{2} \quad (3.14)$$

$$S_{\alpha_3}^Q = S_{\beta_3}^Q = S_{g_{m3}}^Q = -1 \quad (3.15)$$

$$S_{\beta_1}^Q = S_{\beta_2}^Q = S_{g_{m1}}^Q = S_{g_{m2}}^Q = \frac{1}{2} \quad (3.16)$$

และ

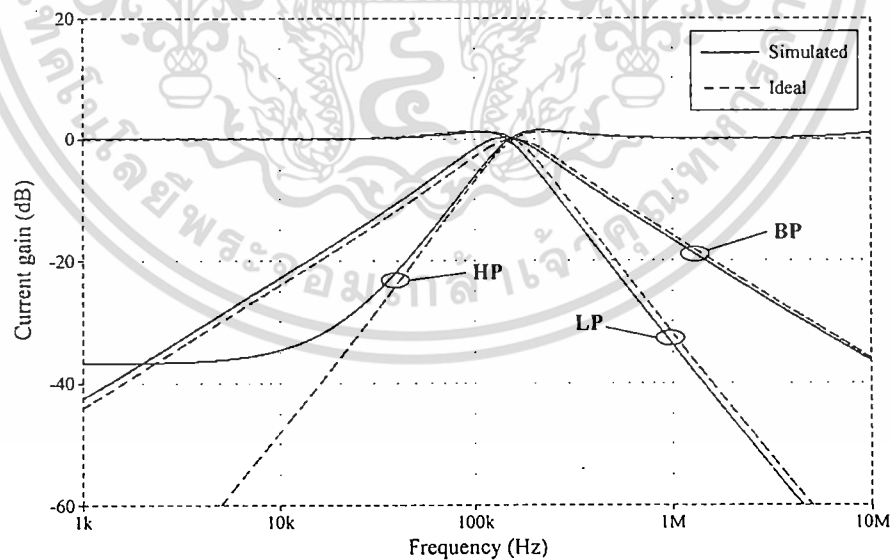
$$S_{C_1}^Q = -S_{C_2}^Q = \frac{1}{2} \quad (3.17)$$

ซึ่งแสดงให้เห็นว่าความไวต่อการเบี่ยงเบนค่าอุปกรณ์แอกทีฟและพาสซีฟของ ω_c และ Q ต่างเป็นค่าที่ต่ำมาก ดังนั้นจึงกล่าวได้ว่าวงจรกรองสัญญาณที่ได้นำเสนอในรูปที่ 3.1 มีคุณสมบัติค่าความไวต่ำ นั่นเอง

3.4 ตัวอย่างการออกแบบวงจร และผลการจำลองโดยใช้โปรแกรม PSPICE

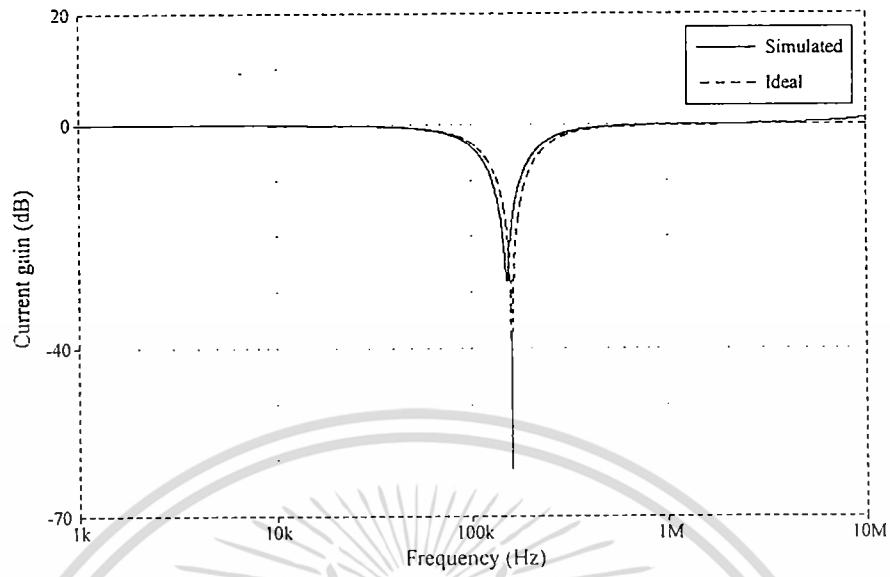
ในที่นี้ได้ทำการตรวจสอบคุณสมบัติการทำงานของวงจรกรองสัญญาณที่นำเสนอในรูปที่ 3.1 ด้วยการจำลองผลการทำงานโดยใช้โปรแกรม PSPICE ในการจำลองผลการทำงานของวงจรมานั้น เลือกใช้วงจร CFTA ที่สร้างจากเทคโนโลยีทรานซิสเตอร์ไบโพลาร์ดังแสดงในรูปที่ 2.7 โดยใช้โมเดลแบบ PR100N สำหรับทรานซิสเตอร์ชนิด PNP และแบบ NP100N สำหรับทรานซิสเตอร์ชนิด NPN [15] แหล่งจ่ายไฟเลี้ยงเท่ากับ $+V = -V = 3 \text{ V}$ และแหล่งจ่ายกระแสไบอัสเท่ากับ $I_b = 100 \mu\text{A}$

ตัวอย่างเช่น เลือกออกแบบวงจรกรองสัญญาณที่นำเสนอในรูปที่ 3.1 โดยกำหนดให้ค่าอุปกรณ์ในวงจรเป็นดังนี้ $I_{oi} = 50 \mu\text{A}$ ($g_{mi} = 1 \text{ mA/V}$) และ $C_1 = C_2 = C = 1 \text{ nF}$ เพื่อให้ได้คุณสมบัติของวงจรเป็นดังนี้ $f_o = \omega_o/2\pi \cong 153 \text{ kHz}$ และ $Q = 1$ รูปที่ 3.2 แสดงผลการจำลองผลตอบสนองทางความถี่ของวงจรกรองสัญญาณที่นำเสนอกรณี LP BP และ HP โดยเปรียบเทียบกับผลตอบสนองทางความถี่ของวงจรในทางทฤษฎี ในขณะที่รูปที่ 3.3 และ 3.4 นั้นแสดงผลตอบสนองทางความถี่ของวงจรที่นำเสนอกรณี BS และ AP ตามลำดับ จากผลการจำลองการทำงานที่ได้ทั้งหมดแสดงให้เห็นว่าคุณสมบัติในการทำงานของวงจรกรองสัญญาณที่นำเสนอในรูปที่ 3.1 นั้นสอดคล้องกันไปตามคุณสมบัติทางทฤษฎีที่ได้คาดการณ์ไว้

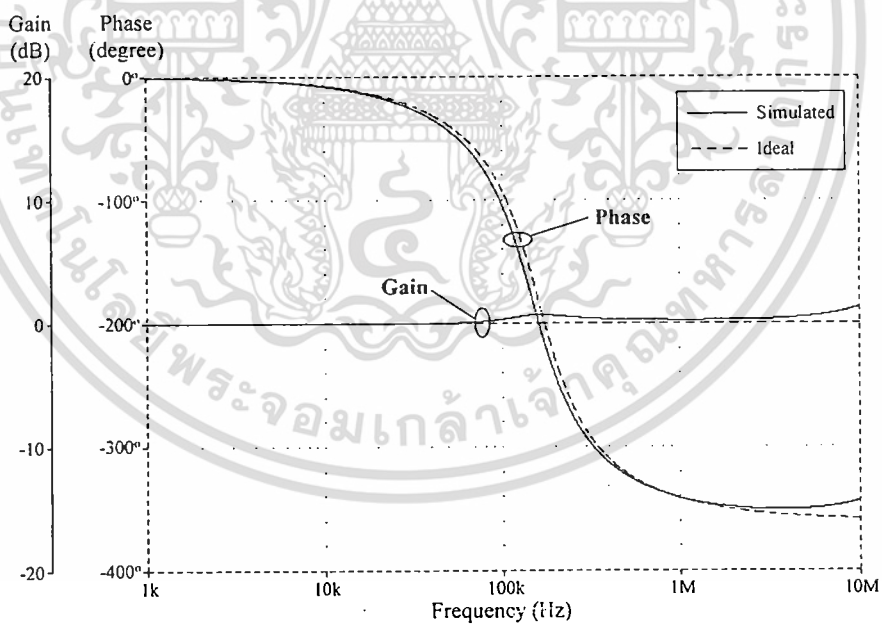


รูปที่ 3.2 ผลการจำลองผลตอบสนองทางความถี่แบบ LP, BP และ HP ของวงจรกรองสัญญาณไบควอดรติกโหมดกระแสที่นำเสนอในรูปที่ 3.1

เอกสารนี้เป็นเอกสารที่สงวนไว้สำหรับการใช้งานเพื่อการศึกษาเท่านั้น ไม่อนุญาตให้นำไปใช้ประโยชน์ด้านการค้า ไม่ว่าจะกรณีใดๆทั้งสิ้น อีกทั้งห้ามมิให้ตัดแปลงเนื้อหา และต้องอ้างอิงถึงเจ้าของเอกสารทุกครั้งที่มีการนำไปใช้



รูปที่ 3.3 ผลการจำลองผลตอบสนองทางความถี่แบบ BS ของวงจรกรองสัญญาณไปควอคราติกโหมคระแสที่นำเสนอในรูปที่ 3.1

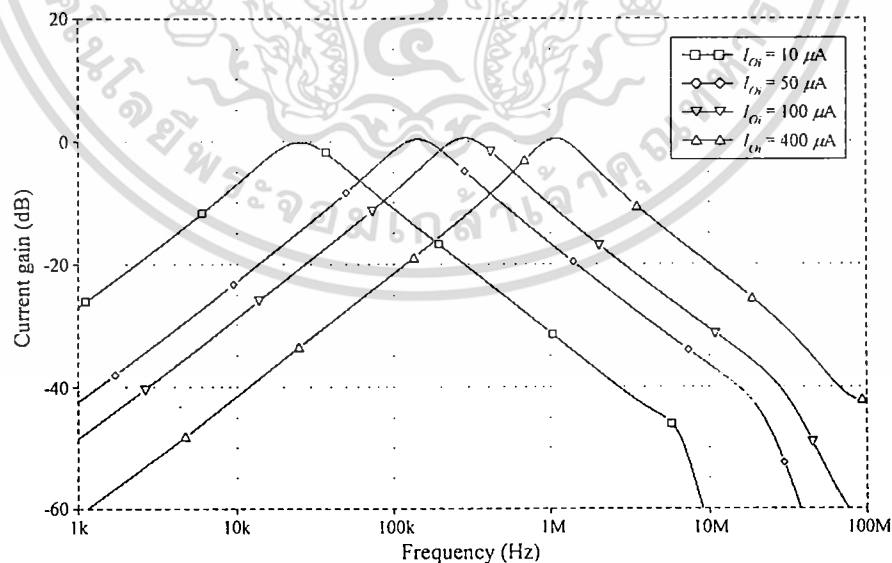


รูปที่ 3.4 ผลการจำลองผลตอบสนองทางความถี่แบบ AP ของวงจรกรองสัญญาณไปควอคราติกโหมคระแสที่นำเสนอในรูปที่ 3.1

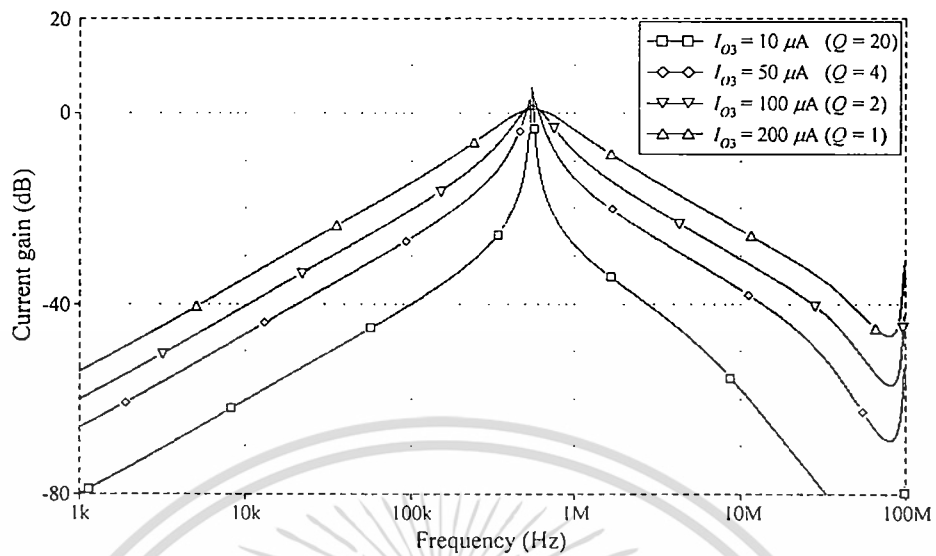
เอกสารนี้เป็นเอกสารที่สงวนไว้สำหรับการใช้งานเพื่อการศึกษาเท่านั้น ไม่อนุญาตให้นำไปใช้ประโยชน์ด้านการค้า ไม่ว่าจะกรณีใดๆทั้งสิ้น อีกทั้งห้ามมิให้ตัดแปลงเนื้อหา และต้องอ้างอิงถึงเจ้าของเอกสารทุกครั้งที่มีการนำไปใช้

เพื่อแสดงให้เห็นถึงคุณสมบัติของวงจรในการแปรค่า ω ของวงจรด้วยวิธีการทางอิเล็กทรอนิกส์ ในที่นี้เลือกกำหนดให้ $I_{O1} = I_{O2} = I_{O3} = I_{O4}$ จากนั้นทำการแปรค่า I_{O1} โดยเริ่มจาก $10 \mu\text{A}$ จนถึง $400 \mu\text{A}$ ซึ่งกรณีนี้จะได้ Q มีค่าคงที่เท่ากับหนึ่ง ($Q = 1$) ผลการจำลองการทำงานของวงจรกรณีเป็นวงจรกรองผ่านแถบความถี่ เมื่อ I_{O1} แปรค่าตามเงื่อนไขข้างต้นแสดงได้ดังรูปที่ 3.5 ซึ่งจะเห็นว่าเราสามารถปรับค่า ω ของวงจรได้ด้วยการควบคุมค่ากระแสไบอัส I_{O1} โดยไม่ส่งผลกระทบต่อค่าของ Q แต่อย่างใด สอดคล้องและเป็นไปตามแนวทางที่นำเสนอไว้ข้างต้น สำหรับตัวอย่างการปรับแต่งค่า Q ในทางอิเล็กทรอนิกส์กระทำได้โดยการเปลี่ยนแปลงค่ากระแสไบอัส I_{O3} เป็น $10 \mu\text{A}$, $50 \mu\text{A}$, $100 \mu\text{A}$ และ $200 \mu\text{A}$ ตามลำดับ เพื่อให้ได้ค่า Q ของวงจรเปลี่ยนแปลงเป็น 1, 2, 4 และ 20 ตามลำดับ ในขณะเดียวกันก็กำหนดให้ $I_{O1} = I_{O2} = 200 \mu\text{A}$ ทั้งนี้เพื่อควบคุมให้ค่าความถี่เชิงมุมธรรมชาติของวงจรมีค่าคงที่เท่ากับ $f_0 \cong 612 \text{ kHz}$ ผลการจำลองการทำงานของวงจรในกรณีนี้แสดงได้ดังรูปที่ 3.6 ซึ่งจะสังเกตเห็นว่า Q ของวงจร จะมีค่าเพิ่มขึ้นตามอัตราส่วน I_{O1}/I_{O3}

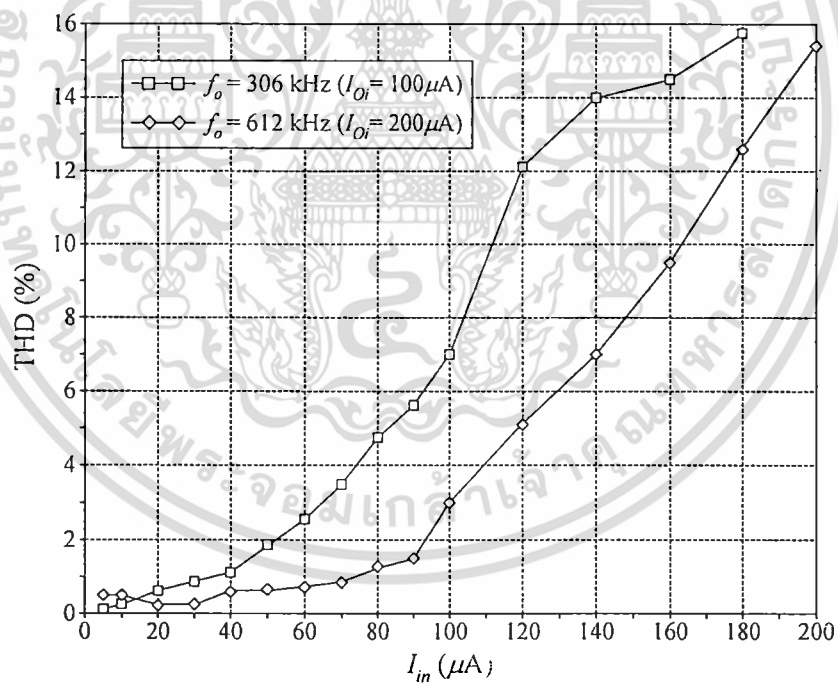
สำหรับสมรรถนะการทำงานของวงจรเชิงเส้น จะพิจารณาจากการวิเคราะห์ค่าความผิดเพี้ยนเชิงฮาร์มอนิกสรวม (total harmonic distortion, THD) ต่อการแปรค่าขนาดสัญญาณกระแสอินพุต รูปที่ 3.7 แสดงความสัมพันธ์ระหว่างเปอร์เซ็นต์ THD ของวงจรมีขนาดของกระแสอินพุตที่แปรค่า ณ ค่าความถี่อินพุต $f_0 \cong 306 \text{ kHz}$ และ $f_0 \cong 612 \text{ kHz}$ และจากผลการวิเคราะห์พบว่า ที่กระแสอินพุตมีขนาดเท่ากับ $50 \mu\text{A}$ ค่า THD ของวงจรจะมีค่าประมาณ 1.8% และ 0.7% ที่ความถี่เท่ากับ $f_0 \cong 306 \text{ kHz}$ และ 612 kHz ตามลำดับ ในทำนองเดียวกัน THD ของวงจรจะมีค่าประมาณ 6.8% และ 2.7% เมื่อกระแสอินพุตมีขนาดเพิ่มขึ้นเป็น $100 \mu\text{A}$.



รูปที่ 3.5 ผลการจำลองผลตอบสนองทางความถี่แบบ BP เมื่อทำการแปรค่า I_{O1}



รูปที่ 3.6 ผลการจำลองผลตอบสนองทางความถี่แบบ BP เมื่อทำการแปรค่า I_{O3}



รูปที่ 3.7 ความสัมพันธ์ของเปอร์เซ็นต์ THD ของวงจร เมื่อทำการแปรค่าขนาดของกระแสอินพุต

เอกสารนี้เป็นเอกสารที่สงวนไว้สำหรับการใช้งานเพื่อการศึกษาเท่านั้น ไม่อนุญาตให้นำไปใช้ประโยชน์ด้านการค้า ไม่ว่าจะกรณีใดๆทั้งสิ้น อีกทั้งห้ามมิให้ดัดแปลงเนื้อหา และต้องอ้างอิงถึงเจ้าของเอกสารทุกครั้งที่มีการนำไปใช้

3.5 สรุป

บทนี้เป็นการนำเสนอการออกแบบและสังเคราะห์วงจรกรองสัญญาณไบควอดราติกอเนกประสงค์แบบหนึ่งอินพุต สามเอาต์พุตที่ปรับค่าได้ทางอิเล็กทรอนิกส์ โดยใช้วงจร CFTA สี่ตัวและตัวเก็บประจุแบบเทียบกราวด์สองตัว วงจรกรองสัญญาณที่นำเสนอนี้สามารถสังเคราะห์ฟังก์ชันการกรองสัญญาณแบบไบควอดราติกได้ครบทุกรูปแบบโดยที่คุณสมบัติ ω_c และ Q ซึ่งเป็นคุณสมบัติสำคัญนั้นสามารถควบคุมด้วยอัตราขยายค่าความนำของวงจร CFTA นอกจากนี้คุณสมบัติของอิมพีแดนซ์ที่ขั้วอินพุตของวงจรยังมีค่าต่ำมากและอิมพีแดนซ์ที่ขั้วเอาต์พุตมีค่าสูงมาก

3.6 เอกสารอ้างอิงบทที่ 3

- [1] D. Biolek, "CDTA-building block for current-mode analog signal processing", **Proceedings of the 16th IEEE European Conference on Circuits Theory and Design (ECCTD 2003)**, Krakow, Poland, vol.3, pp.397-400, 2003.
- [2] A. U. Keskin, and D. Biolek, "Current mode quadrature oscillator using current differencing transconductance amplifiers (CDTA)", **IEE Proceedings Circuits, Devices and Systems**, vol.153, pp.214-218, 2006.
- [3] W. Tangsrirat, T. Dumawipata and W. Surakamponorn, "Multiple-input single-output current-mode multifunction filter using current differencing transconductance amplifiers", **International Journal of Electronics and Communications (AEU)**, vol.61, pp.209-214, 2007.
- [4] D. Prasad, D. R. Bhaskar and A. K. Singh, "Universal current-mode biquad filter using dual output current differencing transconductance amplifier", **International Journal of Electronics and Communications (AEU)**, vol.63, pp.497-501, 2009.
- [5] W. Tangsrirat, "Cascadable current-controlled current-mode universal filters using CDTAs and grounded capacitors", **Journal of Active and Passive Electronic Devices**, vol.4, pp.135-145, 2009.
- [6] A. T. Bekri and F. Anday, "N-order low-pass filter employing current differencing transconductance amplifiers", **Proceedings of 2005 European Conf. on Circuit Theory and Design**, vol.2, pp.193-196, 2005..
- [7] A. U. Keskin, D. Biolek, E. Hancioglu and V. Biolková, "Current-mode KHN filter employing current differencing transconductance amplifiers", **International Journal of Electronics and Communications (AEU)**, vol.60, pp. 443-446, 2006.

- [8] N. A. Shah, M. Quadri and S. Z. Iqbal, "Realization of CDTA based current-mode universal filter", **Indian Journal of Pure & Applied Physics**, vol.46, pp. 283-285, 2008.
- [9] D. Biolek, V. Biolková and Z. Kolka, "Current-mode biquad employing single CDTA", **Indian Journal of Pure & Applied Physics**, vol.47, pp. 535-537, 2009.
- [10] A. Lahiri, "New current-mode quadrature oscillators using CDTA", **IEICE Electronics Express**, vol.6, no.3, pp.135-140, 2009.
- [11] A. U. Keskin, C. Aydin, E. Hancioglu and C. Acar, "Quadrature oscillator using current differencing buffered amplifiers (CDBA)", **Frequenz**, vol.60, pp. 21-23, 2006.
- [12] N. Herencsar, J. Koton, K. Vrba and J. Misurec, "A novel current-mode SIMO type universal filter using CFTAs", **Contemporary Engineering Sciences**, vol.2, no.2, pp.59-66, 2009..
- [13] M. Bhusan, R.W. Newcomb, "Grounding of capacitors in integrated circuits", **Electronics Letters**, vol.3, pp.148-149, 1967.
- [14] S. S. Gupta, R. Senani, "Realisation of current-mode SRCOs using all grounded passive elements", **Frequenz**, vol.57, pp.26-37, 2003.
- [15] D. R. Frey, "Log-domain filtering : an approach to current-mode filtering", **IEE Proceedings Circuits, Devices and Systems**, vol.140, pp.406-416, 1993.

บทที่ 4

วงจรรอสซิลเลเตอร์แบบควอดราเจอร์โหมคผสม โดยใช้วงจรถวาย ZC-CFTA และตัวเก็บประจุเทียบกราวด์

4.1 กล่าวนำ

วงจรรอสซิลเลเตอร์แบบควอดราเจอร์ (quadrature sinusoidal oscillator) นับเป็นวงจรรอสซิลเลเตอร์ที่สำคัญวงจรหนึ่งในระบบสื่อสาร ระบบประมวลผลสัญญาณ ตลอดจนระบบการวัดและควบคุม ทั้งนี้เนื่องจากสามารถกำเนิดสัญญาณไซน์สองสัญญาณที่มีความถี่เท่ากัน แต่มีมุมเฟสต่างกัน 90° ดังนั้นที่ผ่านมาจึงพบว่ามีกลุ่มนักวิจัยได้คิดค้นการออกแบบและสังเคราะห์วงจรรอสซิลเลเตอร์แบบควอดราเจอร์ทำงานในโหมคแรงดัน [1]-[7] และโหมคกระแส [8]-[12] ขึ้นอย่างมากมาย นอกจากนี้ยังพบว่าได้มีการนำเสนอวงจรรอสซิลเลเตอร์แบบควอดราเจอร์โหมคผสม (mixed-mode) ที่สามารถทำงานได้ทั้งโหมคแรงดันและโหมคกระแส [13]-[14] แต่อย่างไรก็ตามวงจรรอสซิลเลเตอร์ที่กล่าวถึงข้างต้น ยังคงจำเป็นต้องใช้ตัวต้านทานพาสซีฟจากภายนอกในการสังเคราะห์วงจร

ดังนั้นในบทนี้จึงนำเสนอแนวทางการออกแบบและสังเคราะห์วงจรรอสซิลเลเตอร์แบบควอดราเจอร์โหมคผสมที่ปราศจากตัวต้านทานพาสซีฟจากภายนอกและสามารถปรับค่าได้ด้วยวิธีการอิเล็กทรอนิกส์ วงจรที่นำเสนอขึ้นประกอบด้วยวงจรถวาย ZC-CFTA (z-copy current follower transconductance amplifier) จำนวนสี่ตัวและตัวเก็บประจุแบบเทียบกราวด์จำนวนสองตัว ซึ่งเป็นโครงสร้างวงจรที่เหมาะสมอย่างมากกับแนวทางการสร้างในรูปวงจรรวม วงจรสามารถกำเนิดสัญญาณเอาต์พุตได้ทั้งในรูปแรงดันเอาต์พุตสองชุด และกระแสเอาต์พุตสองชุด โดยสัญญาณเอาต์พุตแต่ละชุดจะมีมุมเฟสต่างกันเท่ากับ 90° นอกจากนี้เงื่อนไขในการออสซิลเลตและค่าความถี่ในการออสซิลเลตของวงจรมันยังสามารถควบคุมได้จากการปรับค่าอัตราขยายค่าความนำ (g_m) ของวงจรถวาย ZC-CFTA

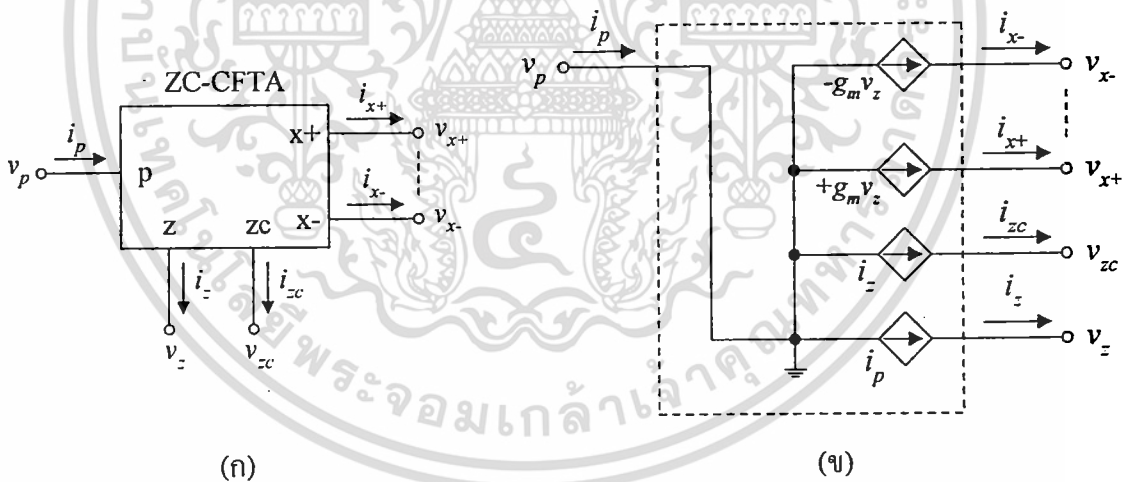
4.2 หลักการทำงานพื้นฐานของวงจรถวาย ZC-CFTA

หลังจากแนวคิดของวงจรถวาย CFTA ถูกนำเสนอได้ไม่นาน ก็ได้มีการดัดแปลงการทำงานของวงจรถวาย CFTA ขึ้น โดยเรียกอุปกรณ์แอกทีฟที่ได้นี้ว่าวงจรถวาย ZC-CFTA [15] หลังจากนั้นแนวคิดในการนำวงจรถวาย ZC-CFTA ไปประยุกต์ใช้งานจึงแพร่หลายมากขึ้นเป็นลำดับ [16]-[17] คุณสมบัติของวงจรถวาย ZC-CFTA ในทางอุดมคติ สามารถเขียนแสดงได้ดังรูปที่ 4.1 โดยที่ความสัมพันธ์ระหว่างแรงดันและกระแสของวงจรมัน สามารถเขียนอธิบายได้ดังต่อไปนี้

$$\begin{bmatrix} v_p \\ i_z \\ i_{zc} \\ i_{x+} \\ i_{x-} \end{bmatrix} = \begin{bmatrix} 0 & 0 & 0 & 0 & 0 \\ 1 & 0 & 0 & 0 & 0 \\ 1 & 0 & 0 & 0 & 0 \\ 0 & +g_m & 0 & 0 & 0 \\ 0 & -g_m & 0 & 0 & 0 \end{bmatrix} \begin{bmatrix} i_p \\ v_z \\ v_{zc} \\ v_{x+} \\ v_{x-} \end{bmatrix} \quad (4.1)$$

เมื่อ g_m คือ อัตราขยายค่าความนำ (transconductance gain) ของวงจร ZC-CFTA ซึ่งสามารถควบคุมได้ด้วยวิธีการทางอิเล็กทรอนิกส์จากแรงดันไบอัสหรือกระแสไบอัสจากภายนอก จากสมการ (4.1) จะเห็นว่าวงจร ZC-CFTA จะมีคุณสมบัติการทำงานต่างจากวงจร CFTA เพียงเล็กน้อย กล่าวคือ จะมีการเพิ่มขั้ว zc ขึ้น เพื่อต้านกระแสที่ขั้ว z ขึ้น ($i_{zc} = i_z$) ทั้งนี้เพื่อให้การออกแบบวงจรฟังก์ชันแอนะล็อกกระทำได้ง่ายและยืดหยุ่นขึ้น นั่นเอง

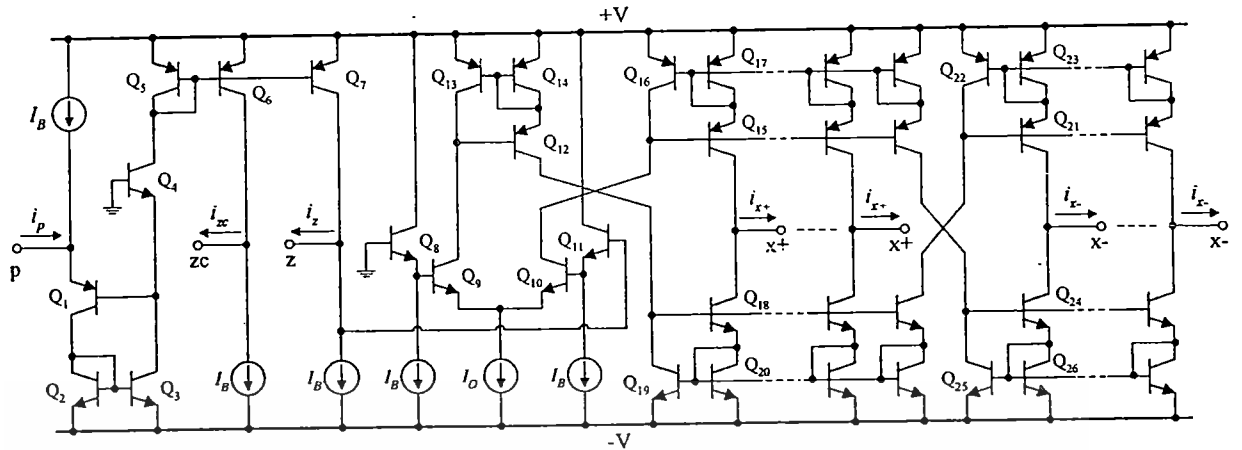
ในทำนองเดียวกัน รายละเอียดวงจรภายในวงจร CFTA โดยใช้ทรานซิสเตอร์ไบโพลาร์ก็สามารถสังเคราะห์ได้โดยง่ายโดยการดัดแปลงโครงสร้างวงจรในรูปที่ 2.7 เพียงเล็กน้อย กล่าวคือ การใช้วงจรสะท้อนกระแสให้มีสองเอาต์พุต (Q_5 - Q_7) ดังแสดงในรูปที่ 4.2 โดยที่คุณสมบัติอัตราขยายค่าความนำของวงจร g_m ของวงจรมันยังคงมีค่าคงเดิม หรือมีค่าเท่ากับสมการ (2.18)



รูปที่ 4.1 วงจร ZC-CFTA ในทางอุดมคติ

(ก) สัญลักษณ์ทางไฟฟ้า

(ข) วงจรสมมูลทางไฟฟ้า



รูปที่ 4.2 โครงสร้างภายในของวงจร ZC-CFTA แบบใช้เทคโนโลยีทรานซิสเตอร์ไบโพลาร์

4.3 วงจรกรองผ่านทุกความถี่อันดับหนึ่งโดยใช้วงจร ZC-CFTA

รูปที่ 4.3 แสดงวงจรกรองผ่านทุกความถี่โหมดกระแสอันดับหนึ่งที่สังเคราะห์โดยใช้วงจร ZC-CFTA และตัวเก็บประจุเทียบกราวด์อย่างละหนึ่งตัวเท่านั้น เมื่อทำการวิเคราะห์หาฟังก์ชันถ่ายโอนกระแสของวงจร (current transfer function) จะได้

$$\frac{I_{out}(s)}{I_{in}(s)} = \frac{s - \frac{g_m}{C}}{s + \frac{g_m}{C}} \quad (4.2)$$

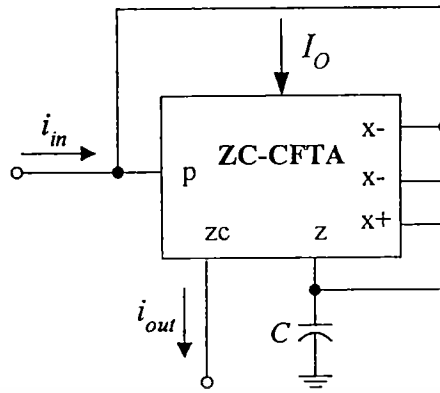
และพบว่าค่าความถี่โพล (ω) และมุมเฟส (ϕ) ของวงจร มีค่าเท่ากับ

$$\omega_o = \frac{g_m}{C} \quad (4.3)$$

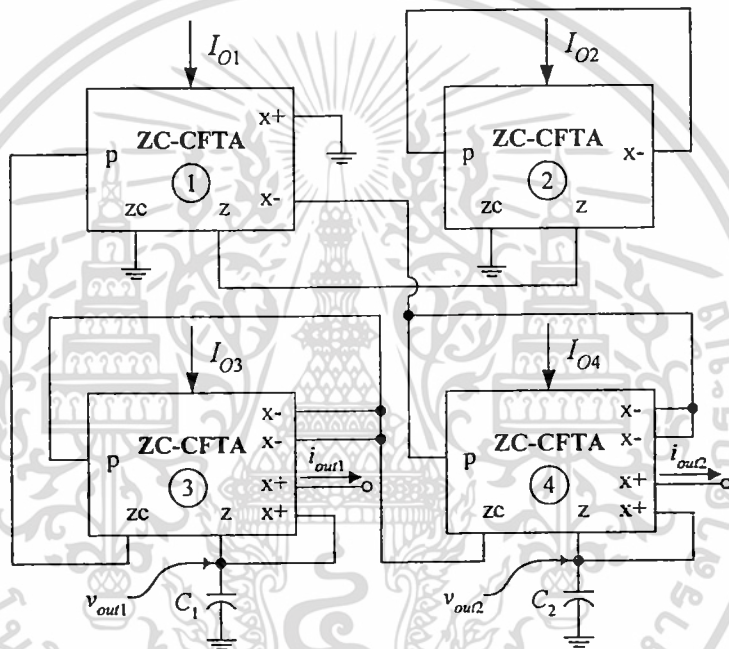
และ

$$\phi = -2 \tan^{-1} \left(\frac{\omega C}{g_m} \right) \quad (4.4)$$

สมการ (4.4) แสดงให้เห็นว่ามุมเฟส ϕ ของวงจร สามารถควบคุมได้โดยการปรับค่า g_m ของวงจร ZC-CFTA นอกจากนี้จะเห็นว่าวงจรกรองผ่านทุกความถี่โหมดกระแสอันดับหนึ่งที่นำเสนอในรูปที่ 4.3 มีค่าอิมพีแดนซ์อินพุตที่ต่ำมากและอิมพีแดนซ์เอาต์พุตที่สูงมาก



รูปที่ 4.3 วงจรกรองผ่านทุกความถี่อันดับหนึ่งที่ตั้งแควะห์โดยใช้วงจรถ ZC-CFTA หนึ่งตัว



รูปที่ 4.4 วงจรออสซิลเลเตอร์แบบควอดราเจอร์โหมคผสมโดยใช้วงจรถ ZC-CFTA ที่นำเสนอ

4.4 วงจรออสซิลเลเตอร์แบบควอดราเจอร์โหมคผสมที่นำเสนอ

รูปที่ 4.4 แสดงวงจรออสซิลเลเตอร์แบบควอดราเจอร์โหมคผสมโดยใช้วงจรถ ZC-CFTA ที่นำเสนอ โครงสร้างของวงจรประกอบด้วยวงจรกรองผ่านทุกความถี่อันดับหนึ่งในรูปที่ 4.3 จำนวนสองวงจรถ (ZC-CFTA3, C_1 และ ZC-CFTA4, C_2) และวงจรถขยายกระแสควบคุมด้วยกระแส (current-controlled current amplifier) (ZC-CFTA1 และ ZC-CFTA2) [18] เมื่อกำหนดให้ $C_1 = C_2 = C$ และ $I_{O3} = I_{O4} = I_O$ ($g_{m3} = g_{m4} = g_m$) จะได้สมการคุณลักษณะของวงจรถ (characteristic equation) เท่ากับ

$$s^2 + 2\left(\frac{1-K}{1+K}\right)\left(\frac{g_m}{C}\right)s + \left(\frac{g_m}{C}\right)^2 = 0 \tag{4.5}$$

เอกสารนี้เป็นเอกสารที่สงวนไว้สำหรับกรใช้งานเพื่อการศึกษาเท่านั้น ไม่นอนุญาตให้นำไปใช้ประโยชน์ด้านการค้าไม่ว่ากรณีใดๆทั้งสิ้น อีกทั้งห้ามมิให้ดัดแปลงเนื้อหา และต้องอ้างอิงถึงเจ้าของเอกสารทุกครั้งที่มีการนำไปใช้

โดยที่ $K = g_{m1}/g_{m2} = I_{O1}/I_{O2}$

เมื่อทำการแทนค่า $s = j\omega$ ลงในสมการ (4.5) จะได้เงื่อนไขในการออสซิลเลตของวงจร (condition of oscillation) ดังนี้

$$I_{O1} = I_{O2} \quad (4.6)$$

และจะได้ค่าความถี่ในการออสซิลเลตของวงจร (frequency of oscillation) เท่ากับ

$$\omega_o = \frac{g_m}{C} = \frac{I_O}{2V_T C} \quad (4.7)$$

ความสัมพันธ์ข้างต้นแสดงให้เห็นว่าเราสามารถกำหนดเงื่อนไขในการออสซิลเลตของวงจรได้จากการควบคุมกระแสไบอัส I_{O1} หรือ I_{O2} โดยไม่ส่งผลกระทบต่อ ω_o และในทางกลับกันค่า ω_o ของวงจรก็สามารถปรับค่าได้อย่างอิสระโดยการควบคุมกระแสไบอัส I_O

นอกจากนี้หากพิจารณาความสัมพันธ์ระหว่างกระแสเอาต์พุตทั้งสองและแรงดันเอาต์พุตทั้งสองของวงจรแล้ว จะพบว่า

$$I_{out2} = jI_{out1} \quad (4.8)$$

และ

$$V_{out2} = jV_{out1} \quad (4.9)$$

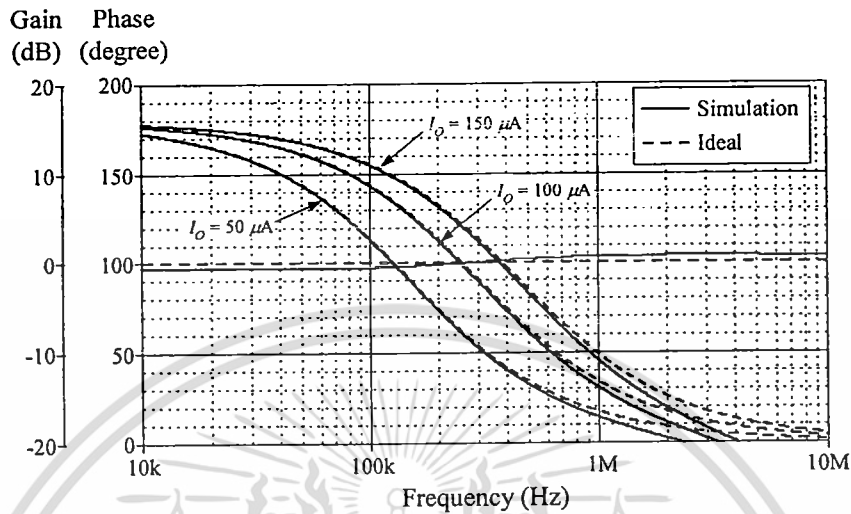
ซึ่งแสดงให้เห็นว่าค่าทั้งสี่มีคุณสมบัติเป็นลักษณะของสัญญาณเอาต์พุตแบบควอดราเจอร์ที่มีมุมต่างเฟสกัน 90°

4.5 ผลการจำลองการทำงานของวงจรโดยใช้โปรแกรม PSPICE

ในที่นี้ได้เลือกตรวจสอบคุณสมบัติการทำงานของวงจรออสซิลเลเตอร์แบบควอดราเจอร์โหมดผสม ที่นำเสนอในรูปที่ 4.4 โดยใช้วงจร ZC-CFTA ดังรูปที่ 4.2 ภายใต้เทคโนโลยีทรานซิสเตอร์แบบ ALA400 เบอร์ PR100N ชนิด PNP และเบอร์ NP100N ชนิด NPN จากบริษัท AT&T แหล่งจ่ายไฟเลี้ยงเท่ากับ $\pm 3V$, $I_B = 100 \mu A$ และ $C_1 = C_2 = 1 nF$

รูปที่ 4.5 แสดงผลตอบสนองทางความถี่ของวงจรกรองผ่านทุกความถี่อันดับหนึ่งในรูปที่ 4.3 เมื่อทำการแปรค่ากระแสไบอัส I_O เป็น $50 \mu A$, $100 \mu A$ และ $150 \mu A$ ตามลำดับ ซึ่งปรากฏผลการจำลองที่

มุมเฟส 90° จะได้ความถี่โพลของวงจร $f_o = \omega_o/2\pi$ มีค่าเปลี่ยนแปลงเป็น 153 kHz, 306 kHz และ 459 kHz ตามลำดับ สอดคล้องกับค่าที่ได้คำนวณไว้ทางทฤษฎี

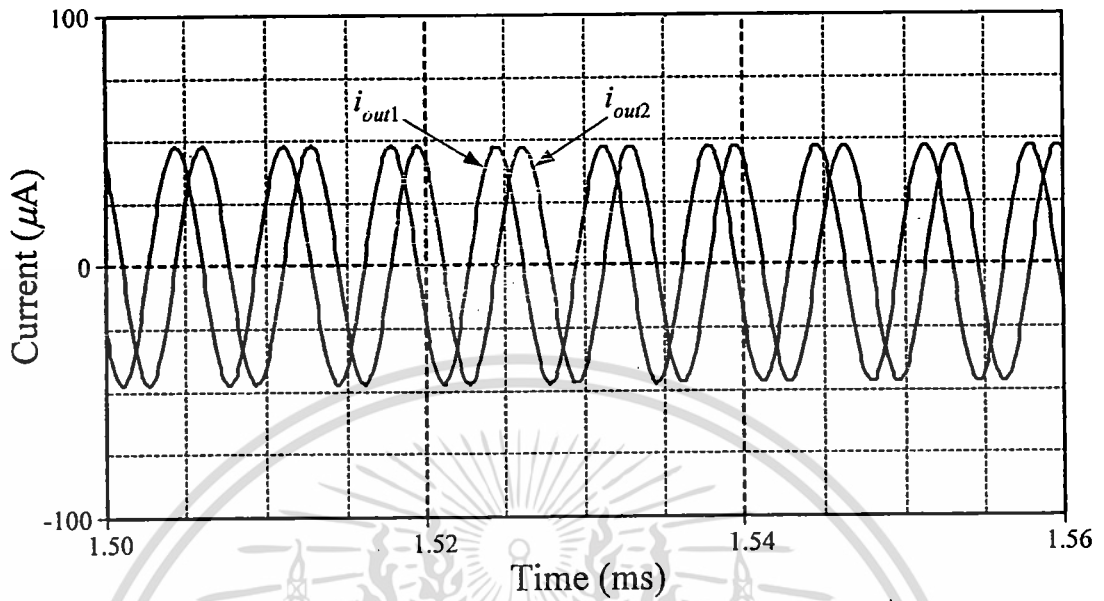


รูปที่ 4.5 ผลตอบสนองทางความถี่ของวงจรกรองผ่านทุกความถี่อันดับหนึ่งในรูปที่ 4.3

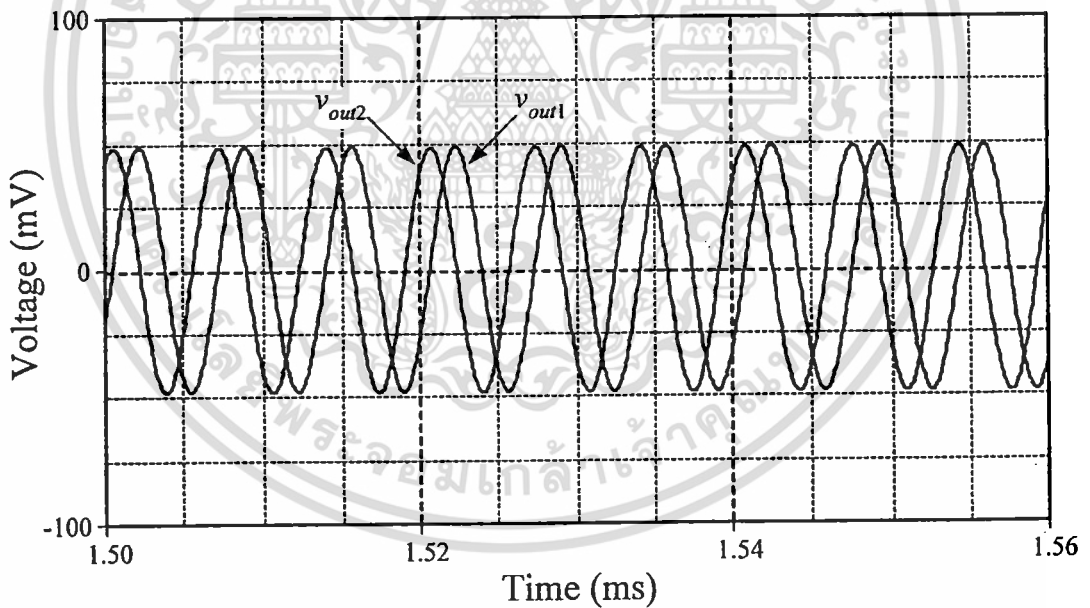
รูปที่ 4.6 แสดงผลจำลองผลตอบสนองทางเวลาของวงจรออสซิลเลเตอร์แบบควอดราเจอร์โหมคผสมที่นำเสนอในรูปที่ 4.4 เมื่อกำหนดให้ $I_{O3} = I_{O4} = I_O = 50 \mu\text{A}$ ($g_{m3} = g_{m4} = g_m = 0.961 \text{ mA/V}$) ผลการจำลองการทำงานปรากฏว่าจะได้ $f_o \cong 149 \text{ kHz}$ ในขณะที่ผลการคำนวณทางทฤษฎีจากสมการ (4.7) จะได้ $f_o = 153 \text{ kHz}$ ส่วนรูปที่ 4.7 แสดงผลการจำลองสเปกตรัมความถี่ (frequency spectrum) ของสัญญาณเอาต์พุตควอดราเจอร์ของวงจร และรูปที่ 4.8 แสดงแผนภาพลิวซัจิว (lissajous figure) ของสัญญาณเอาต์พุตควอดราเจอร์ของวงจร

4.6 สรุป

บทนี้เป็นการนำเสนอวงจรออสซิลเลเตอร์แบบควอดราเจอร์โหมคผสมโดยใช้วงจร ZC-CFTA โครงสร้างของวงจรที่นำเสนอประกอบด้วยวงจรกรองผ่านทุกความถี่อันดับหนึ่งสองวงจรและวงจรขยายกระแสควบคุมด้วยกระแสหนึ่งวงจร โดยใช้วงจร ZC-CFTA ทั้งสิ้นจำนวนสี่ตัวและตัวเก็บประจุเทียบกราวด์อีกสองตัวเท่านั้น วงจรออสซิลเลเตอร์ที่นำเสนอขึ้นในบทนี้สามารถกำเนิดสัญญาณเอาต์พุตแบบควอดราเจอร์ได้ทั้งโหมคแรงดันและโหมคกระแส อีกทั้งยังสามารถปรับเงื่อนไขการเกิดออสซิลเลตและค่าความถี่ในการออสซิลเลตได้อย่างอิสระด้วยวิธีการทางอิเล็กทรอนิกส์



(ก)

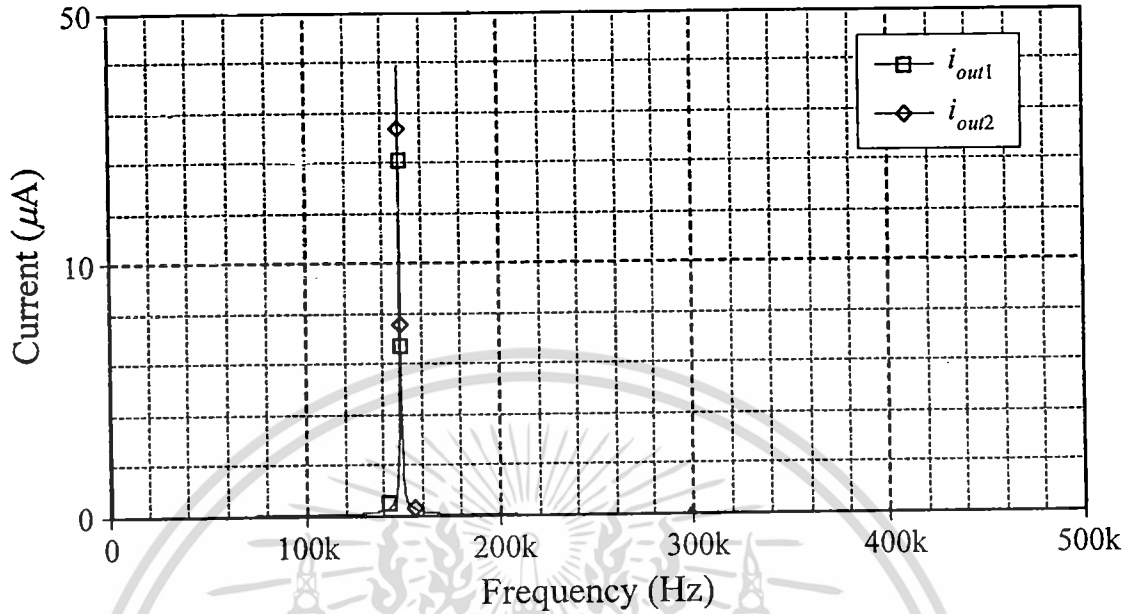


(ข)

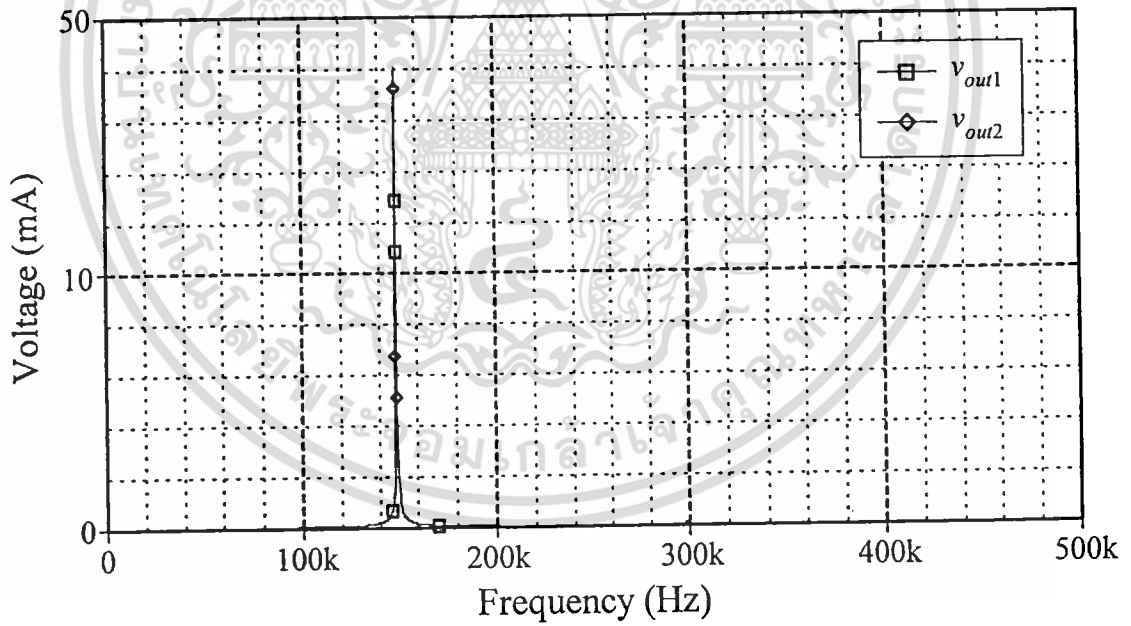
รูปที่ 4.6 ผลตอบสนองทางเวลาของวงจรออสซิลเลเตอร์แบบควอดราเจอร์ที่นำเสนอในรูปที่ 4.4

(ก) กระแสควอดราเจอร์เอาต์พุต

(ข) แรงดันควอดราเจอร์เอาต์พุต



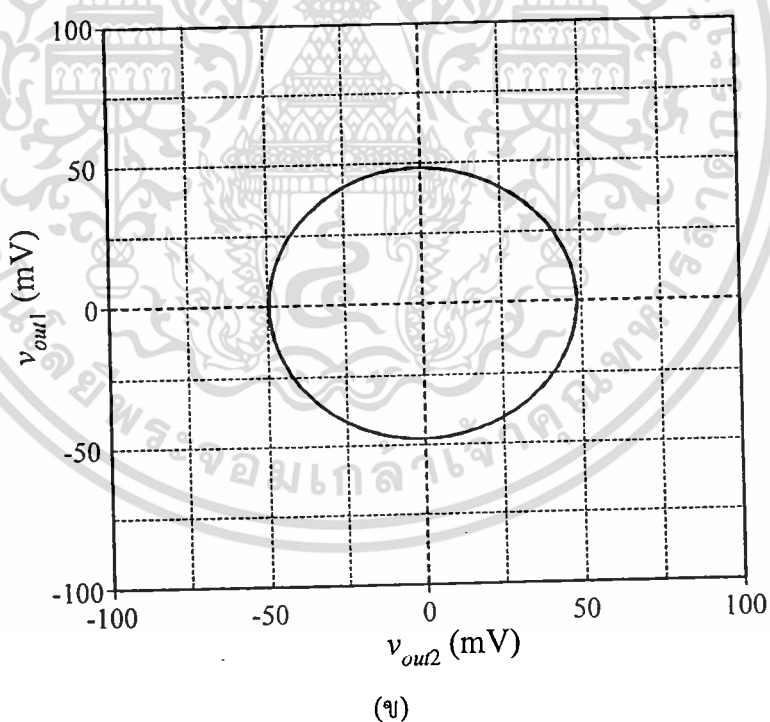
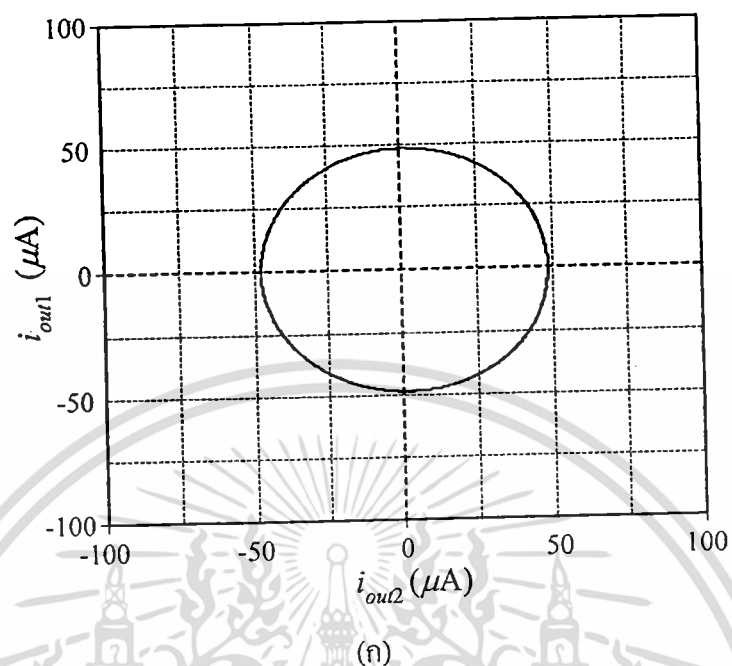
(ก)



(ข)

รูปที่ 4.7 สเปกตรัมความถี่ของวงจรออสซิลเลเตอร์แบบควอดราเจอร์ที่นำเสนอในรูปที่ 4.4

(ก) กระแสควอดราเจอร์เอาต์พุต (ข) แรงดันควอดราเจอร์เอาต์พุต



รูปที่ 4.8 แผนภาพลิวชาจ้วของวงจรรอสซิลเลเตอร์แบบควอดราเจอร์ที่นำเสนอในรูปที่ 4.4

(ก) กระแสควอดราเจอร์เอาต์พุต (ข) แรงดันควอดราเจอร์เอาต์พุต

เอกสารนี้เป็นเอกสารที่สงวนไว้สำหรับการใช้งานเพื่อการศึกษาเท่านั้น ไม่อนุญาตให้นำไปใช้ประโยชน์ด้านการค้า ไม่ว่าจะกรณีใดๆทั้งสิ้น อีกทั้งห้ามมิให้ดัดแปลงเนื้อหา และต้องอ้างอิงถึงเจ้าของเอกสารทุกครั้งที่มีการนำไปใช้

4.7 เอกสารอ้างอิงบทที่ 4

- [1] I. A. Khan and S. Khwaja, "An integrable gm-C quadrature oscillator", **International Journal of Electronics**, vol. 87, no. 11, pp. 1353-1357, 2000.
- [2] J. W. Horng, "Current conveyors based allpass filters and quadrature oscillators employing grounded capacitors and resistors", **International Journal of Computers and Electrical Engineering**, vol. 31, pp. 81-92, 2005.
- [3] N. Herencsar, J. Koton, K. Vrbn and A. Lahiri, "New voltage-mode quadrature oscillator employing single DBTA and only grounded pasive elements", **IEICE Electronics Express**, vol. 6, no. 24, pp. 1708-1714, 2009.
- [4] A. Lahiri, W. Jaikla and M. Siripruchyanun, "Voltage-mode quadrature sinusoidal oscillator with current tunable properties", **Analog Integrated Circuits and Signal Processing**, vol.65, no.2, pp.321-325, 2010.
- [5] A. U. Keskin, C. Aydin, E. Hancioglu, and C. Acar, "Quadrature oscillator using current differencing buffered amplifiers (CDBA)", **Frequenz**, vol.60, pp.21-23, 2006.
- [6] W. Tangsrirat and S. Pitisitchalermpong, "CDBA-based quadrature sinusoidal oscillator", **Frequenz**, vol.61, 3-4, pp. 102-104, 2007.
- [7] W. Tangsrirat, D. Prasertsom, T. Piyatat and W. Surakamponorn, "Single-resistance-controlled quadrature oscillator using current differencing buffered amplifiers", **International Journal of Electronics**, vol.95, no.11, pp.1119-1126, 2008.
- [8] A. Lahiri, "New current-mode quadrature oscillators using CDTA", **IEICE Electronics Express**, vol. 6, no. 3, pp. 135-140, 2009.
- [9] Y. Li, "Electronically tunable current-mode quadrature oscillator using MCDTA", **Radioengineering**, vol. 19, no. 4, pp. 667-671, 2010.
- [10] D. Prasad, D. R. Bhaskar and A. K. Singh, "Electronically controllable grounded capacitor current-mode quadrature oscillator using single MO-CCCDTA", **Radioengineering**, vol. 20, no. 1, pp. 354-359, 2011.
- [11] W. Jaikla, M. Siripruchyanun, J. Bajer, D. Biolek, "A Simple Current-Mode Quadrature Oscillator Using Single CDTA", **Radioengineering**, vol.17, no.4, pp. 354-359, 2008.
- [12] A. U. Keskin, D. Biolek, "Current mode quadrature oscillator using current differencing transconductance amplifiers (CDTA)", **IEE Proceedings of Circuits Devices and Systems**, vol.153, pp. 214-218, 2006.

เอกสารนี้เป็นเอกสารที่สงวนไว้สำหรับการใช้งานเพื่อการศึกษาเท่านั้น ไม่อนุญาตให้นำไปใช้ประโยชน์ด้านการค้า
ไม่ว่ากรณีใดๆทั้งสิ้น อีกทั้งห้ามมิให้ตัดแปลงเนื้อหา และต้องอ้างอิงถึงเจ้าของเอกสารทุกครั้งที่มีการนำไปใช้

- [13] A. Lahiri, "Novel voltage/current-mode quadrature oscillator using current differencing transconductance amplifier", **Analog Integrated Circuits and Signal Processing**, vol.61, no.2, pp.199-203, 2009..
- [14] A. Lahiri, "Explicit-current-output quadrature oscillator using second-generation current conveyor transconductance amplifier", **Radioengineering**, vol.18, no.4, pp. 522-526, 2009.
- [15] D. Biolek, R. Senani, V. Biolkova and Z. Kolka, "Active elements for analog signal processing: Classification, Review and New proposal", **Radioengineering**, vol. 17, no. 4, pp. 15-32, 2008.
- [16] J. Satansup and W. Tangsrirat, "Realization of current-mode KHN-equivalent biquad filter using ZC-CFTAs and grounded capacitors", **Indian Journal of Pure & Applied Physics**, vol.49, no.12, pp.841-846, 2011.
- [17] W. Tangsrirat, P. Mongkolwai and T. Pukkalanun, "Current-mode high-Q bandpass filter and mixed-mode quadrature oscillator using ZC-CFTAs and grounded capacitors", **Indian Journal of Pure & Applied Physics**, vol.50, no.8, pp.600-607, 2012.
- [18] W. Tangsrirat and W. Tanjaroen, "Current-mode multiphase sinusoidal oscillator using current differencing transconductance amplifiers", **Circuits, Systems and Signal Processing**, vol.27, no.1, pp.81-93, 2008.

บทที่ 5

บทสรุป

โครงการวิจัยฉบับนี้เป็นแนวทางหนึ่งที่ได้ทำการวิจัยและพัฒนาวงจรกรองสัญญาณและวงจรออสซิลเลเตอร์โดยใช้วงจร CFTA เป็นอุปกรณ์แอกทีฟหลัก โดยแบ่งการนำเสนอออกเป็นสองวงจร คือ

1) วงจรกรองสัญญาณไบควอดราติกอเนกประสงค์โหมดกระแสแบบหนึ่งอินพุต สามเอาต์พุต ที่ปรับค่าคุณสมบัติ ω_c และ Q ได้ด้วยวิธีการทางอิเล็กทรอนิกส์ โดยประกอบด้วยวงจร CFTA จำนวนสี่ตัว และตัวเก็บประจุแบบเทียบกราวด์สองตัว และสามารถสังเคราะห์ฟังก์ชันการกรองสัญญาณแบบไบควอดราติกมาตรฐานได้ครบทุกรูปแบบ โดยไม่ต้องอาศัยเงื่อนไขค่าความเท่ากันของอุปกรณ์ในวงจร อีกทั้งยังมีค่าอิมพีแดนซ์อินพุตที่ต่ำมากและอิมพีแดนซ์เอาต์พุตที่สูงมาก

2) วงจรออสซิลเลเตอร์แบบควอดราเจอร์โหมดผสมที่สามารถปรับเงื่อนไขในการออสซิลเลตและค่าความถี่ในการออสซิลเลตของวงจรได้ด้วยวิธีการอิเล็กทรอนิกส์ วงจรที่นำเสนอขึ้นประกอบด้วยวงจร ZC-CFTA จำนวนสี่ตัวและตัวเก็บประจุแบบเทียบกราวด์จำนวนสองตัว และสามารถกำเนิดสัญญาณเอาต์พุตแบบควอดราเจอร์ได้ทั้งโหมดแรงดันและโหมดกระแส

วงจรที่นำเสนอขึ้นทั้งหมดใน โครงการวิจัยฉบับนี้ มุ่งเน้นการสังเคราะห์วงจรโดยใช้วงจร CFTA เป็นอุปกรณ์แอกทีฟหลัก และตัวเก็บประจุต่อแบบเทียบกราวด์เป็นอุปกรณ์พาสซีฟเท่านั้น โดยพยายามหลีกเลี่ยงการใช้ตัวต้านทานพาสซีฟจากภายนอก ทั้งนี้เพื่อให้โครงสร้างของวงจรที่พัฒนาขึ้นมีความเหมาะสมกับแนวทางการออกแบบวงจรรวม นอกจากนี้ยังพยายามออกแบบวงจรให้มีคุณสมบัติค่าอิมพีแดนซ์ทางอินพุตต่ำและค่าอิมพีแดนซ์ทางเอาต์พุตสูง เพื่อให้สอดคล้องกับคุณสมบัติของวงจรที่ทำงานในโหมดกระแสอย่างแท้จริง คุณสมบัติเด่นอีกประการของวงจรที่ได้พัฒนาขึ้นทั้งหมดในโครงการวิจัยนี้ ก็คือ สามารถปรับแต่งค่าคุณสมบัติในการทำงานได้ด้วยวิธีการทางอิเล็กทรอนิกส์โดยการปรับค่ากระแสไบอัสของวงจร CFTA

ผลงานวิจัยทั้งหมดที่ได้พัฒนาขึ้นในโครงการวิจัยนี้ ประสบผลสำเร็จเป็นที่น่าพอใจอย่างยิ่ง เนื่องจากเป็นที่ยอมรับให้ตีพิมพ์ในวารสารวิชาการทางวิศวกรรมไฟฟ้าและอิเล็กทรอนิกส์ระดับนานาชาติที่อยู่ในฐานข้อมูล ISI Journal publication ได้จำนวนสามบทความ ดังนี้

- 1) **Worapong Tangsritat**, "Single-input three-output electronically tunable universal current-mode filter using current follower transconductance amplifiers", *International Journal of Electronics and Communications (AEU)*, vol.65, no.10, pp.783-787, October 2011. (Impact Factor 2010 = 0.519)

- 2) Jetsdaporn Satansup and **Worapong Tangsritat**, "Realization of current-mode KHN-equivalent biquad filter using ZC-CFTAs and grounded capacitors", *Indian Journal of Pure*

เอกสารนี้เป็นเอกสารที่สงวนไว้สำหรับการใช้งานเพื่อการศึกษาค้นคว้าเท่านั้น มิอนุญาตให้เผยแพร่หรือใช้ประโยชน์ในทางอื่น
ไม่ว่ากรณีใดๆทั้งสิ้น อีกทั้งห้ามมิให้ดัดแปลงเนื้อหา และต้องอ้างอิงถึงเจ้าของเอกสารทุกครั้งที่มีการนำไปใช้

& *Applied Physics (IJPAP)*, vol.49, no.12, pp.841-846, December 2011. (**Impact Factor 2010 = 0.511**)

- 3) **Worapong Tangsrirat** , Praty Mongkolwai and Tattaya Pukkalanun, “Current-mode high-Q bandpass filter and mixed-mode quadrature oscillator using ZC-CFTAs and grounded capacitors”, *Indian Journal of Pure & Applied Physics (IJPAP)*, vol.50, no.8, pp.600-607, August 2012. (**Impact Factor 2011 = 0.763**)

โดยรายละเอียดของบทความทั้งสามได้ถูกรวบรวมไว้ในภาคผนวกท้ายโครงการวิจัยฉบับนี้



เอกสารนี้เป็นเอกสารที่สงวนไว้สำหรับการใช้งานเพื่อการศึกษาเท่านั้น ไม่อนุญาตให้นำไปใช้ประโยชน์ด้านการค้า
ไม่ว่ากรณีใดๆทั้งสิ้น อีกทั้งห้ามมิให้ดัดแปลงเนื้อหา และต้องอ้างอิงถึงเจ้าของเอกสารทุกครั้งที่มีการนำไปใช้

ภาคผนวก

บทความวิจัยที่ตีพิมพ์ในวารสารวิชาการระดับนานาชาติ



เอกสารนี้เป็นเอกสารที่สงวนไว้สำหรับการใช้งานเพื่อการศึกษาเท่านั้น ไม่อนุญาตให้นำไปใช้ประโยชน์ด้านการค้า
ไม่ว่ากรณีใดๆทั้งสิ้น อีกทั้งห้ามมิให้ดัดแปลงเนื้อหา และต้องอ้างอิงถึงเจ้าของเอกสารทุกครั้งที่มีการนำไปใช้

Provided for non-commercial research and education use.
Not for reproduction, distribution or commercial use.

|  AEU | |
|---|---|
| International Journal of Electronics and Communications | |
| Contents | |
| Regular Papers Kaman gap sotton in one-dimensional photonic crystal: A FDTD analysis M. Alshadi, M.S. Alshihani 767 | A signal adaptive filter for blocking effect reduction of JPEG compressed images J. Singh, S. Singh, B. Singh, N. Liddle 827 |
| 170-862 MHz, 6.16 mW compact switched-gain low-noise amplifier C.-C. Chen, P.-H. Hsu, X.-C. Zhang 772 | A chaotic system based fragile watermarking scheme for image tamper detection S. Khatua, B. Khatua 840 |
| Bandwidth improvement technique of distributed amplifiers using combined filtering structures A. Kishiyama, M. Tachibana, M. S. M. M. 777 | Higher-order soliton-effect pulse compression in a nonlinear left-handed transmission line T. Saito, G. Hattori, M. Shikada, M. Hatake 848 |
| Single-input three-output electronically tunable universal current-mode filter using current follower transconductance amplifiers W. Tangsawat 783 | A novel linear phase adaptive filter in stochastic differential equation formalism T.K. Raveeti 850 |
| Recovery of compressive samples from a randomly modulated converter J. Zhu, X. Liu, H. Wang, Z. Wang 783 | Broadband UHF RFID tag antenna with quasi-isotropic radiation performance Z. Wang, Y. G. Ho, Y. Wang 859 |
| Component reduced floating π , π C and π R simulators with grounded passive components M. Saghat 794 | Design of low-pass filters using some defected ground structures A.K. Verma, A. Kumar 864 |
| A new passive sample and hold structure for high-speed, high-resolution ADCs K.G. Sureshbabu 799 | PAPR reduction of space frequency coded OFDM systems using Active Constellation Extension M.F. Naeem, F. Marvasti 870 |
| Automatic classification of radar targets with micro-motion using entropy segmentation and time-frequency features P. Lei, J. Wang, P. Sun, B. Cai 806 | Horizontal linear antennas above a lossy half-space: A new model for the Sommerfeld's integral kernel M.P. Khamis, H.D. Khamis 879 |
| Reversible data hiding based on multilevel histogram modification and sequential recovery Z. Zhao, H. Sun, Z. Hu, J.S. Pan 816 | Frequency synthesis using a hybrid analog/digital loop filter: A low complexity approach W.S. Rhee, K. Lee 884 |
| ♦ www.elsevier.com | |
| ISSN 1434-8411 Int. J. Electron. Commun. (AEU) 65(2011)10 - pp. 767-892 | |
| 10/2011 Volume 65 | |

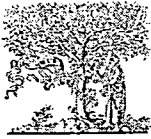
This article appeared in a journal published by Elsevier. The attached copy is furnished to the author for internal non-commercial research and education use, including for instruction at the authors institution and sharing with colleagues.

Other uses, including reproduction and distribution, or selling or licensing copies, or posting to personal, institutional or third party websites are prohibited.

In most cases authors are permitted to post their version of the article (e.g. in Word or Tex form) to their personal website or institutional repository. Authors requiring further information regarding Elsevier's archiving and manuscript policies are encouraged to visit:

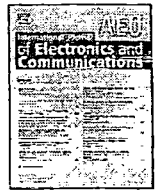
<http://www.elsevier.com/copyright>

เอกสารนี้เป็นเอกสารที่สงวนไว้สำหรับการใช้งานเพื่อการศึกษาเท่านั้น ไม่อนุญาตให้นำไปใช้ประโยชน์ด้านการค้า
ไม่ว่ากรณีใดๆทั้งสิ้น อีกทั้งห้ามมิให้ดัดแปลงเนื้อหา และต้องอ้างอิงถึงเจ้าของเอกสารทุกครั้งที่มีการนำไปใช้



ELSEVIER

International Journal of Electronics and Communications (AEÜ)

journal homepage: www.elsevier.de/aeue

Single-input three-output electronically tunable universal current-mode filter using current follower transconductance amplifiers

Worapong Tangsrirat*

Faculty of Engineering, King Mongkut's Institute of Technology Ladkrabang (KMITL), Chalongkrung Road, Ladkrabang, Bangkok 10520, Thailand

ARTICLE INFO

Article history:

Received 16 April 2010

Accepted 4 January 2011

Keywords:

Current follower transconductance amplifier (CFTA)
 Universal filter
 Current-mode circuit

ABSTRACT

In this paper, an electronically tunable universal filter configuration with single input and three outputs (SITO) employing a recently introduced active device namely current follower transconductance amplifier (CFTA) is described. The proposed filter is composed of four CFTAs and two grounded capacitors, and is capable of realizing all the standard functions of the universal filter without requiring any component matching criterions and any extra active components. It exhibits low-input and high-output impedances, which is highly desirable for cascading in current-mode. It also offers the advantage feature of an independent electronic adjustment of the natural angular frequency (ω_0) and the quality factor (Q) by means of tuning the external bias currents. Moreover, a high Q -value filter can be obtained by simply adjusting the appropriate ratio of bias currents. The analysis of active and passive sensitivities is shown to be low. In order to demonstrate the performance of the proposed circuit, PSPICE simulation results are provided.

© 2011 Elsevier GmbH. All rights reserved.

1. Introduction

Since its introduction in 2003, the current differencing transconductance amplifier (CDTA) has been proven to be a versatile active building block for current-mode signal processing circuits [1]. A large number of analog signal processing/signal generation circuit solutions based on this device have already been presented in the literature [1–10]. However, the earlier configurations reported in [6–10] do not exploit the full capacity of the used CDTA, since one of the input terminals (p or n terminals) of the CDTA is not used. Moreover, the current differencing property at an input stage can be achieved by the negative current feedback connection via the $-x$ terminal. This implies that the n terminal is not necessary for some applications. To avoid the mentioned problems, the modified version of the CDTA so-called current follower transconductance amplifier (CFTA) was recently introduced [11]. This device can be thought of as a combination of the current follower and the multi-output operational transconductance amplifier. Its behavior is quite similar to the CDTA element, in which the current follower is used instead of the current differencing unit at the front-end. Solutions on building the current-mode universal filters using CDTA and/or CFTAs as the major active building blocks have been reported in the technical literature [1,3–9,11]. However, these solutions so far suffer from the following disadvantages.

- They do not exhibit independent tuning characteristic of the natural angular frequency (ω_0) and the quality factor (Q) [3–5,7–9,11].
- They cannot realize all the five standard filter functions such as lowpass (LP), bandpass (BP), highpass (HP), bandstop (BS) and allpass (AP) from the same configuration [1,4,6–8].
- They require some external passive resistors [1,4,6,8,9,11].
- There are non-grounded passive components in the configuration, which makes the integration of the filter difficult [1,4,8].
- There are not both low-impedance input and high-impedance output terminals [3,4,7–9]. Theoretically, the current-mode filter should provide both low-input impedance and high-output impedance for easy cascading and generation of additional filter responses by simply interconnecting the relevant output currents.

In this paper, by introducing a CFTA, an electronically tunable current-mode universal filter having single input and three outputs (SITO) is therefore presented which provides all the desirable features (a)–(e) simultaneously. The presented filter uses four CFTAs and only two grounded capacitors, which is important in integration point of view. It requires only one current input, which is applied to the low-input impedance terminal, and all output currents are taken directly from the current output terminals, which are the high-output impedances. By joining the appropriate output currents, the proposed circuit can simultaneously realize all the five standard biquadratic filter functions, i.e., LP, BP, HP, BS and AP, without requiring component-matching

* Tel.: +66 2 326 4205; fax: +66 2 326 4205.
 E-mail address: drworapong@gmail.com

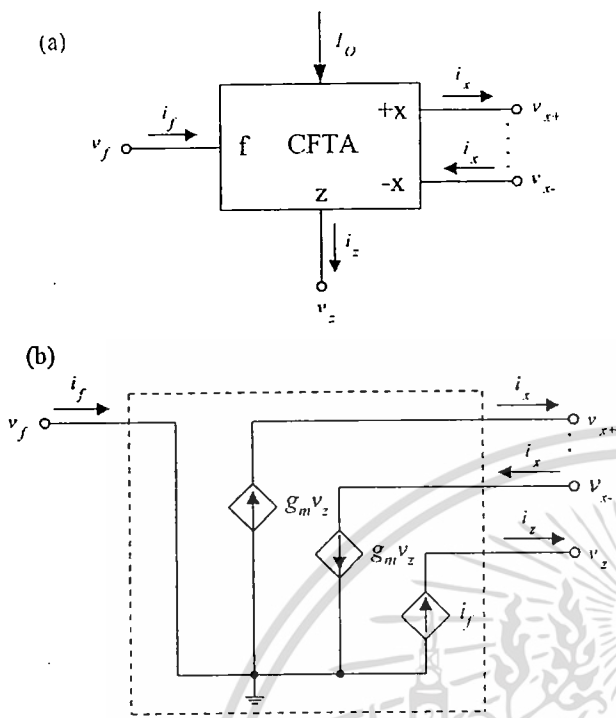


Fig. 1. CFTA. (a) schematic symbol (b) behavioral model

conditions and additional active components. The filter has an orthogonal electronic adjustment of the characteristic parameters ω_0 and Q , and also has very low component sensitivities of ω_0 and Q . Moreover, the realization of the high Q -value filter can be achieved from appropriate value of ratio of two bias currents. The performances of the proposed circuit are studied through PSPICE simulation, and the results agree well with the theoretical analysis.

2. Description of current follower transconductance amplifier (CFTA)

The symbolic representation of the CFTA and its behavior model are shown in Fig. 1. Assuming the standard notation, the terminal defining relations of this device can be characterized by the following set of equations [11].

$$v_f = 0, \quad i_z = i_f \quad \text{and} \quad i_x = g_m v_z = g_m Z_z i_z \tag{1}$$

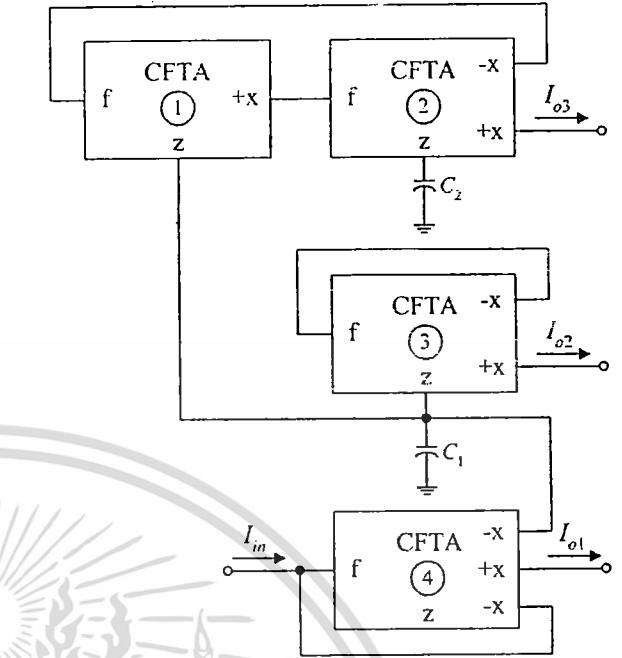


Fig. 3. Proposed SITO electronically tunable universal current-mode filter.

where g_m is the transconductance gain of the CFTA and Z_z is an external impedance connected to the z-terminal. The CFTA consists essentially of the current follower at the input part and the multi-output transconductance amplifier at the output part. According to Eq. (1) and Fig. 1, the f-terminal forms the current input at ground potential ($v_f=0$) and the output current at the z-terminal (i_z) follows the current (i_f) through the f-terminal. The voltage drop at the z-terminal (v_z) is then converted to a current at the x-terminal (i_x) by a g_m -parameter. In general, the g_m -value is adjustable over several decades by a supplied bias current/voltage, which lends electronic controllability to design circuit parameters.

Fig. 2 shows the possible bipolar technology implementation of the CFTA, which is slightly modified from the structure given in [2,3,5]. It is mainly composed of a current follower circuit formed by transistors Q_1-Q_6 and a multiple-output transconductance amplifier Q_7-Q_{25} . In this case, the transconductance gain g_m of the CFTA is directly proportional to the external bias current I_0 , which is equal to

$$g_m = \frac{I_0}{2V_T} \tag{2}$$

and $V_T \cong 26 \text{ mV}$ at 27°C .

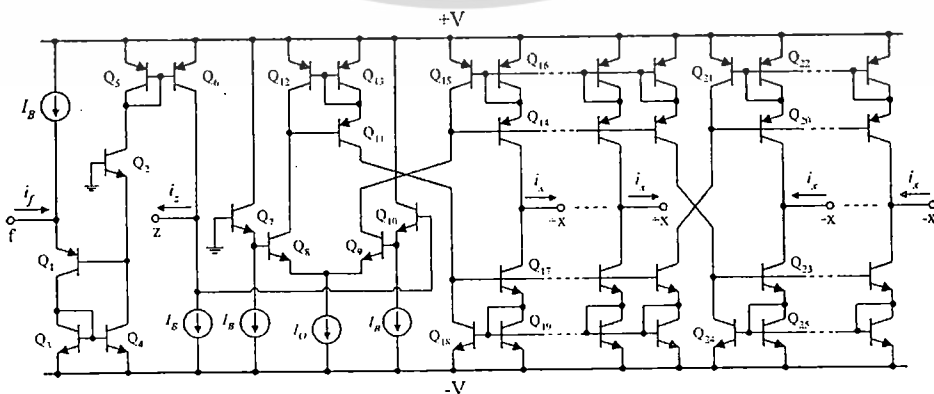


Fig. 2. Bipolar implementation of the CFTA.

เอกสารนี้เป็นเอกสารที่สงวนไว้สำหรับการใช้งานเพื่อการศึกษาเท่านั้น ไม่อนุญาตให้นำไปใช้ประโยชน์ด้านการค้า ไม่ว่าจะกรณีใดๆทั้งสิ้น อีกทั้งห้ามมิให้ดัดแปลงเนื้อหา และต้องอ้างอิงถึงเจ้าของเอกสารทุกครั้งที่มีการนำไปใช้

3. Proposed SITO current-mode universal biquad filter

The proposed electronically tunable current-mode universal biquad filter with single input and three outputs is shown in Fig. 3. It is configured by only four CFTAs and two grounded capacitors. The proposed circuit has an advantage of using only grounded capacitors, which conduces to IC implementation [12,13]. According to the terminal characteristics of the CFTA defined in Eq. (1), routine analysis of the proposed circuit in Fig. 3 gives the following two output currents I_{O2} and I_{O3} :

$$I_{O2}(s) = I_{BP}(s) = -\frac{(sC_2g_{m3}/g_{m1}g_{m2})I_{in}(s)}{D(s)} \tag{3}$$

$$I_{O3}(s) = I_{LP}(s) = -\frac{I_{in}(s)}{D(s)} \tag{4}$$

where $D(s)$ is found to be

$$D(s) = \left(\frac{s^2C_1C_2}{g_{m1}g_{m2}}\right) + \left(\frac{sC_2g_{m3}}{g_{m1}g_{m2}}\right) + 1 \tag{5}$$

and g_{mi} ($= I_{O_i}/2V_T$) and I_{O_i} are the parameters g_m and I_0 of the i th CFTA ($i = 1, 2, 3, 4$).

It is clearly seen that the filter simultaneously realizes a BP current response (I_{BP}) at I_{O2} and a LP current response (I_{LP}) at I_{O3} . Furthermore, owing to all the current output terminals are in high-output impedances, the HP, BS and AP filter functions can easily be obtained with the proper connection of the relevant output currents. As a result, the HP, BS and AP current responses (I_{HP} , I_{BS} and I_{AP}) can be derived respectively as:

$$I_{HP}(s) = I_{O1}(s) + I_{O2}(s) + I_{O3}(s) = \frac{(s^2C_1C_2/g_{m1}g_{m2})I_{in}(s)}{D(s)} \tag{6}$$

$$I_{BS}(s) = I_{O1}(s) + I_{O2}(s) = \frac{[(s^2C_1C_2/g_{m1}g_{m2}) + 1]I_{in}(s)}{D(s)} \tag{7}$$

and

$$I_{AP}(s) = I_{O2}(s) + I_{BS}(s) = \frac{[(s^2C_1C_2/g_{m1}g_{m2}) - (sC_2g_{m3}/g_{m1}g_{m2}) + 1]I_{in}(s)}{D(s)} \tag{8}$$

In all cases, the natural angular frequency (ω_0) and the quality factor (Q) are calculated as:

$$\omega_0 = \sqrt{\frac{g_{m1}g_{m2}}{C_1C_2}} \tag{9}$$

and

$$Q = \frac{1}{g_{m3}} \sqrt{\frac{g_{m1}g_{m2}C_1}{C_2}} \tag{10}$$

Furthermore, by substituting Eq. (2) into Eqs. (9) and (10), and setting $I_{O1} = I_{O2} = I_0$ and $C_1 = C_2 = C$, the filter parameters ω_0 and Q can be rewritten as:

$$\omega_0 = \frac{I_0}{2V_T C} \tag{11}$$

and

$$Q = \frac{I_0}{I_{O3}} \tag{12}$$

Note that the parameter ω_0 in Eq. (11) can be tuned electronically and linearly through I_0 , while the Q -value from Eq. (12) can be tuned independently through I_{O3} without influencing ω_0 . Also note that a high value of Q -factor can be realized by properly increasing the ratio of I_0 and I_{O3} . Moreover, the Q -factor for the filters is temperature insensitive.

4. Sensitivity analysis

In case of the non-ideal CFTA, the relationship of the terminal voltages and currents given in Eq. (1) can be rewritten as:

$$v_f = 0, \quad i_z = \alpha i_f \quad \text{and} \quad i_x = \beta g_m z i_z \tag{13}$$

where $\alpha = 1 - \varepsilon_i$ and ε_i ($|\varepsilon_i| \ll 1$) is the current tracking error from f to z terminals, and β is the transconductance inaccuracy factor from z to x terminals. Therefore, taking the non-idealities of the CFTA into account, the modified parameters ω_0 and Q of the proposed filter given in Fig. 3 become:

$$\omega_0 = \sqrt{\frac{\beta_1\beta_2g_{m1}g_{m2}}{C_1C_2}} \tag{14}$$

and

$$Q = \left(\frac{1}{\alpha_3\beta_3g_{m3}}\right) \sqrt{\frac{\beta_1\beta_2g_{m1}g_{m2}C_1}{C_2}} \tag{15}$$

where α_i and β_i represent the parameters α and β of the i th CFTA. From Eqs. (14) and (15), one can realize that the values of ω_0 and Q are slightly altered by the effect of the CFTA tracking errors. However, in this case, the small deviations in the filter parameters can be compensated by re-tuning the I_{O_i} -value moderately.

The active and passive sensitivities are calculated for the proposed filter as:

$$S_{\beta_1}^{\omega_0} = S_{\beta_2}^{\omega_0} = S_{g_{m1}}^{\omega_0} = S_{g_{m2}}^{\omega_0} = \frac{1}{2} \tag{16}$$

$$S_{C_1}^{\omega_0} = S_{C_2}^{\omega_0} = -\frac{1}{2} \tag{17}$$

$$S_{\alpha_3}^Q = S_{\beta_3}^Q = S_{g_{m3}}^Q = -1 \tag{18}$$

$$S_{\beta_1}^Q = S_{\beta_2}^Q = S_{g_{m1}}^Q = S_{g_{m2}}^Q = \frac{1}{2} \tag{19}$$

and

$$S_{C_1}^Q = -S_{C_2}^Q = \frac{1}{2} \tag{20}$$

It is obvious from Eqs. (16)–(20) that both active and passive sensitivities of ω_0 and Q are very low in magnitude.

5. Design example and simulation results

PSpice simulation program was carried out to confirm the theoretical validity of the proposed filter configuration given in Fig. 3. In simulations, the CFTA was obtained from the bipolar technology implementation depicted in Fig. 2. The PNP and NPN transistors in CFTA implementation were simulated using the typical parameters of bipolar transistor model PR100N (PNP) and NP100N (NPN) given in [14]. The DC supply voltages and bias currents were respectively selected as: $+V = -V = 3V$ and $I_B = 100 \mu A$.

As an example, the circuit is designed to obtain the LP, BP and HP responses with a natural angular frequency of $f_0 = \omega_0/2\pi \cong 153$ kHz and a quality factor of $Q = 1$. To realize the filtering functions above, the tuning currents and grounded capacitors have been selected as: $I_{O_i} = 50 \mu A$ ($g_{mi} = 1$ mA/V) and $C_1 = C_2 = C = 1$ nF, respectively. The theoretical and simulation results for LP, BP and HP filters are shown in Fig. 4. With the same setting as above, the ideal and simulated frequency responses for the BS and AP characteristics of the presented filter in Fig. 3 are also shown in Figs. 5 and 6, respectively. It is observed that the simulation results correspond to the theoretical expectations.

To demonstrate the ω_0 -tuning, all the bias currents I_{O_i} (i.e., $I_{O_i} = I_{O1} = I_{O2} = I_{O3} = I_{O4}$) were simultaneously tuned from $10 \mu A$ to $400 \mu A$, at a constant $Q = 1$. The corresponding BP responses for four

เอกสารนี้เป็นเอกสารที่สงวนไว้สำหรับการใช้งานเพื่อการศึกษาเท่านั้น ไม่อนุญาตให้นำไปใช้ประโยชน์ด้านการค้า

ไม่ว่ากรณีใดๆทั้งสิ้น อีกทั้งห้ามมิให้ดัดแปลงเนื้อหา และต้องอ้างอิงถึงเจ้าของเอกสารทุกครั้งที่มีการนำไปใช้

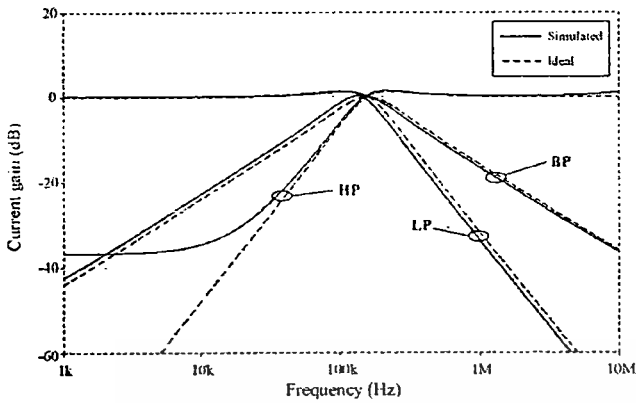


Fig. 4. Ideal and simulated LP, BP and HP current responses of the proposed filter in Fig. 3.

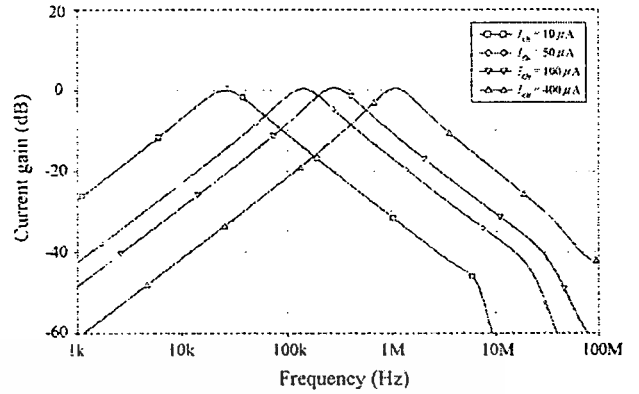


Fig. 7. Simulated BP responses for different values of I_{O_i} .

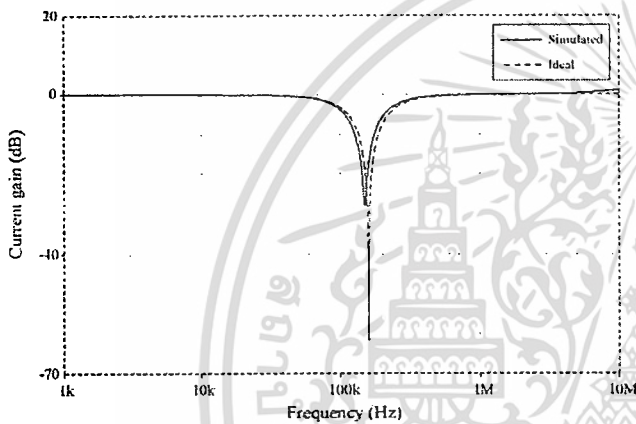


Fig. 5. Ideal and simulated frequency responses for the BS filter.

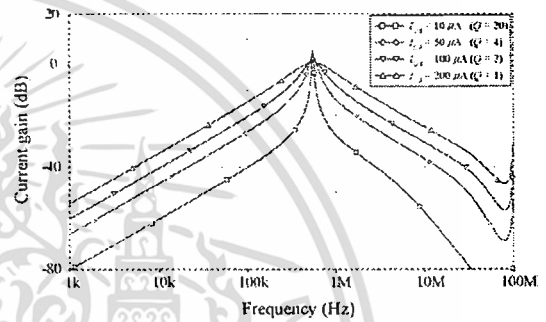


Fig. 8. Simulated BP responses for different values of I_{O_3} .

different values of I_{O_i} are shown in Fig. 7. The results prove that an independent current control of ω_o is possible without affecting the Q-factor. For the electronic tuning of the Q-value, the bias current I_{O_3} was respectively tuned for the values of 10 μ A, 50 μ A,

100 μ A and 200 μ A, while keeping $I_{O_1} = I_{O_2} = 200 \mu$ A for a constant $f_o \cong 612$ kHz. In this setting, the circuit is designed for Q-values of 1, 2, 4 and 20, respectively. The resulting current characteristics of the BP filter corresponding to different I_{O_3} are shown in Fig. 8. It may be noted that the high Q filter can be achieved simply by increasing the ratio of I_{O_1} and I_{O_3} .

In order to investigate the distortion performance of the proposed filter, the total harmonic distortion (THD) analysis of the BP response at $f_o \cong 306$ kHz and $f_o \cong 612$ kHz is performed for various

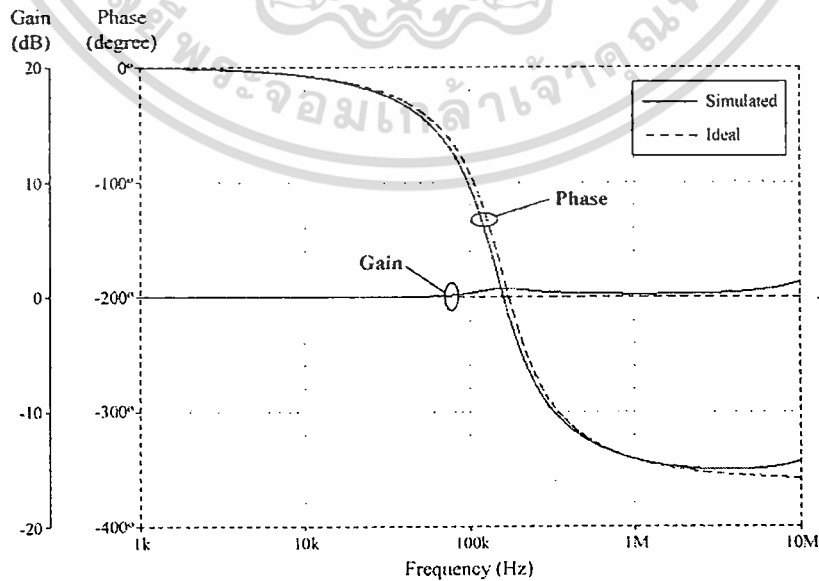


Fig. 6. Ideal and simulated frequency responses for the AP filter.

เอกสารนี้เป็นเอกสารที่สงวนไว้สำหรับการใช้งานเพื่อการศึกษาเท่านั้น ไม่อนุญาตให้นำไปใช้ประโยชน์ด้านการค้า ไม่ว่าจะกรณีใดๆทั้งสิ้น อีกทั้งห้ามมิให้ดัดแปลงเนื้อหา และต้องอ้างอิงถึงเจ้าของเอกสารทุกครั้งที่มีการนำไปใช้

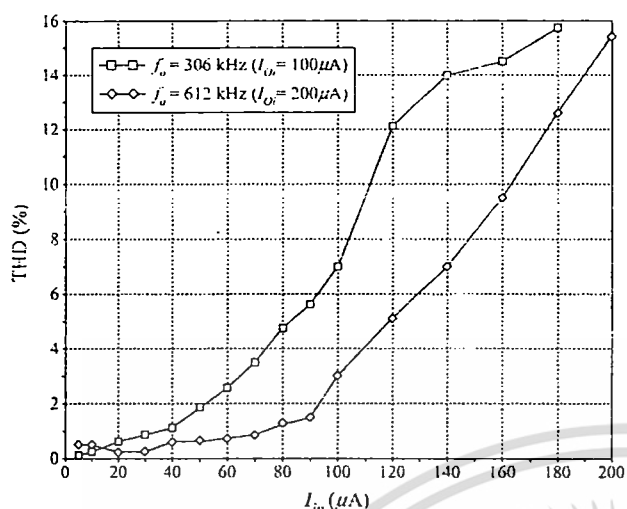


Fig. 9. Variations of THD with respect to applied sinusoidal input current level.

sinusoidal peak input current. Fig. 9 displays the variations of THD (%) with respect to the input current signal level. For an input sinusoidal signal of $50 \mu\text{A}$, the THD results were found to be at the low values of about 1.8% and 0.7% for $f_o \cong 306$ kHz and 612 kHz, respectively. However, the THD increases to values of 6.8% and 2.7% for an input current of $100 \mu\text{A}$.

6. Conclusion

An electronically tunable universal biquadratic filter with single input and three outputs is introduced using four CFTAs and two grounded capacitors. The suggested circuit is capable of realizing all the five standard biquadratic filter functions with interconnection

of the relevant input currents, and is ideal for current-mode cascading by possessing both low-input and high-output impedances. The circuit also provides the advantage of non-interactive electronic control of the important parameters ω_o and Q through the CFTA's transconductance, as well as exhibit low component sensitivities.

References

- [1] Birolek D. CDTA – building block for current-mode analog signal processing. In: Proc. ECCTD'03, vol. III, Poland; 2003. p. 397–400.
- [2] Tangsrirat W, Pukkalanun T, Surakamponorn W. Resistorless realization of current-mode first-order allpass filter using current differencing transconductance amplifiers. *Microelectron J* 2010;41:178–83.
- [3] Tangsrirat W, Dumawipata T, Surakamponorn W. Multiple-input single-output current-mode multifunction filter using current differencing transconductance amplifiers. *AEU-Int J Electron Commun* 2007;61:209–14.
- [4] Prasad D, Bhaskar DR, Singh AK. Universal current-mode biquad filter using dual output current differencing transconductance amplifier. *AEU-Int J Electron Commun* 2009;63:497–501.
- [5] Tangsrirat W. Cascadable current-controlled current-mode universal filters using CDTAs and grounded capacitors. *J Active Passive Electron Dev* 2009;4:135–45.
- [6] Bekri AT, Anday F. Nnd-order low-pass filter employing current differencing transconductance amplifiers. In: Proc. 2005 European conf. on circuit theory and design, vol. 2; 2005. p. 193–6.
- [7] Keskin AU, Birolek D, Hancioglu E, Biolková V. Current-mode KHN filter employing current differencing transconductance amplifiers. *AEU-Int J Electron Commun* 2006;60:443–6.
- [8] Shah NA, Quadri M, Iqbal SZ. Realization of CDTA based current-mode universal filter. *Indian J Pure Appl Phys* 2008;46:283–5.
- [9] Birolek D, Biolková V, Kolka Z. Current-mode biquad employing single CDTA. *Indian J Pure Appl Phys* 2009;47:535–7.
- [10] Lahiri A. New current-mode quadrature oscillators using CDTA. *IEICE Electron Express* 2009;6(3):135–40.
- [11] Herencsar N, Koton J, Vrba K, Misurec J. A novel current-mode SIMO type universal filter using CFTAs. *Contemp Eng Sci* 2009;2(2):59–66.
- [12] Bhusan M, Newcomb RW. Grounding of capacitors in integrated circuits. *Electron Lett* 1967;3:148–9.
- [13] Gupta SS, Senani R. Realisation of current-mode SRCOs using all grounded passive elements. *Frequenz* 2003;57:26–37.
- [14] Frey DR. Log-domain filtering: an approach to current-mode filtering. *IEE Proc Circ Dev Syst* 1993;140:406–16.

เอกสารนี้เป็นเอกสารที่สงวนไว้สำหรับการใช้งานเพื่อการศึกษาเท่านั้น ไม่อนุญาตให้นำไปใช้ประโยชน์ด้านการค้า
ไม่ว่ากรณีใดๆทั้งสิ้น อีกทั้งห้ามมิให้ดัดแปลงเนื้อหา และต้องอ้างอิงถึงเจ้าของเอกสารทุกครั้งที่มีการนำไปใช้

Indian Journal of Pure and Applied Physics

<http://www.niscair.res.in>; <http://nopr.niscair.res.in>

VOLUME 49

NUMBER 12

DECEMBER 2011

CODEN: IJOPAU 49(12) 793-864

ISSN: 0019-5596 (Print); 0975-1041 (Online)

CONTENTS

Atomic and Molecular Physics

- Synthesis and luminescence studies of novel rare earth activated lanthanum pentaborate 799
P A Nagpure*, N S Bajaj, R P Sonekar & S K Omanwar

Electromagnetism, Optics, Acoustics, Heat Transfer, Classical Mechanics and Fluid Dynamics

- Molecular interactions of aniline in toluene + *iso*-butanol system 803
G Mahendran & L Palaniappan*

- Optimization design of two-group night vision zoom lenses 809
Chuen-Lin Tien*, Chun-Hao Huang, Tsai-Wei Lin, Wen-Shing Sun & Chern-Sheng Lin

Condensed Matter: Structural, Mechanical and Thermal Properties

- Synthesis, characterization and CO₂ gas sensing response of SnO₂/Al₂O₃ double layer sensor 816
S A Waghuley

- Growth, structural and microhardness studies of KSb₂F₇ and KSb₄F₁₃ crystals 820
C Besky Job* & J Benet Charles

- Analysis of Grüneisen parameter and its volume derivatives for NaCl and hcp iron 825
A Vijay

- Pressure dependence of bulk modulus for solids based on the first-principles results 829
P K Singh

Condensed Matter: Electronic Structure, Electrical, Magnetic and Optical Properties

- Structural parameters and resistive switching phenomenon study on Cd_{0.25}Co_{0.75}Fe₂O₄ ferrite thin film 833
U V Chhaya, B V Mistry, K H Bhavsar, M R Gadhvi, V K Lakhani, K B Modi* & U S Joshi

Interdisciplinary Physics and Related Areas of Science and Technology

- Realization of current-mode KHN-equivalent biquad filter using ZC-CFTAs and grounded capacitors 841
Jetsdaporn Satansup & Worapong Tangsrirat*

- Annual Index 2011 847

- Citation Analysis 857

Authors for correspondence are indicated by (*)

เอกสารนี้เป็นเอกสารที่สงวนไว้สำหรับการใช้งานเพื่อการศึกษาเท่านั้น ไม่อนุญาตให้นำไปใช้ประโยชน์ด้านการค้า
ไม่ว่ากรณีใดๆทั้งสิ้น อีกทั้งห้ามมิให้ดัดแปลงเนื้อหา และต้องอ้างอิงถึงเจ้าของเอกสารทุกครั้งที่มีการนำไปใช้

Realization of current-mode KHN-equivalent biquad filter using ZC-CFTAs and grounded capacitors

Jetsdaporn Satansup & Worapong Tangsrirat*

Faculty of Engineering, King Mongkut's Institute of Technology Ladkrabang (KMUTL), Ladkrabang, Bangkok 10520, Thailand

*E-mail: drworapong@yahoo.com

Received 19 August 2011; revised 7 October 2011; accepted 17 November 2011

In this paper, a current-mode Kerwin-Huelsman-Newcomb (KHN) filter structure employing four z-copy current follower transconductance amplifiers (ZC-CFTAs) and two grounded capacitors is proposed. The circuit structure has one low-impedance current input and three high-impedance current outputs and enables realizing lowpass, bandpass and highpass current responses simultaneously. The bandstop and allpass responses can also be obtained by connecting appropriate output currents directly without additional devices. The proposed filter is capable of providing an independent current-control of the natural angular frequency (ω_b) and quality factor (Q) through the transconductance of the ZC-CFTA. Moreover, high- Q value filter can be realized by simply tuning the ratio of ZC-CFTA's transconductance. To support the theoretical results, the properties of the presented filter using CMOS ZC-CFTA have been verified by simulation results.

Keywords: Z-copy current follower transconductance amplifier, Kerwin-Huelsman-Newcomb, Biquad filter, Current-mode circuit

1 Introduction

The Kerwin-Huelsman-Newcomb (KHN) biquad, also known as the state variable type filter, is one of the best known multifunction filtering structures¹. It consists of two integrators and a summing amplifier to provide second-order lowpass (LP), bandpass (BP) and highpass (HP) filtering responses simultaneously. It also provides several advantage features such as low component spread, low passive and active sensitivities and good stability behaviour². In the current technical literature, various solutions of the KHN biquad structure using different types of active devices have been reported²⁻¹⁰. Some of them operate in voltage-mode²⁻⁷. As is well-known, the current-mode circuits offer certain advantages such as greater linearity, wider bandwidth, less power consumption, larger dynamic range and simplicity in circuit implementation compared to their voltage-mode counterparts. Therefore, some current-mode KHN biquads have been studied⁷⁻¹⁰. However, with three inputs and single output, KHN biquads^{7,8} cannot realize all the three standard biquadratic filter responses simultaneously. Also, these filters require an excessive number of active and passive elements, i.e., 5 CCCIs and 2 grounded capacitors⁷, and 3 CDBAs, 2 grounded capacitors and 6 resistors⁸. Moreover, the output terminal⁸ does not exhibit high-output impedance. The current-mode KHN-biquad

using differential voltage current conveyors has been reported⁹. It provides LP, BP and HP responses simultaneously, but it suffers from high-input impedance due to a resistor connected to its input. Recently, using three current follower transconductance amplifiers (CFTAs), the KHN-equivalent filter working in current-mode has been presented¹⁰. The present circuit provides the three standard biquadratic filter responses simultaneously, while the bandstop (BS) and allpass (AP) responses can be obtained with interconnection of the relevant output currents. In addition, it possesses a low-input impedance and high-output impedance characteristic, resulting in easy cascading for current-mode process. However, its natural frequency (ω_b) and quality factor (Q) cannot be tuned independently.

Recently, the conception of the z-copy current follower transconductance amplifier (ZC-CFTA) has been firstly suggested in Ref. (11). The ZC-CFTA is slightly modified from the conventional current differencing transconductance amplifier¹² (CDTA) by replacing the current differencing unit with a current follower and complementing the circuit with a simple current mirror for copying the z-terminal current. Thus, the ZC-CFTA element is a combination of the current follower, the current mirror and the multi-output operational transconductance amplifier. As a result, a number of applications based on ZC-CFTAs can be extended¹³.

เอกสารนี้เป็นเอกสารที่สงวนไว้สำหรับการใช้งานเพื่อการศึกษาเท่านั้น ไม่อนุญาตให้นำไปใช้ประโยชน์ด้านการค้า
ไม่ว่ากรณีใดๆทั้งสิ้น อีกทั้งห้ามมิให้ดัดแปลงเนื้อหา และต้องอ้างอิงถึงเจ้าของเอกสารทุกครั้งที่มีการนำไปใช้

The design of the current-mode KHN-equivalent biquad with low-input and high-output impedances has been studied in the present paper. The developed filter is composed of four ZC-CFTAs and two grounded capacitors, which is suitable for integrated circuit (IC) implementation. The circuit realizes LP, BP and HP current responses simultaneously with an independent electronic control of ω_b and Q by means of adjusting the bias current of the ZC-CFTAs. Moreover, the BS and AP responses can be obtained simply by interconnecting their relevant output currents without using extra active devices. In addition, high Q -value filters can easily be obtained by adjusting the ratio of two independent bias current. Because of the low-input and high-output impedances of the circuit, it is easily cascadable. The circuit parameter sensitivities are all low. PSPICE simulation results confirming the theoretical results are also included.

2 Description of ZC-CFTA

The schematic symbol and its ideal behavioral model of the ZC-CFTA are represented in Figs 1(a and b), respectively. Its operation is defined by the following expression¹¹:

$$\begin{bmatrix} v_p \\ i_z \\ i_{zc} \\ i_{x+} \\ i_{x-} \end{bmatrix} = \begin{bmatrix} 0 & 0 & 0 & 0 & 0 \\ 1 & 0 & 0 & 0 & 0 \\ 1 & 0 & 0 & 0 & 0 \\ 0 & +g_m & 0 & 0 & 0 \\ 0 & -g_m & 0 & 0 & 0 \end{bmatrix} \begin{bmatrix} i_p \\ v_z \\ v_{zc} \\ v_{x+} \\ v_{x-} \end{bmatrix} \quad \dots(1)$$

where g_m is the transconductance gain of the ZC-CFTA, which can be controlled electronically.

The CMOS-based internal structure of the ZC-CFTA is shown in Fig. 2. The circuit is a combination of the current follower with very low input resistance¹⁴, which is the input stage of the device, and the balanced-output transconductance amplifier¹⁵, which forms the output stage. In this case, the g_m -value of the ZC-CFTA is dependent on the external dc bias current (I_o), which is given as:

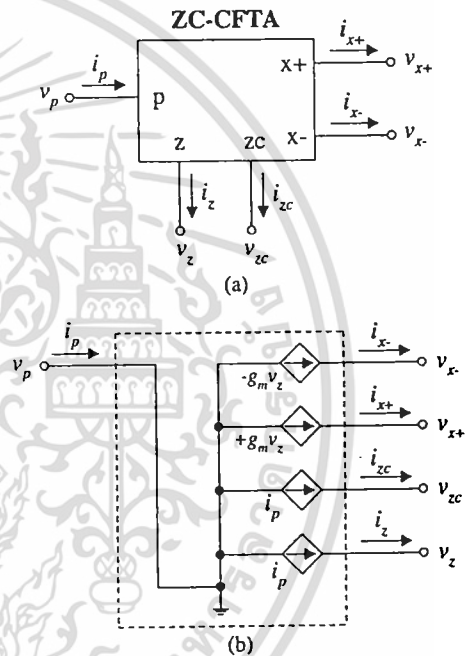


Fig. 1 — ZC-CFTA (a) circuit symbol (b) equivalent circuit

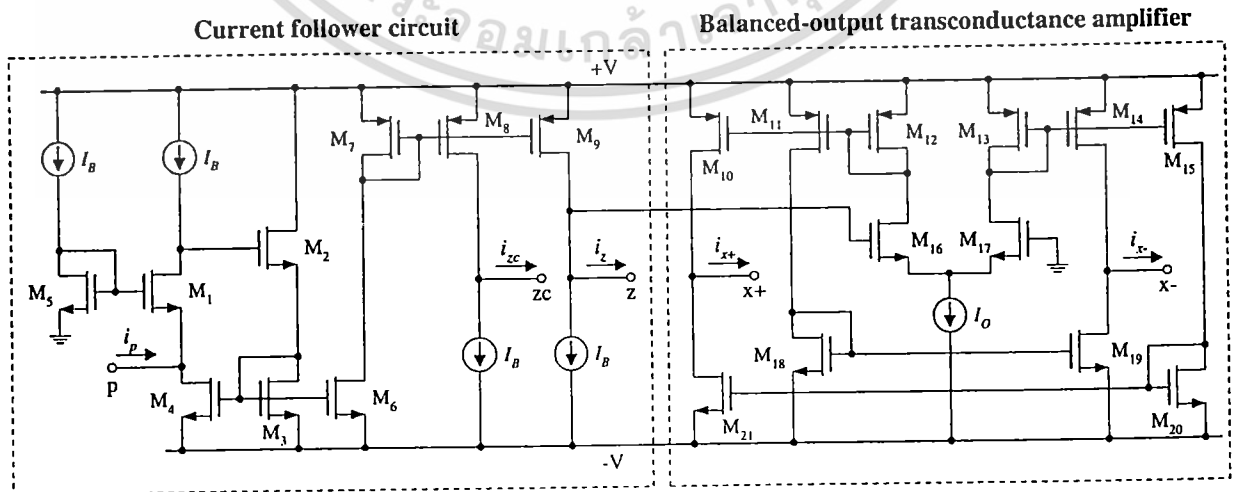


Fig. 2 — Schematic CMOS implementation of the ZC-CFTA

เอกสารนี้เป็นเอกสารที่สงวนไว้สำหรับการใช้งานเพื่อการศึกษาเท่านั้น ไม่อนุญาตให้นำไปใช้ประโยชน์ด้านการค้า ไม่ว่าจะกรณีใดๆทั้งสิ้น อีกทั้งห้ามมิให้ดัดแปลงเนื้อหา และต้องอ้างอิงถึงเจ้าของเอกสารทุกครั้งที่มีการนำไปใช้

$$g_m = \sqrt{I_0 \mu_0 C_{ox} \frac{W}{L}} \quad \dots(2)$$

where μ_0 is the free electron mobility in the channel, C_{ox} is the gate oxide capacitance per unit area and W and L are the channel width and length, respectively.

3 Proposed Current-Mode KHN Biquad Filter

Figure 3 shows the block diagram for realizing the proposed current-mode KHN-equivalent biquad. It consists of two lossless integrators ($1/s\tau_1$ and $1/s\tau_2$), a summer and proportional gain blocks (1 and K). Using ZC-CFTA as active element for signal processing, the proposed current-mode KHN-equivalent filter is shown in Fig. 4. The circuit structure contains two integrators¹⁶ (ZC-CFTA1, C_1 and ZC-CFTA2, C_2) and current-controlled gain block (ZC-CFTA3 and ZC-CFTA4). Note that the circuit uses only grounded capacitors as passive elements, thus, it is advantageous from integration point of view. Another advantage is that it has a low-input impedance and high-output impedance property, thereby permitting easy cascading. Routine analysis of the proposed circuit given in Fig. 4 gives the following filter transfer functions:

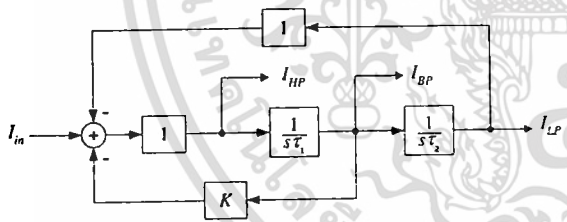


Fig. 3 — Signal processing block diagram for realizing current-mode KHN biquad

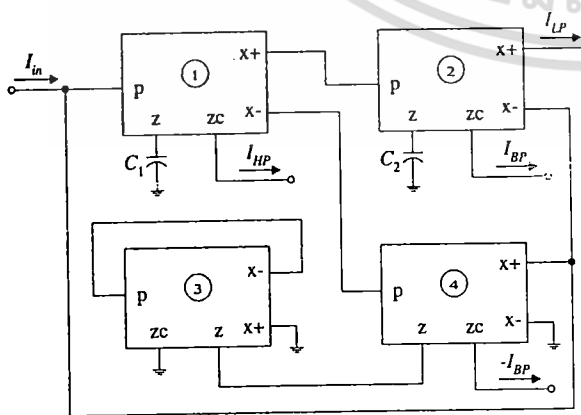


Fig. 4 — Proposed current-mode KHN biquad filter using ZC-CFTAs

$$HP(s) = \frac{I_{HP}(s)}{I_{in}(s)} = \frac{s^2}{D(s)} \quad \dots(3)$$

$$BP(s) = \frac{I_{BP}(s)}{I_{in}(s)} = \frac{\left(\frac{g_{m1}g_{m4}}{g_{m3}C_1}\right)s}{D(s)} \quad \dots(4)$$

$$LP(s) = \frac{I_{LP}(s)}{I_{in}(s)} = \frac{\left(\frac{g_{m1}g_{m2}}{C_1C_2}\right)}{D(s)} \quad \dots(5)$$

$$\text{and } D(s) = s^2 + \left(\frac{g_{m1}g_{m4}}{g_{m3}C_1}\right)s + \left(\frac{g_{m1}g_{m2}}{C_1C_2}\right). \quad \dots(6)$$

Therefore, the proposed filter simultaneously realizes second-order HP, BP and LP current responses without requiring any component matching condition.

Moreover, the relevant output currents in Eqs (3)-(5) can be tied together to obtain the BS and AP responses without any condition or additional circuitry as follows:

$$BS(s) = I_{LP}(s) + I_{HP}(s) \quad \dots(7)$$

$$\text{and } AP(s) = I_{LP}(s) - I_{BP}(s) + I_{HP}(s) \quad \dots(8)$$

The important parameters ω_0 and Q of this filter are found as:

$$\omega_0 = \sqrt{\frac{g_{m1}g_{m2}}{C_1C_2}} \quad \dots(9)$$

$$\text{and } Q = \frac{g_{m3}}{g_{m4}} \sqrt{\frac{g_{m2}C_1}{g_{m1}C_2}} \quad \dots(10)$$

where g_{mi} and I_{0i} refer to g_m and I_0 of the i -th ZC-CFTA ($i = 1, 2, 3, 4$).

Furthermore, for simplicity, substituting $g_{m1} = g_{m2} = g_m$ ($I_{01} = I_{02} = I_0$) and $C_1 = C_2 = C$ in Eqs (9) and (10) yields the following expressions:

$$\omega_0 = \frac{g_m}{C} \quad \dots(11)$$

$$\text{and } Q = \frac{g_{m3}}{g_{m4}} \quad \dots(12)$$

It should be noted from Eqs (11) and (12) that the filter parameters ω_0 and Q are independently controllable. This means that the ω_0 for all filter responses can electronically be tuned without disturbing the Q -value by adjusting g_m . Also, the parameter Q can be tuned independently by the ratio of g_{m3} and g_{m4} . Therefore, the high- Q filters can be obtained by setting this ratio properly.

4 Tracking Errors and Sensitivity Analysis

By taking the ZC-CFTA non-idealities into consideration, the port relation in Eq. (1) can be rewritten as:

$$\begin{bmatrix} v_p \\ i_z \\ i_{zc} \\ i_{x+} \\ i_{x-} \end{bmatrix} = \begin{bmatrix} 0 & 0 & 0 & 0 & 0 \\ \alpha_i & 0 & 0 & 0 & 0 \\ \alpha_i & 0 & 0 & 0 & 0 \\ 0 & +g_m & 0 & 0 & 0 \\ 0 & -g_m & 0 & 0 & 0 \end{bmatrix} \begin{bmatrix} i_p \\ v_z \\ v_{zc} \\ v_{x+} \\ v_{x-} \end{bmatrix} \dots(13)$$

where $\alpha_i = 1 - \varepsilon_i$ and ε_i ($|\varepsilon_i| \ll 1$) represents the current tracking error from p to z or zc terminals of the i -th ZC-CFTA. Re-analyzing the proposed circuit of Fig. 4 with Eq. (13) yields the following non-ideal parameters :

$$\omega_0 = \sqrt{\frac{\alpha_1 \alpha_2 g_{m1} g_{m2}}{C_1 C_2}} \dots(14)$$

$$\text{and } Q = \frac{\alpha_3 g_{m3}}{\alpha_4 g_{m4}} \sqrt{\frac{\alpha_2 g_{m2} C_1}{\alpha_1 g_{m1} C_2}} \dots(15)$$

It is evident that the values ω_0 and Q slightly change by the effect of the ZC-CFTA current tracking error. However, these deviations may be compensated by re-adjusting the g_m -value appropriately. Thus, the desired parameter values can still be satisfied. From Eqs (14) and (15), all the active and passive sensitivities are within unity in magnitude.

5 Simulation Results

To prove the theoretical validity of the filter proposed in Fig. 4, this filter was simulated with PSPICE program. The ZC-CFTAs were simulated using the CMOS implementation given in Fig. 2 based on the 0.35 μm Taiwan Semiconductor Manufacturing Company (TSMC) process parameters. The aspect ratios of the MOS transistors

are presented in Table 1. The supply voltages are $+V = -V = 3 \text{ V}$, and all the biasing currents (I_B) which are realized by the simple current mirror circuits are set to $50 \mu\text{A}$. For all simulations, the capacitance values were chosen as: $C_1 = C_2 = 20 \text{ pF}$.

In order to realize the filter responses with a natural frequency of $f_0 = \omega_0/2\pi \cong 3.23 \text{ MHz}$ and a quality factor of $Q = 1$, the following setting for the presented filter of Fig. 4 have been selected as : $g_{m1} = g_{m2} = g_{m3} = g_{m4} = 405 \mu\text{A/V}$ ($I_{O1} = I_{O2} = I_{O3} = I_{O4} = 40 \mu\text{A}$), which results in total power consumption of about 9 mW. Fig. 5 shows the simulation results for HP, BP, LP and BS filter characteristics. The gain and phase responses of the AP filter configuration are also shown in Fig. 6. In addition, time domain simulation results for the LP, BP and HP responses of the proposed filter in Fig. 4, are shown in Fig. 7, in which a 3.22-MHz sinusoidal input current signal with 20 μA peak value is applied to the filter. In Fig. 7, the dotted lines represent ideal response while the solid lines denote simulated responses. It can be observed from Figs 5-7 that the proposed filter performs all the standard biquadratic filtering functions well and the simulation results are close to ideal responses.

To demonstrate the electronic controllability of f_0 , the tuning bias currents g_m ($= g_{m1} = g_{m2}$) were

Table 1 — Transistor dimensions of the CMOS ZC-CFTA circuit in Fig. 2

| Transistors | W (μm) | L (μm) |
|-----------------------------------|---------------------|---------------------|
| M ₁ – M ₆ | 5.6 | 0.7 |
| M ₇ – M ₁₅ | 7 | 0.7 |
| M ₁₆ – M ₂₁ | 14 | 0.7 |

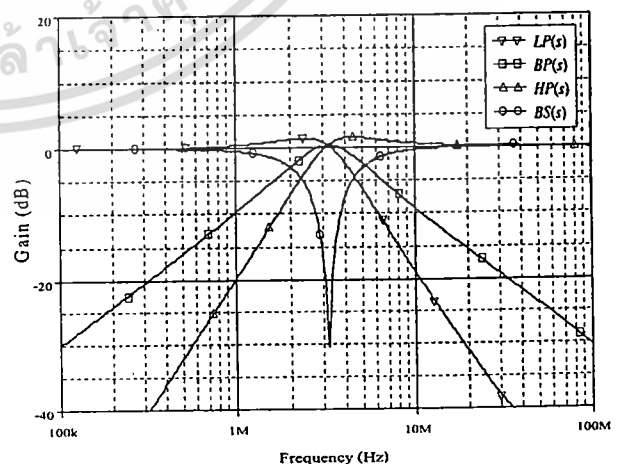


Fig. 5 — Simulated LP, BP, HP and BS responses for the proposed filter in Fig. 4

เอกสารนี้เป็นเอกสารที่สงวนไว้สำหรับการใช้งานเพื่อการศึกษาเท่านั้น ไม่นอนุญาตให้นำไปใช้ประโยชน์ด้านการค้า ไม่ว่าจะกรณีใดๆทั้งสิ้น อีกทั้งห้ามมิให้ดัดแปลงเนื้อหา และต้องอ้างอิงถึงเจ้าของเอกสารทุกครั้งที่มีการนำไปใช้

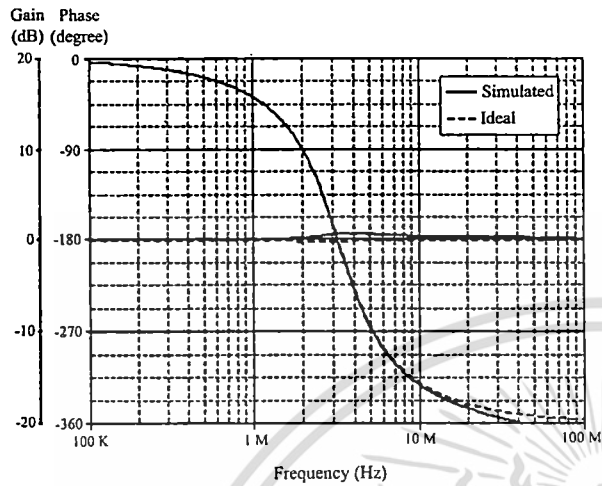


Fig. 6 — Ideal and simulated gain and phase responses of the AP filter configuration in Fig. 4

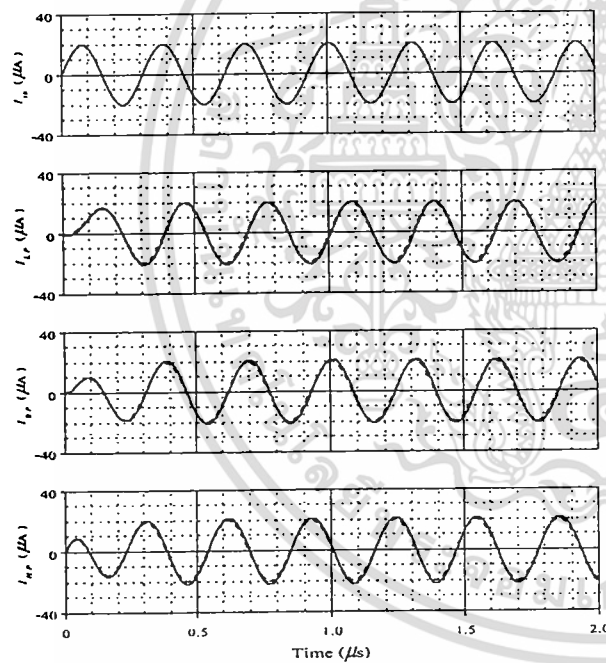


Fig.7 — Time domain responses of LP, BP and HP filters for the proposed filter in Fig. 4

respectively varied to 10, 40 and 160 μA , while keeping $I_{O3} = I_{O4} = 40 \mu\text{A}$ for $Q = 1$. In this setting, the f_0 -values calculated from Eq. (11) are approximated to 1.61, 3.22 and 6.45 MHz, respectively. The resulting responses of the BP filter corresponding to different bias currents I_O are shown in Fig. 8. From the simulations, the corresponding f_0 are found as 1.62, 3.23 and 6.02 MHz, respectively.

Fig. 9 shows the simulated BP responses with Q -tuning (i.e., $Q = 1, 2$ and 4). In this case, the bias

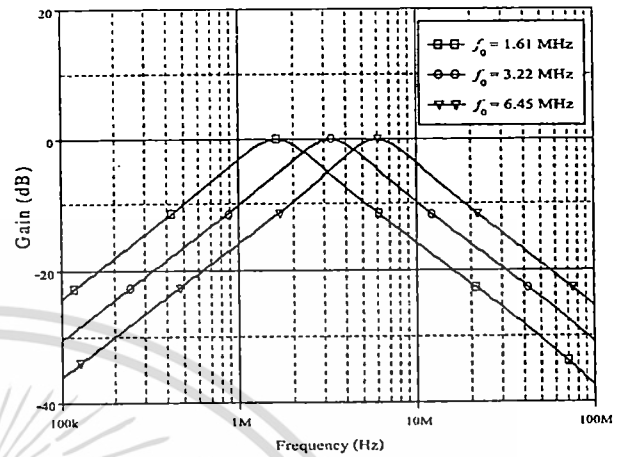


Fig. 8 — Simulated frequency responses of the BP filter when f_0 is varied and $Q = 1$

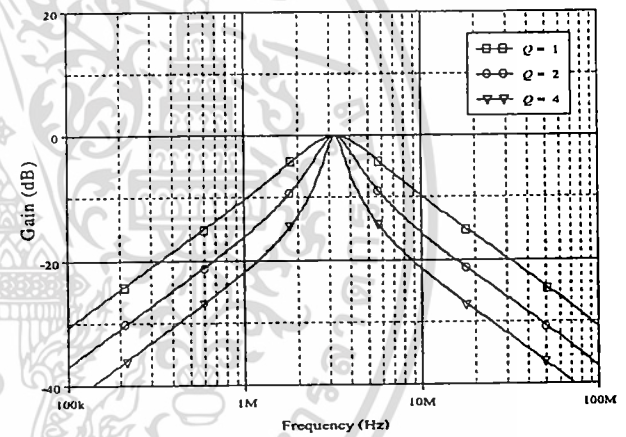


Fig. 9 — Simulated frequency responses of the BP filter when Q is varied and $f_0 \cong 3.22 \text{ MHz}$

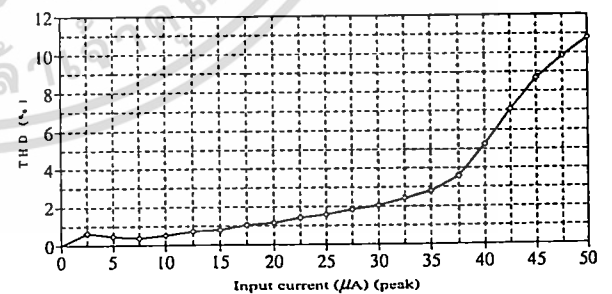


Fig. 10 — THD variations of the proposed filter versus amplitude of the applied sinusoidal current signal at 3.22 MHz

currents were chosen as: $I_{O1} = I_{O2} = 40 \mu\text{A}$, $I_{O4} = 10 \mu\text{A}$, and $I_{O3} = 10 \mu\text{A}, 40 \mu\text{A}, 160 \mu\text{A}$, respectively. Note that the high- Q filter can be realized from high value of I_{O3} . Furthermore, the total harmonic distortion (THD) variations of BP response on the

เอกสารนี้เป็นเอกสารที่สงวนไว้สำหรับการใช้งานเพื่อการศึกษาเท่านั้น ไม่นอนุญาตให้นำไปใช้ประโยชน์ด้านการค้า
ไม่ว่ากรณีใดๆทั้งสิ้น อีกทั้งห้ามมิให้ดัดแปลงเนื้อหา และต้องอ้างอิงถึงเจ้าของเอกสารทุกครั้งที่มีการนำไปใช้

amplitude of the sinusoidal input current signal at 3.22 MHz are shown in Fig. 10.

6 Conclusions

The realization of current-mode KHN-equivalent biquad using ZC-CFTAs has been described. The circuit structure employs four ZC-CFTAs and two grounded capacitors, which is convenient for integration. The filter simultaneously realizes LP, BP and HP current responses from the same topology and it can easily be modified to realize BS and AP functions. The circuit also provides independent current control of ω_b and Q , and the filter with high Q value can be obtained by simply tuning the ratio of ZC-CFTA's bias currents. It has both low-input and high-output impedance, thereby permitting easy cascading. Also, the described circuit requires no component matching conditions and has low sensitivities.

Acknowledgement

This work was supported by the Office of the Higher Education Commission, Ministry of Education, Thailand, under the research project title "Higher Education Research Promotion".

References

- 1 Kerwin W, Huelsman L & Newcomb R, *IEEE J Solid-State Circuits*, SC-2 (1967) 87.
- 2 Koton J, Herencsar N & Vrba K, *Int J Electron*, 197 (2010) 531.
- 3 Soliman A M, *Electron Lett*, 30 (1994) 2019.
- 4 Senani R & Singh V K, *Electron Lett*, 31 (1995) 626.
- 5 Khaled N S & Soliman A M, *Frequenz*, 54 (2000) 90.
- 6 Koton J, Herencsar N & Vrba K, *Int J Electron Commun (AEU)*, 65(2011) 154.
- 7 Altuntas E & Toker A, *Int J Electron Commun (AEU)*, 56 (2002) 45.
- 8 Toker A, Ozoguz S & Acar C, *Electron Lett*, 35 (1999) 1682.
- 9 Ibrahim M A, Minaei, S & Kuntman H, *Int J Electron Commun (AEU)*, 59 (2005) 311.
- 10 Herencsar N, Koton J & Vrba K, *IEICE Trans Fundamentals*, E93-A (2010) 1816.
- 11 Biolkova D, Senani R, Biolkova V & Kolka Z, *Radioengineering*, 17 (2008) 15.
- 12 Biolkova D, *Proc ECCTD'03*, Vol III, Poland; pp 397-400, 2003.
- 13 Herencsar N, Koton J, Vrba K & Lattenberg I, *J Active and Passive Electronic Devices*, 6 (2011) 217.
- 14 Tangsrirat W, Klahan K, Dumawipata T & Surakampontorn W, *Int J Electron*, 93 (2006) 777.
- 15 Bhaskar D R, Singh A K, Sharma R K & Senani R, *IEICE Electronics Express*, 2 (2005) 8.
- 16 Tangsrirat W & Tanjaroen W, *Circuits, Syst Signal Process*, 27 (2008) 81.

Indian Journal of Pure and Applied Physics

<http://www.niscair.res.in>; <http://nopr.niscair.res.in>, Impact Factor: 0.763 (JCR 2011)

VOLUME 50

NUMBER 8

AUGUST 2012

CODEN:IJOPAU 50(8) 543-612

ISSN:0019-5596 (Print); 0975-1041 (Online)

CONTENTS

Atomic and Molecular Physics

- New gallium(III) complex-synthesis, spectral characterization and cytotoxicity 547
Irena Kostova* & Tsvetanka Stefanova
- Model for up-conversion luminescence in silver nanoparticles embedded erbium-doped tellurite glass 555
S K Ghoshal*, M R Sahar, M R Dousti, S Sharma, M S Rohani, R Arifin & K Hamzah
- Thermoluminescence characteristics of natural kyanite — A study on non pre-heated and pre-heated sample 566
G Wary & J M Kalita*

Condensed Matter: Structural, Mechanical and Thermal Properties

- Theoretical study of spin splitting in parabolic semiconductor quantum dots 571
Manish K Bafna*, Pratima Sen & P K Sen
- Solvothermal synthesis and crystal structure of aluminogermanate halide sodalites using organic solvent 576
Ashok V Borhade*, Arun G Dholi, Dipak R Tope & S G Wakchaure
- Vapour-liquid equilibria in binary systems formed by methylocyclopentane with alcohols 583
Andrzej Kosowski & Paweł Gierycz*

Interdisciplinary Physics and Related Areas of Science and Technology

- Design and development of atomic flux controller for cesium Fountain clock at NPL, India 593
Kavindra Pant*, Poonam Arora, Suchi Yadav & Amitava Sen Gupta
- Current-mode high-Q bandpass filter and mixed-mode quadrature oscillator using ZC-CFTAs and grounded capacitors 600
Worapong Tangsrirot*, Praty Mongkolwai & Tattaya Pukkalanun

Authors for correspondence are indicated by (*)

Current-mode high- Q bandpass filter and mixed-mode quadrature oscillator using ZC-CFTAs and grounded capacitors

Worapong Tangsrirat*, Praty Mongkolwai & Tattaya Pukkalanun

Faculty of Engineering, King Mongkut's Institute of Technology Ladkrabang (KMUTL),
Chalongkrung Road, Ladkrabang, Bangkok 10520, Thailand

*E-mail: drworapong@yahoo.com

Received 19 September 2011; revised 22 March 2012; accepted 24 May 2012

This paper presents the realization of the current-mode bandpass filter and mixed-mode quadrature oscillator both from the same circuit configuration. The proposed circuit is in the resistor-less structure, which contains only four z-copy current follower transconductance amplifiers (ZC-CFTAs) as active components together with two grounded capacitors as passive components. As the first configuration, the current-mode BP filter with high quality factor (Q) is proposed. The center frequency (ω_0) and the Q of the circuit are orthogonal adjustable via the g_m -value of the ZC-CFTA. From the same topology, the mixed-mode quadrature oscillator can easily be realized that is capable of generating two explicit quadrature current outputs and two quadrature voltage outputs, simultaneously. Moreover, the realized oscillator also provides the advantage of orthogonal electronic control of the oscillation condition and oscillation frequency, which makes it suitable as variable frequency oscillator. PSPICE simulation results using bipolar ZC-CFTA have been given to verify the workability of the two proposed circuits.

Keywords: Z-Copy Current Follower Transconductance Amplifier, Bandpass filter, Quadrature oscillator

1 Introduction

A high- Q bandpass (BP) filter is one of the most essential networks, which is widely used in several analog signal processing systems, such as electronic measurement and instrument systems and communication systems^{1,2}. As a result, a number of high- Q (narrow-band) BP filters have been reported in technical literature¹⁻⁵. Most of these circuits use operational amplifiers (OAs) operated in voltage-mode¹⁻⁴. However, they exhibit several drawbacks in their performance arising from the limited bandwidth and slew rate of an OA and require an excessive number of active and passive elements. The recent one using current controlled current conveyors (CCCIIs) was reported⁵. It still operates in voltage mode and consists of two floating capacitor that is not suitable for monolithic implementation. In the last decade, current-mode (CM) approach has been increasingly recognized as a way to overcome the OA drawbacks and to realize high-frequency systems. As a result, various new CM high- Q BP filters have been designed using different high-performance active elements⁶⁻⁹. However, the studies in Refs (6,7) require a lot of passive components and do not provide an electronic controllability. Although the CCCII-based circuits in mentioned in Refs (8,9) enjoy electronic tuning through the parasitic resistance at x -terminal

(R_x), they still contain an external passive resistor and floating capacitors.

The quadrature sinusoidal oscillator also plays an essential electronic circuit, because it can produce two sinusoidal outputs of identical frequency but of 90° phase shift, as for example in telecommunications for quadrature mixers and single-sideband generators or for measurement purposes in vector generator or selective voltmeters. Therefore, the quadrature oscillator is widely used in many communications, signal processing and instrumentation systems. Many quadrature oscillator circuits have been reported¹⁰⁻²⁵. Note that these earlier quadrature oscillators operated in either voltage-mode¹⁰⁻¹⁹ or current-mode²⁰⁻²⁵. In analog signal processing applications, it may be desirable to have quadrature oscillators with voltage and/or current outputs; these are mixed-mode quadrature oscillators. A careful inspection of available technical literature reveals that mixed-mode quadrature oscillator realizations are available²⁶⁻³¹. However, no circuit realization is available for realizing both CM high- Q BP filter and mixed-mode quadrature oscillator without changing circuit topology. Moreover, some external passive resistors²⁶⁻²⁹, which makes the integration of the quadrature oscillator difficult.

Recently, the conception of the z-copy current follower transconductance amplifier (ZC-CFTA) has firstly been suggested³². The ZC-CFTA is slightly modified from the conventional current differencing transconductance amplifier³³ (CDTA) by replacing the current differencing unit with a current follower and complementing the circuit with a simple current mirror for copying the z-terminal current. Thus, the ZC-CFTA element is a combination of the current follower, the current mirror and the multi-output operational transconductance amplifier. As a result, a number of applications based on ZC-CFTAs can be extended³⁴.

This paper presents the circuit configuration for simultaneously realizing CM high- Q BP filter and mixed-mode quadrature oscillator. The presented circuit employs four ZC-CFTAs and only two grounded capacitors without needing any external passive resistor. The use of only grounded capacitors as passive elements is very suitable for monolithic integration point of view. For the first proposed CM BP filter realization, its important parameters, i.e., the center frequency (ω_0) and the quality factor (Q), are independently adjustable by electronic means through the ZC-CFTA's transconductance. It is also demonstrated that the parameter Q of the resulting filter can assume very large value. Another notable feature of the proposed circuit is that it can also be performed as the oscillator to provide two explicit quadrature current outputs and two quadrature voltage outputs, and thus can be classified as a mixed-mode quadrature oscillator. The oscillation condition and oscillation frequency of the oscillator are separately controlled by separate transconductances. Simulation results obtained from PSPICE are employed to verify the theoretical analysis of the presented circuit.

2 Description of ZC-CFTA

The schematic symbol and ideal behavioral model of the ZC-CFTA are shown in Fig. 1(a and b), respectively. The corresponding circuit relations can be arranged in the following matrix expression:

$$\begin{bmatrix} v_p \\ i_z \\ i_{zc} \\ i_{x+} \\ i_{x-} \end{bmatrix} = \begin{bmatrix} 0 & 0 & 0 & 0 & 0 \\ 1 & 0 & 0 & 0 & 0 \\ 1 & 0 & 0 & 0 & 0 \\ 0 & +g_m & 0 & 0 & 0 \\ 0 & -g_m & 0 & 0 & 0 \end{bmatrix} \begin{bmatrix} i_p \\ v_z \\ v_{zc} \\ v_{x+} \\ v_{x-} \end{bmatrix} \quad \dots(1)$$

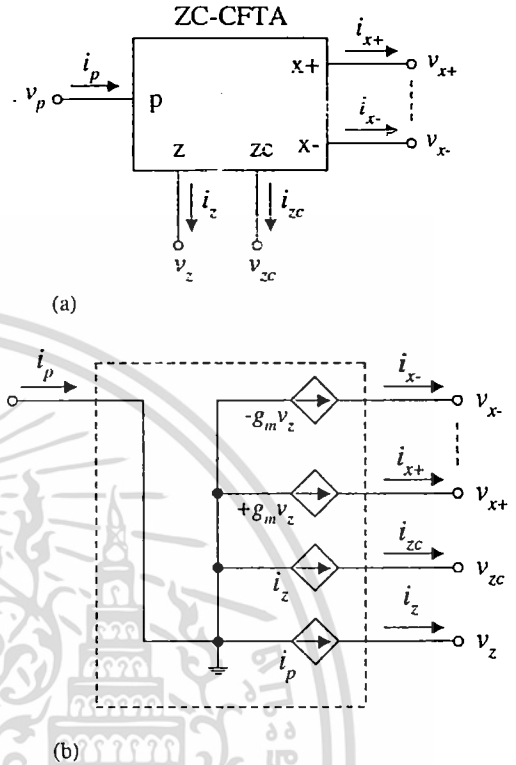


Fig. 1 — ZC-CFTA (a) electrical symbol (b) equivalent circuit

where g_m is the transconductance gain of the ZC-CFTA, which can be controlled electronically. As indicated in Fig. 1(b) and Eq. (1), the ZC-CFTA device is derived from the CDTA by leaving out the input terminal n and extending the circuit with an auxiliary terminal z , called zc . Thus, this device has one low-impedance current input p and high-impedance current outputs at the terminals z , zc , $x+$ and $x-$.

Figure 2 shows the possible bipolar technology implementation of the ZC-CFTA, which is slightly modified from the structure given in Ref. 35. It is mainly composed of a current follower circuit formed by transistors Q_1 - Q_7 and a multiple-output transconductance amplifier Q_8 - Q_{26} . In this case, the transconductance gain g_m of the ZC-CFTA is directly proportional to the external bias current I_0 , which is equal to:

$$g_m = \frac{I_0}{2V_T} \quad \dots(2)$$

where V_T is the usual thermal voltage (approximately 26 mV at room temperature 27°C).

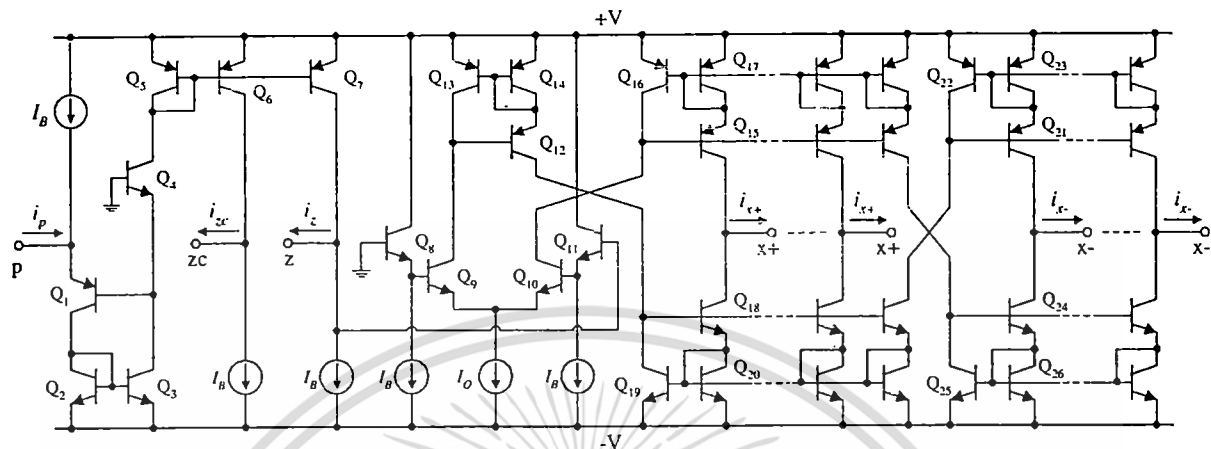


Fig. 2 — Possible bipolar implementation of the ZC-CFTA.

3 Single ZC-CFTA based Current-Mode First-Order Allpass Section

As is well known, a very high-*Q* BP filter can be effectively realized employing first-order AP sections¹⁻³. In this section, we therefore present the resistor-less realization of CM first-order AP section. Figure 3 shows the schematic diagram of the CM first-order AP section using a single ZC-CFTA and one grounded capacitor. Routine circuit analysis leads to the following current transfer function :

$$\frac{I_{out}(s)}{I_{in}(s)} = \frac{s - \frac{g_m}{C}}{s + \frac{g_m}{C}} \dots(3)$$

Clearly, the pole frequency (ω_b) and the phase response (ϕ) of the circuit are obtained as:

$$\omega_o = \frac{g_m}{C} \dots(4)$$

$$\text{and } \phi = -2 \tan^{-1} \left(\frac{\omega C}{g_m} \right) \dots(5)$$

It should be noted from Eq. (5) that an electronic control of the phase response (ϕ) can be accomplished by tuning the g_m -value of the ZC-CFTA. Moreover, the suggested AP section also exhibits low-input and high-output impedances, enabling an easy cascading in current-input current-output operations.

4 Proposed Circuit Configurations

4.1 Proposed current-mode high-Q bandpass filter

The proposed CM high-*Q* BP filter is shown in Fig.4. The circuit structure contains two AP sections

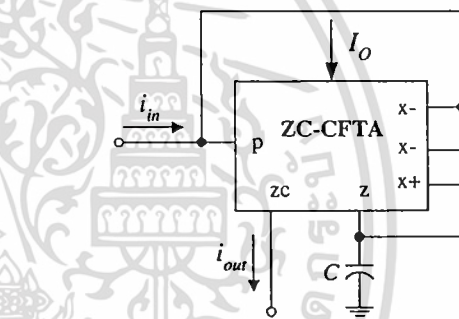


Fig. 3 — CM first-order AP section using single ZC-CFTA

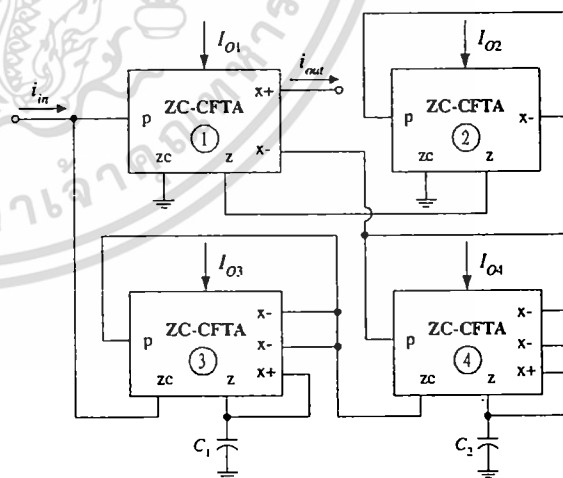


Fig. 4 — Proposed current-mode high-*Q* BP filter

(ZC-CFTA3, C_1 and ZC-CFTA4, C_2) of Fig. 3 and the current-controlled current amplifier (ZC-CFTA1 and ZC-CFTA2) [36]. Note that the circuit uses only grounded capacitors as passive elements, thus, it is

advantageous from integration point of view. Another advantage is that it has a low-input impedance and high-output impedance property, thereby permitting easy cascadability. In general, for simplicity, grounded capacitors and bias currents of the ZC-CFTAs in two AP sections are chosen to be equal to each other, i.e. $C_1 = C_2 = C$ and $I_{O3} = I_{O4} = I_O$ ($g_{m3} = g_{m4} = g_m$). Hence, routine circuit analysis of the proposed circuit as shown in Fig. 4 gives the following current transfer function :

$$\frac{I_{out}(s)}{I_{in}(s)} = \left(\frac{K}{1+K} \right) \left[\frac{\left(s + \frac{g_m}{C} \right)^2}{s^2 + 2 \left(\frac{1-K}{1+K} \right) \left(\frac{g_m}{C} \right) s + \left(\frac{g_m}{C} \right)^2} \right] \dots (6)$$

where $K = g_{m1}/g_{m2} = I_{O1}/I_{O2}$ is the gain of the current amplifier.

From Eq. (6), we then obtain the important parameters ω_o and Q of this filter as:

$$\omega_o = \frac{g_m}{C} = \frac{I_O}{2V_T C} \dots (7)$$

$$\text{and } Q = \frac{1}{2} \left(\frac{1+K}{1-K} \right) = \frac{1}{2} \left(\frac{I_{O2} + I_{O1}}{I_{O2} - I_{O1}} \right) \dots (8)$$

Substituting Eqs (7) and (8) into Eq. (6), Eq. (6) may be simplified to:

$$\frac{I_{out}(s)}{I_{in}(s)} = \left(\frac{2Q-1}{4} \right) \left[\frac{\left(\frac{s + \omega_o}{Q} \right)^2}{s^2 + \left(\frac{\omega_o}{Q} \right) s + \omega_o^2} \right] \dots (9)$$

One can see that the realized filter function is an approximated BP function³. This is due to the fact that the transfer function in Eq. (9) has a double zero at $\omega = \omega_o$, while an ideal BP filter function has a simple zero at origin. Consequently, the frequency response of this function exhibits both gain and phase characteristics similar to an ideal BP response at frequencies closed to ω_o , but exhibits some deviations in both gain and phase at frequencies above and below ω_o . Eqs (7) and (8) reveal that the filter parameters ω_o and Q are orthogonally adjustable. This means that ω_o can be adjusted electronically by changing I_O without disturbing the Q -value. Also, the Q -value can be tuned electronically through I_{O1} and I_{O2} without effecting ω_o . Moreover, a high Q -value

BP filters will be obtained from moderate values of the ratio of I_{O1} and I_{O2} .

In a very high- Q filter implementation ($K \cong 1$), the sensitivity of Q with respect to K is:

$$S_K^Q \cong Q. \dots (10.1)$$

This sensitivity factor is identical to that previously determined^{3,4,7,9}, but the configuration requires no external passive resistor. It is also clear that the sensitivity S_K^Q could be significantly increased if the Q -value increases.

4.2 Proposed Mixed-Mode Quadrature Oscillator

From the proposed configuration of Fig. 4, the mixed-mode quadrature oscillator circuit with current and voltage outputs can easily be obtained by leaving out i_{in} . The resulting circuit is shown in Fig. 5. According to Eq. (6) and the feedback theory, the system characteristic equation can be expressed as:

$$s^2 + 2 \left(\frac{1-K}{1+K} \right) \left(\frac{g_m}{C} \right) s + \left(\frac{g_m}{C} \right)^2 = 0 \dots (10.2)$$

Replacing $s = j\omega$, and equating real and imaginary parts, this results in the condition of oscillation (CO) as:

$$I_{O1} = I_{O2} \dots (11)$$

and the frequency of oscillation (FO) as:

$$\omega_o = \frac{g_m}{C} = \frac{I_O}{2V_T C} \dots (12)$$

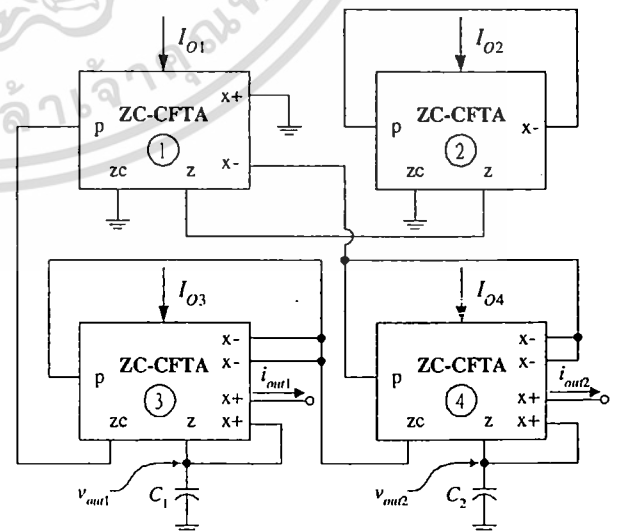


Fig. 5 — Proposed mixed-mode quadrature oscillator

เอกสารนี้เป็นเอกสารที่สงวนไว้สำหรับการใช้งานเพื่อการศึกษาเท่านั้น ไม่นอนุญาตให้นำไปใช้ประโยชน์ด้านการค้า
ไม่ว่ากรณีใดๆทั้งสิ้น อีกทั้งห้ามมิให้ดัดแปลงเนื้อหา และต้องอ้างอิงถึงเจ้าของเอกสารทุกครั้งที่มีการนำไปใช้

Eqs (11) and (12) indicate that I_{O1} and/or I_{O2} can independently control the CO without interfering with the FO. Similarly, the FO is maintained independent of the CO by adjusting I_O . Thus, the described circuit provides non-interactive control of the CO and FO.

At oscillating frequency, it can easily be shown from Fig. 5 that the various current and voltage outputs are related as :

$$I_{out2} = jI_{out1} \quad \dots(13)$$

$$\text{and } V_{out2} = jV_{out1} \quad \dots(14)$$

It is evident from Eqs (13) and (14) that the two marked quadrature currents and the two marked quadrature voltages are obtained with equal magnitudes. Also, note that the oscillator exhibits current outputs from high-impedance terminals for explicit utilization, while the two quadrature voltages are to be buffered before use.

5 Simulation Results

The behaviour of the proposed circuit have been confirmed by PSPICE simulations. In simulations, the ZC-CFTA was performed by the schematic bipolar implementation as shown in Fig. 2. In the design, the transistor model parameters PR100N (PNP) and NR100N (NPN) of the bipolar arrays ALA400 from AT&T were used. The *dc* supply voltages of $\pm 3V$ and all bias currents $I_B = 100 \mu A$ were chosen. For all the following simulations, the capacitance values were chosen as : $C_1 = C_2 = 1 \text{ nF}$.

Figure 6 shows the ideal and simulated frequency responses of the developed AP section of Fig. 3 for different values of I_O . For this purpose, the bias current I_O is varied from $50 \mu A$, $100 \mu A$ to $150 \mu A$, which results in a 90° -phase shift at $f_o = \omega/2\pi \cong 153, 306$ and 459 kHz , respectively. The simulation results agree very well with the theory.

Figure 7 shows the frequency responses of the proposed BP filter of Fig.4 compared with the idea BP filter. The active and passive components were set to $I_{O1} = 199 \mu A$, $I_{O2} = 201 \mu A$ and $I_{O3} = I_{O4} = I_O = 63 \mu A$, corresponding to $f_o \cong 192 \text{ kHz}$ and $Q \cong 100$. From the simulation results, it is seen that, at very near f_o , the gain and phase characteristics agree well with the ideal responses. As explained above, we also see that the results represent some deviation from an ideal curve at above and below f_o .

Next, an independent current tuning of the Q -value was demonstrated by designing the proposed BP filter

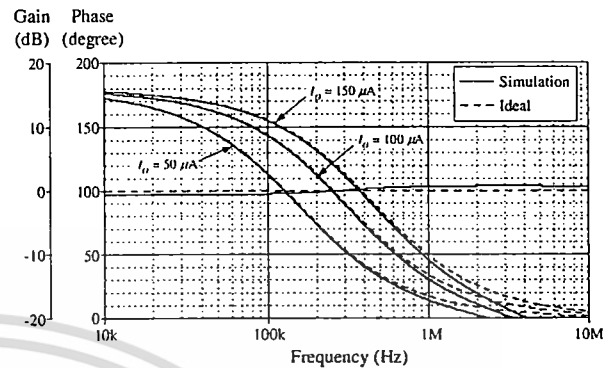


Fig. 6 — Ideal and simulated gain and phase responses of the AP section in Fig. 3

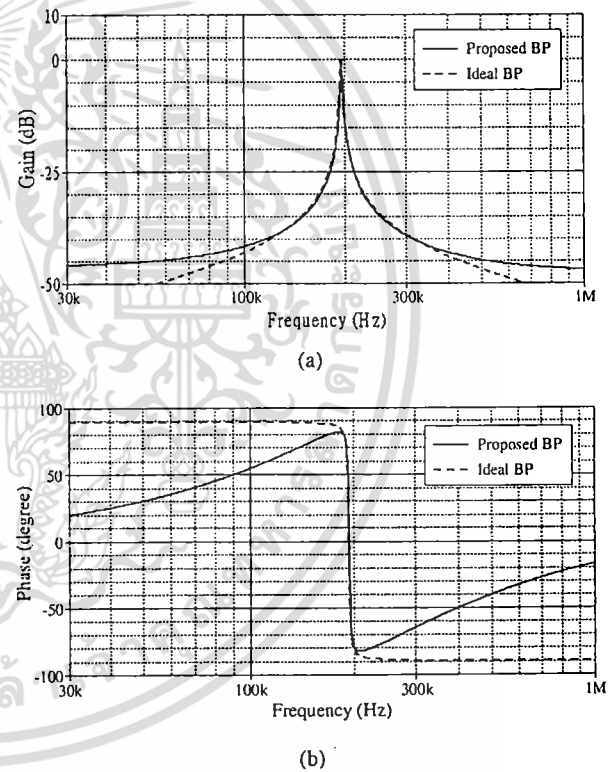


Fig. 7 — Frequency characteristics of the proposed BP filter of Fig. 4. (a) gain-frequency response (b) phase-frequency response

for $f_o \cong 192 \text{ kHz}$ and changing its Q value through I_{O1} . In this case, the circuit components were taken as: $I_{O2} = 200 \mu A$ and $I_{O3} = I_{O4} = I_O = 63 \mu A$. The corresponding results for $Q \cong 10, 50, 100$ and 200 are obtained by adjusting $I_{O1} = 180, 196, 198$ and $199 \mu A$, respectively. Fig. 8 shows the simulated gain-frequency responses which exhibit convenient Q -tuning. To demonstrate the f_o -controllability of the proposed BP filter of Fig. 4, the bias currents $I_{O3} = I_{O4}$

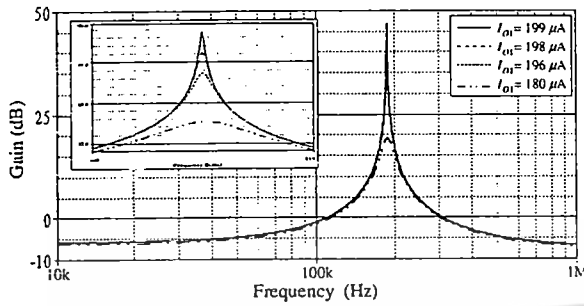
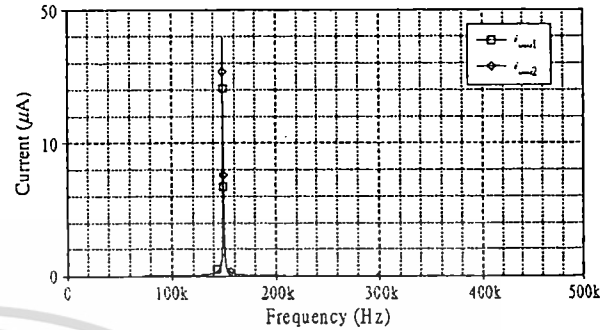


Fig. 8 — Gain-frequency response of the proposed BP filter, when its Q -value is varied



(a)

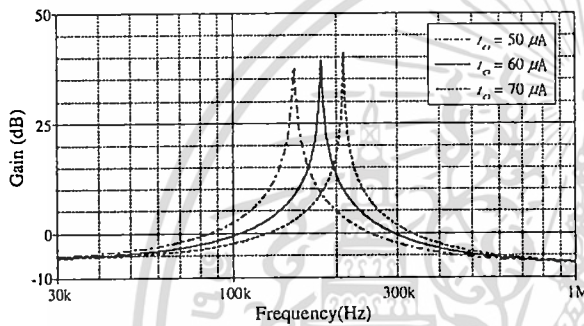
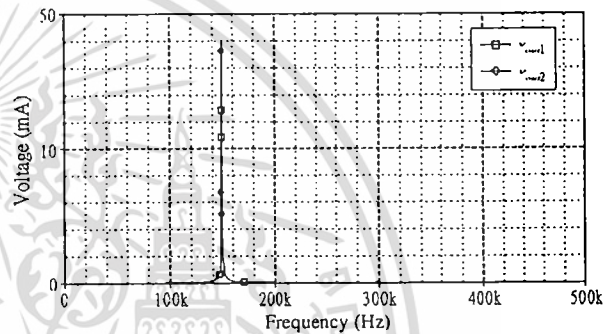
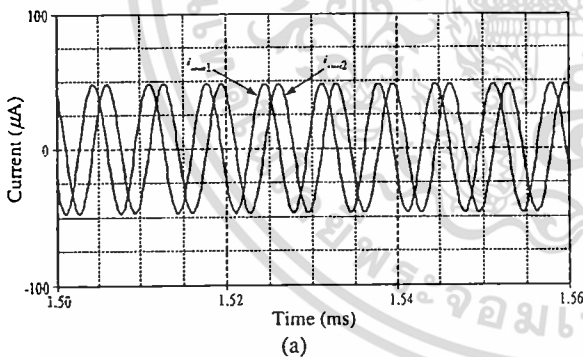


Fig. 9 — Gain-frequency response of the proposed BP filter, when its f_0 -value is varied

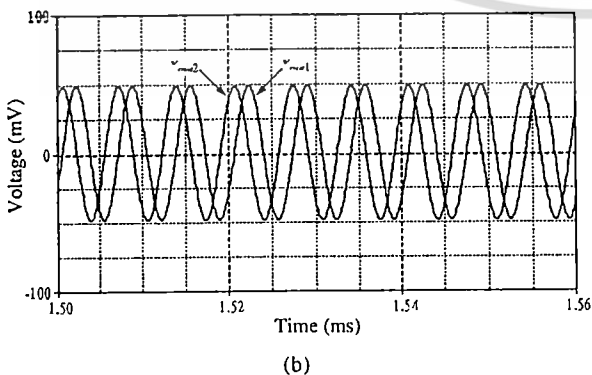


(b)

Fig. 11 — Simulated frequency spectrums of the proposed mixed-mode quadrature oscillator. (a) current outputs (b) voltage outputs



(a)



(b)

Fig. 10 — Simulated waveforms of the proposed mixed-mode quadrature oscillator. (a) current outputs (b) voltage outputs

Table 1 — THD analysis for i_{out2} of the proposed quadrature oscillator in Fig. 5

| Harmonic no. | Frequency (Hz) | Fourier component | Normalized component | Phase (Deg) | Normalized Phase |
|--|----------------|-------------------|----------------------|-------------|------------------|
| 1 | 1.530E+05 | 9.627E-06 | 1.000E+00 | -7.674E+01 | 0.000E+00 |
| 2 | 3.060E+05 | 1.851E-07 | 1.922E-02 | -3.884E+01 | 1.146E+02 |
| 3 | 4.590E+05 | 5.384E-08 | 5.593E-03 | -5.338E+00 | 1.768E+02 |
| 4 | 6.120E+05 | 4.254E-08 | 4.419E-03 | -4.407E+01 | 2.629E+02 |
| 5 | 7.650E+05 | 3.226E-08 | 3.351E-03 | -3.647E+01 | 3.472E+02 |
| DC Component = -3.558104E-07 | | | | | |
| Total Harmonic Distortion = 2.077507E+00 Percent | | | | | |

= I_O were simultaneously adjusted for $I_O = 50, 60$ and $70 \mu A$, while keeping Q constant at 100. The corresponding curves are shown in Fig. 9, which exhibit current tuning of the f_0 -value.

Figure 10 shows the simulated output waveforms of the proposed mixed-mode quadrature oscillator of Fig. 5 with $I_{O3} = I_{O4} = I_O = 50 \mu A$ ($g_{m3} = g_{m4} = g_m = 0.961 \text{ mA/V}$). This setting leads to obtain $f_0 \approx 153 \text{ kHz}$, while their simulated values are equal to $f_0 \approx 149 \text{ kHz}$. Fig. 11 shows the simulated frequency spectrums of the quadrature output waveforms. The results of total harmonic distortion (THD) analyses for i_{out2} and v_{out2} are summarized in Tables 1 and 2,

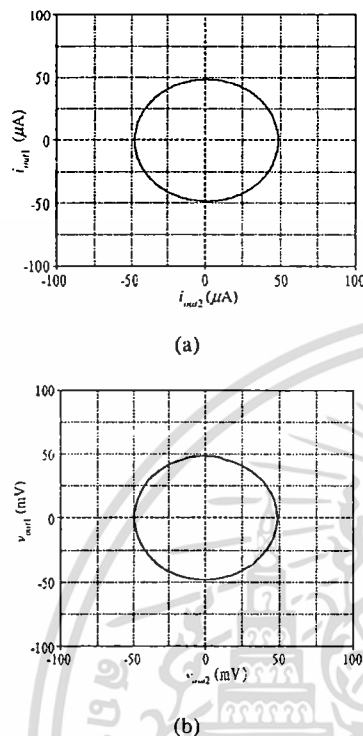


Fig. 12 — X-Y plots for the quadrature outputs. (a) current outputs (b) voltage outputs

Table 2 — THD analysis for v_{out2} of the proposed quadrature oscillator in Fig. 5

| Harmonic no. | Frequency (Hz) | Fourier component | Normalized component | Phase (Deg) | Normalized Phase |
|--------------|----------------|-------------------|----------------------|-------------|------------------|
| 1 | 1.530E+05 | 9.605E-03 | 1.000E+00 | -8.596E+01 | 0.000E+00 |
| 2 | 3.060E+05 | 1.876E-04 | 1.954E-02 | -5.445E+01 | 1.175E+02 |
| 3 | 4.590E+05 | 7.057E-05 | 7.347E-03 | -7.342E+01 | 1.845E+02 |
| 4 | 6.120E+05 | 3.549E-05 | 3.695E-03 | -6.853E+01 | 2.753E+02 |
| 5 | 7.650E+05 | 2.319E-05 | 2.414E-03 | -6.444E+01 | 3.653E+02 |

DC Component = -4.845867E-04
Total Harmonic Distortion = 2.133430E+00 Percent

respectively. The quadrature relationship between the generated waveforms has been verified using the X-Y plot (lissajous figure) and shown in Fig. 12.

6 Conclusions

This paper describes a very high- Q current-mode BP filter with electronically tunable features based on the Z-copy current follower transconductance amplifiers (ZC-CFTA). For this purpose, the current-mode first-order AP section using only one ZC-CFTA and one grounded capacitor is suggested. Then, the current-mode BP filter with high-selectivity based on the suggested AP sections is proposed. Four ZC-CFTAs together with only two grounded

capacitors are used to realize the proposed BP filter. The important filter parameters ω_b and Q can be adjusted independently/electronically by changing the bias currents of the ZC-CFTAs. Furthermore, a mixed-mode quadrature oscillator can be obtained from the same circuit configuration. The circuit offers an independent electronic control of the condition of oscillation and the frequency of oscillation, availability of two explicit quadrature current outputs and presence of two quadrature voltage signals. PSPICE simulation results verify that the characteristics of the proposed circuits are in good agreement with the predictions of the analysis performed.

Acknowledgement

The research described in this work is supported by Faculty of Engineering, King Mongkut's Institute of Technology Ladkrabang (KMITL).

References

- 1 Tarmy R & Ghausi M S, *IEEE Trans Circuit Theory*, CT-17 (1970) 358.
- 2 Moschytz G S, *Electron Lett*, 8 (1972) 458.
- 3 Comer D T, Comer D J & Gonzalez J R, *IEEE Trans Circuits and Systems II: Analog and Digital Signal Processing*, 44 (1997) 856.
- 4 Barua A, *Int J Electron Commun (AEU)*, 62 (1987) 317.
- 5 Ozoguz S, Tarim N & Zeki A, *The 44th IEEE 2001 Midwest Symposium on Circuits and Systems (MWSCAS 2001)*, 1 (2001) 134.
- 6 Toker A, Ozoguz S, Cicekoglu O & Acer C, *IEEE Trans Circuits and Systems II: Analog and Digital Signal Processing*, 47 (2000) 949.
- 7 Ozoguz S, Kuntman H & Cicekoglu O, *1st IEEE Int Conf Circuits and Systems for Communications 2002 (ICCSC'02)*, Russia (2002) 66.
- 8 Tongkulboriboon S, Petchakit W, Pawarangkoon P & Kiranon W, *Int Conf Information, Communications and Signal Processing (ICICS 2005)*, China (2005) 964.
- 9 Tongkulboriboon S, Petchakit W & Kiranon W, *2005 Int Conf Control, Automation and Systems (ICCAS2005)*, Korea (2005).
- 10 Khan I A & Khwaja S, *Int J Electron*, 87 (2000) 1353.
- 11 Horng J W, *IEICE Trans Fundamentals*, E85-A (2002) 1416.
- 12 Horng J W, *Int J Comp Elec Eng*, 31 (2005) 81.
- 13 Horng J W, Hou C L, Chang C M, Chung W Y, Tang H W & Wen Y H, *Int J Electron*, 92 (2005) 21.
- 14 Keskin A U, Aydin C, Hanciolu E & Acar C, *Frequenz*, 60 (2006) 21.
- 15 Tangsrirat W & Pisitchalermping S, *Frequenz*, 61 (2007) 102.
- 16 Tangsrirat W, Prasertsom D, Piyatat T & Surakampontorn W, *Int J Electron*, 95 (2008) 1119.
- 17 Herencsar N, Koton J, Vrba K & Lahiri A, *IEICE Electronics Express*, 6 (2009) 1708.
- 18 Lahiri A, Jaikla W & Siriprachayanun M, *Analog Integr Circ Sig Process*, 65 (2010) 321.

เอกสารนี้เป็นเอกสารที่สงวนไว้สำหรับการใช้งานเพื่อการศึกษาเท่านั้น ไม่นอนุญาตให้นำไปใช้ประโยชน์ด้านการค้า
ไม่ว่ากรณีใดๆทั้งสิ้น อีกทั้งห้ามมิให้ดัดแปลงเนื้อหา และต้องอ้างอิงถึงเจ้าของเอกสารทุกครั้งที่มีการนำไปใช้

- 19 Herencsar N, Vrba K, Koton J & Lahiri A, *Int J Electron*, 97 (2010) 897.
- 20 Horng J W, *IEICE Trans Fundamentals*, E86-A (2003) 2152.
- 21 Keskin A U & Biolek D, *IEE Proc-Circuits, Devices and Systems*, 153 (2006) 214.
- 22 Jaikla W, Siripruchayanun M, Bajer J & Biolek D, *Radioengineering*, 17 (2008) 33.
- 23 Lahiri A, *IEICE Electronics Express*, 6 (2009) 135.
- 24 Li Y, *Radioengineering*, 19 (2010) 667.
- 25 Prasad D, Bhaskar D R & Singh A K, *Radioengineering*, 20 (2011) 354.
- 26 Horng J W, Hou C L, Chang C M, Cheng S T & Su H Y, *WSEAS Trans Circuit Syst*, 7 (2008) 129.
- 27 Lahiri A, *Radioengineering*, 18 (2009) 522.
- 28 Lahiri A, *Analog Integr Circ Sig Process*, 61 (2009) 199.
- 29 Maheshwari S, *IET Circuits Devices Syst*, 3 (2010) 153.
- 30 Lahiri A, *Int J Comp Elec Eng*, 2 (2010) 63.
- 31 Jaikla W, Siripruchayanun M & Lahiri A, *Microelectron J*, 42 (2011) 135.
- 32 Biolek D, Senani R, Biolkova V & Kolka Z, *Radioengineering*, 17 (2008) 15.
- 33 Biolek D, *Proc ECCTD'03*, Poland (2003) 397.
- 34 Herencsar N, Koton J & Vrba K, *J Active and Passive Electronic Devices*, accepted in 2009, to be published. ISSN: 1555-0281.
- 35 Tangsrirat W, *Int J Electron Commun. (AEU)*, 65 (2011) 783.
- 36 Mongkolwai P, Prasertsom D & Tangsrirat W, *The 25th Int Tech Conf Circuits/Systems, Comp Commun (ITC-CSCC 2010)*, Thailand (2010) 624.



เอกสารนี้เป็นเอกสารที่สงวนไว้สำหรับการใช้งานเพื่อการศึกษาเท่านั้น ไม่อนุญาตให้นำไปใช้ประโยชน์ด้านการค้า
ไม่ว่ากรณีใดๆทั้งสิ้น อีกทั้งห้ามมิให้ดัดแปลงเนื้อหา และต้องอ้างอิงถึงเจ้าของเอกสารทุกครั้งที่มีการนำไปใช้